



TRABAJO FIN DE MÁSTER

Máster en Física

Mención en Física Matemática

Cavidades Cuánticas como Mecanismo de Control de Qubits Topológicos

Autor:

Jorge Eduardo Nava Sejas

Tutores:

Fernando J. Gómez-Ruiz

Luis Miguel Nieto Calzada

Índice general

Ta	abla de Contenidos	II
Lis	sta de Figuras	III
1.	Introducción1.1. Computación cuántica topológica	1 1 2
2.	Modelo de Kitaev 2.1. Modelado de nanocables cuánticos	4 4 7 7 7 9
3.	Interacción con la radiación 3.1. Modelo de Rabi	10 10 11 11 12 15 18
4.	Interacción en dos sitios y braiding 4.1. Interacción bulk con dos sitios	23 24 27
5.	Estructura escalable de Majorana 5.1. Descripción del sistema de estudio 5.1.1. Sobre el hamiltoniano y primeros niveles de energía del sistema 5.2. Estudio de las propiedades del estado fundamental del sistema 5.3. Discusión	
6.	Conclusiones	38
Α.	Aproximación adiabática en el hamiltoniano de Rabi modificado	A- 1
В.	Aproximación al estado fundamental del hamiltoniano inhomogéneo de dos espines	B-1

ÍNDICE GENERAL

C.	Cálculo de la fase geométrica para el montaje de interacción con dos					
	sitios	C-1				
D.	Operadores de braiding entre cadenas de Kitaev en la base de fermione	\mathbf{S}				
	\hat{d}	D-1				
	D.1. Braiding entre $\hat{\gamma}_{s-1,2}$ y $\hat{\gamma}_{s+1,1}$	D-1				
	D.2. Braiding entre $\hat{\gamma}_{t-1,2}$ y $\hat{\gamma}_{t+1,1}$					
	D.3. Braiding entre $\hat{\gamma}_{s-1,2}$ y $\hat{\gamma}_{t-1,2}$					
	D.4. Braiding entre $\hat{\gamma}_{s-1,2}$ y $\hat{\gamma}_{t+1,1}$					
	D.5. Braiding entre $\hat{\gamma}_{s+1,1}$ y $\hat{\gamma}_{t-1,2}$					
	D.6. Braiding entre $\hat{\gamma}_{s+1,1}$ y $\hat{\gamma}_{t+1,1}$					
E.	Código en Python	E-1				

Índice de figuras

2.1. 2.2.	Representación esquemática de una cadena de Kitaev de longitud N Espectro de energías del hamiltoniano de Kitaev en función al potencial	
2.3.	químico μ	6 7
2.4.	Espectro de energías del hamiltoniano de Kitaev en su fase topológica en función a Δ	8
3.1.	Esquema de una CK en la fase topológica interactuando con una cavidad cuántica en un solo sitio	12
3.2.	Espectro de energías para la interacción entre una cavidad cuántica con un sitio de la CK en geometría bulk	13
3.3.	Probabilidad de hallar n fotones en el estado base del sistema, en función a la fuerza de acoplamiento $\dots \dots \dots \dots \dots \dots \dots \dots \dots \dots$	14
3.4.	Entropía de Von Neumann para el estado fundamental del hamiltoniano (3.11)	15
3.5. 3.6.	Función de correlación de fermiones $P(s-1,s+1)$ Función de correlación de fermiones dependiente del tiempo $P(s-1,s+1,t)$,	16
3.7.	considerando $\lambda = \lambda(t)$	17
4.1	considerando $\phi = \phi(t)$	18
4.1.	Esquema de una CK en la fase topológica interactuando con una cavidad cuántica en dos sitios	21
4.2. 4.3.	Espectro de energías para el caso bulk de dos sitios	22 23
4.4. 4.5.	Función de Wigner para los estados gato de Majorana-Schrödinger Probabilidad $P(n)$ de observar n fotones en la cavidad en la cavidad cuán-	24
4.6.	tica acoplada a dos sitios de la CK	
4.7.	Fase de Berry para la evolución cíclica adiabática del acoplamiento del segundo sitio a la cavidad	28
5.1.	Esquema del sistema escalable	30
5.2.5.3.	Comparación de los primeros niveles de energía para el sistema escalable . Valor medio del operador $\langle \hat{a}_j \rangle$ para el sistema escalable	31 33
5.4.	Población fotónica media $\langle \hat{a}_{j}^{i} \hat{a}_{j} \rangle$ para el sistema escalable	
5.5. 5.6.	Función de correlación fermiónica para el sistema escalable Determinante de la matriz de correlación de Simon $\det C_S$ para el sistema	35
	escalable	36
D 1	Braiding de fermiones de Majorana entre cadenas de Kitaev	D_{-2}

Abstract

Throughout this work, we have carried out a detailed review of the Kitaev chain model, widely used to describe quantum nanowires with potential applications in topological quantum computing. The main objective of this research is to analyze coupling mechanisms with quantum cavities as a means of control tool for qubits based on Majorana modes.

For this purpose, a comprehensive study of the physical properties of the fundamental state of the combined matter-radiation system has been carried out. In particular, the cases where the cavity is locally copuled to one or two sites in the chain are studied, as well as an extended model where two Kitaev chains interact with each other through the coupled-cavity mediated photon exchange. Using numerical techniques, the effect of this configurations on fermionic correlations, the dynamics of the system and the feasibility of implementing quantum operations are evaluated.

The results obtained show that it is possible to locally manipulate the Kitaev chain by coupling it with cavities, allowing operations such as controlled separation of Majorana modes ("topological scissors" effect) and simulations of merging and braiding or exchange protocols. These operations are fundamental for the implementation of topological logic gates and the design of robust quantum architectures.

Finally, the study of the coupled chain model suggest that photonic control can be extended to multipartite systems, opening new possibilities for the construction of controlled quantum gates and the development of new strategies for quantum information processing in hybrid light-matter platforms.

Resumen

A lo largo de este trabajo se ha llevado a cabo un estudio detallado del modelo de la cadena de Kitaev, ampliamente utilizado para describir nanocables cuánticos con potenciales aplicaciones en la computación cuántica topológica. El objetivo principal de esta investigación es analizar mecanismos de acoplamiento con cavidades cuánticas como una herramienta de control para qubits basados en modos de Majorana.

Para ello, se ha realizado un análisis exhaustivo de las propiedades físicas del estado fundamental del sistema combinado de materia y radiación. En particular, se estudian los casos en los que la cavidad se acopla localmente a uno o dos sitios de la cadena, así como un modelo extendido en el que dos cadenas de Kitaev interactúan entre sí a través del intercambio de fotones mediado por cavidades acopladas. Utilizando técnicas numéricas, se evalúa el efecto de estas configuraciones sobre las correlaciones fermiónicas, la dinámica del sistema y la viabilidad de implementar operaciones cuánticas.

Los resultados obtenidos muestran que es posible manipular localmente la cadena de Kitaev mediante el acoplamiento con cavidades, permitiendo operaciones tales como la separación controlada de modos de Majorana (efecto "tijera topológica") y simulaciones de protocolos de fusión y braiding ó intercambio. Estas operaciones son fundamentales para la implementación de puertas lógicas topológicas y el diseño de arquitecturas cuánticas robustas.

Finalmente, el estudio del modelo de cadenas acopladas sugiere que el control fotónico puede extenderse a sistemas multipartitos, abriendo nuevas posibilidades para la construcción de puertas cuánticas controladas y el desarrollo de nuevas estrategias para el procesamiento de información cuántica en plataformas híbridas materia-luz.

Agradecimientos

Culminar con este trabajo no hubiera sido posible sin la invaluable ayuda y el constante apoyo de muchas personas que me han acompañado a lo largo de este proceso y de mi vida. Por lo que quiero expresarles mi más profundo y sincero agradecimiento.

En primer lugar, expreso mi más profundo agradecimiento a mi familia. Su apoyo incondicional me abrió la puerta para perseguir y realizar mis sueños. Cada una de sus experiencias y su guía han forjado y moldeado gran parte de la persona que soy hoy en día.

A mis amigos, extiendo mi gratitud por su inquebrantable lealtad y confianza. No solo me han brindado fuerza y ánimo para seguir adelante cuando la necesitaba, sino que también me han ofrecido incontables lecciones de vida, empatía y resiliencia, enriqueciendo mi camino en incontables maneras.

A mis tutores, Fernando y Luis Miguel, les agradezco por su paciencia y dedicación incansable en la dirección de este trabajo y sus consejos. Sus enseñanzas y orientación han sido fundamentales, no solo para la realización de este proyecto, sino también para mi crecimiento intelectual y personal, inspirándome a ver el mundo con una perspectiva más crítica y profunda.

A mis profesores, les agradezco por sembrar la semilla del conocimiento, por su dedicación y por las valiosas enseñanzas que, día a día, contribuyeron a forjar la persona que soy hoy. Su influencia ha sido una luz constante en mi aprendizaje y desarrollo.

Además, un agradecimiento especial al proyecto Q-CAYLE (Comunicaciones Cuánticas Seguras en Castilla y León), que ha hecho posible el desarrollo de este TFM dentro de sus actividades de fomento de la investigación en este campo.

Y a la Fundación Carolina, por darme la oportunidad de realizar este Máster y por su continuo respaldo, que ha sido fundamental en esta etapa.

Capítulo 1

Introducción

En años recientes, la comunidad científica ha sido testigo del surgimiento de la denominada Segunda Revolución Cuántica. Esta nueva era está caracterizada por un ambicioso objetivo: realizar la transición del conocimiento teórico que se obtuvo durante la primera revolución cuántica del siglo XX hacia el desarrollo de aplicaciones prácticas y tecnologías innovadoras [1]. Dentro de este proceso de transición, la computación cuántica emerge como uno de los frentes más prometedores.

El origen de esta área de estudio puede trazarse a una conferencia dada por Richard Feynmann en 1982, donde propuso una máquina que trabajase con las leyes de la mecánica cuántica para modelar la física de estos fenómenos [2], pues creía que para simular el mundo cuántico se requería de una máquina cuántica que realice los cálculos [3]. Nace con el objetivo de reemplazar, o más comúnmente, complementar los sistemas computacionales clásicos con componentes (arquitecturas) que aprovechan directamente los principios de la mecánica cuántica. Esta clase de sistemas, en teoría, tienen el potencial de superar significativamente las capacidades de las computadoras convencionales en la resolución de algunos problemas complejos. Sin embargo, la computación cuántica no es solo un proyecto ambicioso, pues a medida que los componentes van reduciendo su tamaño, acercándose a la escala en que los efectos cuánticos tienen efectos importantes [4].

Inicialmente, los avances fueron bastante lentos debido a las limitaciones tecnológicas. No obstante, la gran cantidad de avances que se han dado recientemente, tanto en hardware como algoritmos cuánticos, ha llevado a la computación cuántica a la etapa NISQ (Noisy Intermediate-Scale Quantum), donde las computadoras cuánticas aún no son capaces de resolver problemas reales más eficientemente que los clásicos. Para superar la etapa actual de desarrollo, se necesita que los procesadores cuánticos continúen aumentando su número de qubits y que estos sean menos susceptibles al ruido y la decoherencia. Con este objetivo en mente, se han planteado diversas propuestas de arquitecturas cuánticas; en este trabajo nos centraremos en la Computación Cuántica Topológica.

1.1. Computación cuántica topológica

La computación cuántica topológica fue una propuesta de computadora cuántica universal resistente a errores propuesta por primera vez por Alexei Kitaev [5], donde la protección contra errores no viene de protocolos de corrección, si no que viene implementada desde la construcción del hardware. Para lograr esto, se propone almacenar y manipular la información cuántica utilizando un tipo de cuasipartículas exóticas llamadas anyones. Debido a que se tienen un comportamiento estadístico exótico que puede describirse en un espacio topológicamente ordenado, de ahí el nombre de la propuesta [6]. Este es un subespacio degenerado libre de decoherencia, donde la evolución de los estados cuánticos

se produce cuando los anyones se mueven adiabáticamente uno alrededor del otro.

En el contexto de este trabajo, se estudia la propuesta de la realización de computación cuántica topológica utilizando nanocables superconductores. Para modelarlos, se considerarán cadenas de fermiones sin espín llamadas cadenas de Kitaev. Bajo determinadas condiciones, estas son capaces de manifestar un determinado anyon llamado fermión de Majorana; esta cuasipartícula tiene la característica de ser su propia antipartícula. A lo largo de este trabajo, se estudian las propiedades físicas de los fermiones de Majorana, así como la forma de producir evolución de los estados cuánticos de los mismos empleando cavidades cuánticas como mecanismos de control.

1.2. Descripción del contenido

Este trabajo está estructurado en seis capítulos y cinco apéndices; cada uno de los capítulos aborda un aspecto fundamental y progresivo para entender la manipulación de qubits topológicos con cavidades cuánticas. Mientras que los apéndices muestran información complementaria.

En este contexto, el primer capítulo ofrece una introducción general y una contextualización de este trabajo. En él, se proporciona un marco histórico del desarrollo de esta campo de conocimiento y se presenta una breve descripción de los temas principales que se abordarán. De esta manera, el capítulo proporciona una visión clara de la estructura y los objetivos de este estudio.

El capítulo 2 se centra en presentar el marco teórico referente al modelo de Kitaev, detallando su formalismo físico y matemático aplicado a las cadenas de Kitaev. Se estudian las condiciones en las que esta cadena adquiere propiedades topológicas manifestando los fermiones de Majorana, las cuasipartículas que dotan de resistencia a los errores y a la decoherencia a los qubits construidos con este enfoque. Este capítulo es de importancia fundamental, ya que estas estructuras son las que se postulan como qubits topológicos, esenciales en el resto de este trabajo. Además, se exploran y analizan sus propiedades físicas mediante desarrollos tanto teóricos como numéricos.

El tercer capítulo introduce el marco teórico fundamental para comprender la interacción de una cadena de Kitaev con la radiación elctromagnética. Se inicia con una breve descripción del modelo de Rabi, que describe la interacción entre el campo electromagnético y un sistema de materia de dos niveles. Posteriormente, se analiza la interacción de una cavidad cuántica con un sitio específico de la cadena de Kitaev, demostrando que esta puede reducirse a un modelo de Rabi modificado. Adicionalmente, se caracterizan las propiedades del estado fundamental de este sistema compuesto y se estudia cómo esta interacción actúa como unas tijeras topológicas capaces de "cortar" la cadena en dos regiones.

En el capítulo 4, se extiende el modelo de interacción previo, considerando que la cavidad se acopla simultáneamente a dos sitios de la cadena de Kitaev. Mediante la caracterización del estado fundamental resultante, se explora la viabilidad de realizar braiding (intercambios) entre fermiones de Majorana; esta operación es de gran importancia, pues es la que permite construir puertas cuánticas topológicas, que son necesarias en la construcción de un computador cuántico universal. El braiding se logra a través de la regulación precisa del acoplamiento entre la cavidad y cada uno de los sitios, abriendo

nuevas vías para la manipulación topológica con cavidades cuánticas.

El quinto capítulo, se dedica al estudio numérico de los posibles efectos derivados de la interacción entre qubits topológicos en el contexto de la construcción de computadores cuánticos de múltiples qubits. Con este objetivo, se analiza el caso de interacción más sencillo, formado por dos cadenas de Kitaev acopladas con sus dos repectivas cavidades cuánticas. La interacción entre los sistemas se modela mediante el intercambio de fotones entre las cavidades cuánticas. La introducción de este término de interacción entre cavidades cuánticas induce una transición de fase que produce cambios en la paridad de las cadenas de Kitaev, en función de la elección de parámetros de los respectivos qubits. Estos cambios son de gran interés pues tienen implicaciones en la construcción de otras compuertas cuánticas y el desarrollo de nuevas estrategias para el procesamiento de información cuántica en arquitecturas híbridas. Por tanto, se pretende continuar con su estudio, para desarrollar un modelo teórico que permita describir y predecir estos fenómenos de manera más completa.

El último capítulo presenta las consideraciones finales de este trabajo. En él se detallan las conclusiones extraídas de los resultados analizados a lo largo de este trabajo. Además, se hace una recapitulación de las implicaciones que tienen los resultados obtenidos en este campo de estudio. Finalmente, se presentan sugerencias sobre posibles direcciones para continuar con el avance de esta rama de la computación cuántica utilizando lo expuesto en este trabajo.

En cuanto a los apéndices, el Apéndice A, detalla el desarrollo matemático de la aproximación al espectro de energías para un hamiltoniano de Rabi modificado, complementando así los contenidos expuestos en el Capítulo 3.

Los Apéndices B y C están dedicados a complementar el desarrollo del Capítulo 4, presentando respectivamente una aproximación al estado fundamental del sistema acoplado en dos sitios y el cálculo de la fase de Berry.

El Apéndice D ofrece el desarrollo matemático necesario para determinar los operadores de braiding entre dos cadenas de Kitaev, lo que complementa el contenido del Capítulo 5.

Finalmente, el Apéndice E contiene el código fuente escrito en Python utilizado para realizar todos los cálculos presentados a lo largo de este trabajo.

Capítulo 2

Modelo de Kitaev

La computación cuántica actual se encuentra en la etapa denominada NISQ (Noisy Intermediate-Scale Quantum, por sus siglas en inglés)[7]. Esta era se caracteriza por procesadores cuánticos con un número moderado de qubits (del orden de decenas a pocos cientos [8]), los cuales aún son altamente susceptibles al ruido y a los errores. Aunque estos dispositivos no cuentan con una corrección de errores cuántica completa, han demostrado ventajas respecto de los sistemas clásicos en ciertas tareas específicas, como la simulación de sistemas físicos y la optimización. Sin embargo, su utilidad práctica sigue siendo limitada en comparación con los algoritmos cuánticos a gran escala previstos para el futuro.

Una de las propuestas más innovadoras para superar las limitaciones del régimen NISQ es la computación cuántica topológica, un enfoque diseñado para ser más robusto frente al ruido y la decoherencia. Uno de los principales impulsores de este paradigma es Microsoft, como demostró con la presentación de Majorana 1 [9, 10, 11]. La computación cuántica topológica se basa en la propuesta de Kitaev, quien demostró que es posible modelar el comportamiento de fermiones de Majorana en estructuras denominadas nanoalambres o nanocables cuánticos.

Un nanoalambre cuántico es un alambre semiconductor a escala nanométrica en el que pueden emerger excitaciones cuánticas denominadas fermiones de Majorana. Estos estados cuánticos aparecen bajo ciertas condiciones clave: un fuerte acople spin-órbita, un campo magnético externo y el contacto con un superconductor. En estas circunstancias, los extremos del nanoalambre pueden albergar modos de Majorana, que son cuasipartículas que actúan como sus propias antipartículas y obedecen estadísticas no abelianas, lo que las hace especialmente prometedoras para la computación cuántica topológica.

En este capítulo, se presenta el formalismo físico y matemático de la propuesta de Kitaev, conocida como cadenas de Kitaev (CK) [12]. A través de este modelo, exploraremos en detalle cómo la interacción entre el acoplamiento spin-órbita, campos magnéticos y superconductividad puede dar lugar a la emergencia de fermiones de Majorana en los extremos de la cadena. Analizaremos las propiedades topológicas de estas excitaciones, su relevancia para la computación cuántica topológica y los desafíos experimentales asociados a su detección y manipulación. Finalmente, discutiremos las implicaciones del modelo de Kitaev en el contexto de la era NISQ y su potencial para allanar el camino hacia una computación cuántica más robusta y tolerante a errores [13].

2.1. Modelado de nanocables cuánticos

En su publicación original [14], Alexei Kitaev propone la construcción de nanocables cuánticos superconductores formados por una cadena de N fermiones sin spin (ver Figura

2.1). Con esto en mente, establece el hamiltoniano del sistema como

$$\hat{H}_{CK} = -\frac{\mu}{2} \sum_{j=1}^{N} (2\hat{c}_j \hat{c}_j - 1) - \omega \sum_{j=1}^{N-1} \left(\hat{c}_j^{\dagger} \hat{c}_{j+1} + \hat{c}_{j+1}^{\dagger} \hat{c}_j \right) + \Delta \sum_{j=1}^{N-1} \left(\hat{c}_j \hat{c}_{j+1} + \hat{c}_{j+1}^{\dagger} \hat{c}_j^{\dagger} \right). \quad (2.1)$$

Cada uno de los fermiones de esta cadena ocupa un único lugar j y se asocia con un operador de creación y de aniquilación fermiónicos \hat{c}_j^\dagger y \hat{c}_j , respectivamente [15]. En este modelo, μ representa el potencial químico de los fermiones que se toma como una constante; ω es la amplitud del gap energético entre fermiones vecinos y Δ es el gap de energía necesaria para inducir la fase superconductora (energía de enlace del par de Cooper). En una cadena de Kitaev (CK), el gap superconductor no solo sirve para describir la energía de la fase superconductora, sino que también protege la fase superconductora topológica y es una propiedad del material con el que se construyen los nano cables cuánticos. Este hamiltoniano puede derivarse a partir del modelo de Ising [16] tomando condiciones de borde abiertas para la cadena.

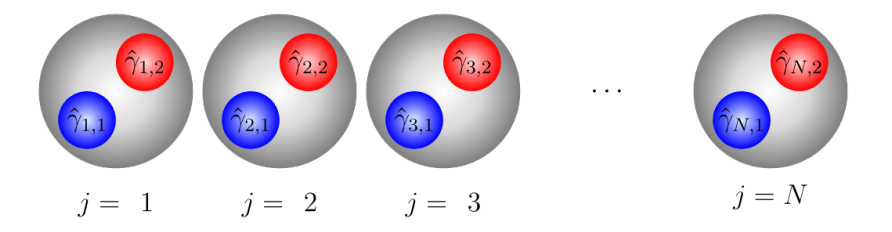


Figura 2.1: Representación esquemática de una cadena de Kitaev de longitud N, en la que los fermiones reales, asociados con los operadores $\hat{c}_j^{\dagger}, \hat{c}_j$, son representados por un disco de color plomo. A su vez, cada fermión es representado por dos fermiones de Majorana, representados por un disco de color azul $\hat{\gamma}_{j,1}$ y un disco de color rojo $\hat{\gamma}_{j,2}$.

Este Hamiltoniano también puede ser escrito de forma matricial en bloques de matrices:

$$\hat{H}_{CK} = \frac{1}{2} \begin{pmatrix} \hat{c}_{1}^{\dagger} & \hat{c}_{1} & \cdots & \hat{c}_{N}^{\dagger} & \hat{c}_{N} \end{pmatrix} \begin{pmatrix} A & B & 0 & 0 & \cdots & 0 & 0 \\ B^{T} & A & B & 0 & \cdots & 0 & 0 \\ 0 & B^{T} & A & B & \cdots & 0 & 0 \\ \vdots & \vdots & \vdots & \vdots & \ddots & \vdots & \vdots \\ 0 & 0 & 0 & 0 & \cdots & A & B \\ 0 & 0 & 0 & 0 & \cdots & B^{T} & A \end{pmatrix} \begin{pmatrix} \hat{c}_{1}^{\dagger} \\ \hat{c}_{1} \\ \vdots \\ \hat{c}_{N}^{\dagger} \\ \hat{c}_{N} \end{pmatrix}. \tag{2.2}$$

Donde las matrices A y B pueden escribirse en términos de los paramétros principales del Hamiltoniano (ver Ec. (2.1)) como $A = -\mu \hat{\sigma}_z$ y $B = -\omega \hat{\sigma}_z - i\Delta \hat{\sigma}_y$ los cuales son bloques de matrices 2×2 y $\hat{\sigma}_{\alpha}$, con $\alpha = x, y, z$, representando las matrices de Pauli escritas en la base computacional; tal que en esta representación, admite diagonalización de forma exacta, cuyos espectros de energía se pueden ver en la Figura 2.2 [17]. En las figuras 2.2a y 2.2b, se puede ver que a medida que la CK aumenta de tamaño, el número de modos de energía crece de la misma manera. En contraste, al modificar los parámetros Δ y ω , se nota que la transición de la fase topológica a la fase trivial [18] se recorre proporcional al valor de ω , dándose esta transición cuando $|\mu| = 2\omega$.

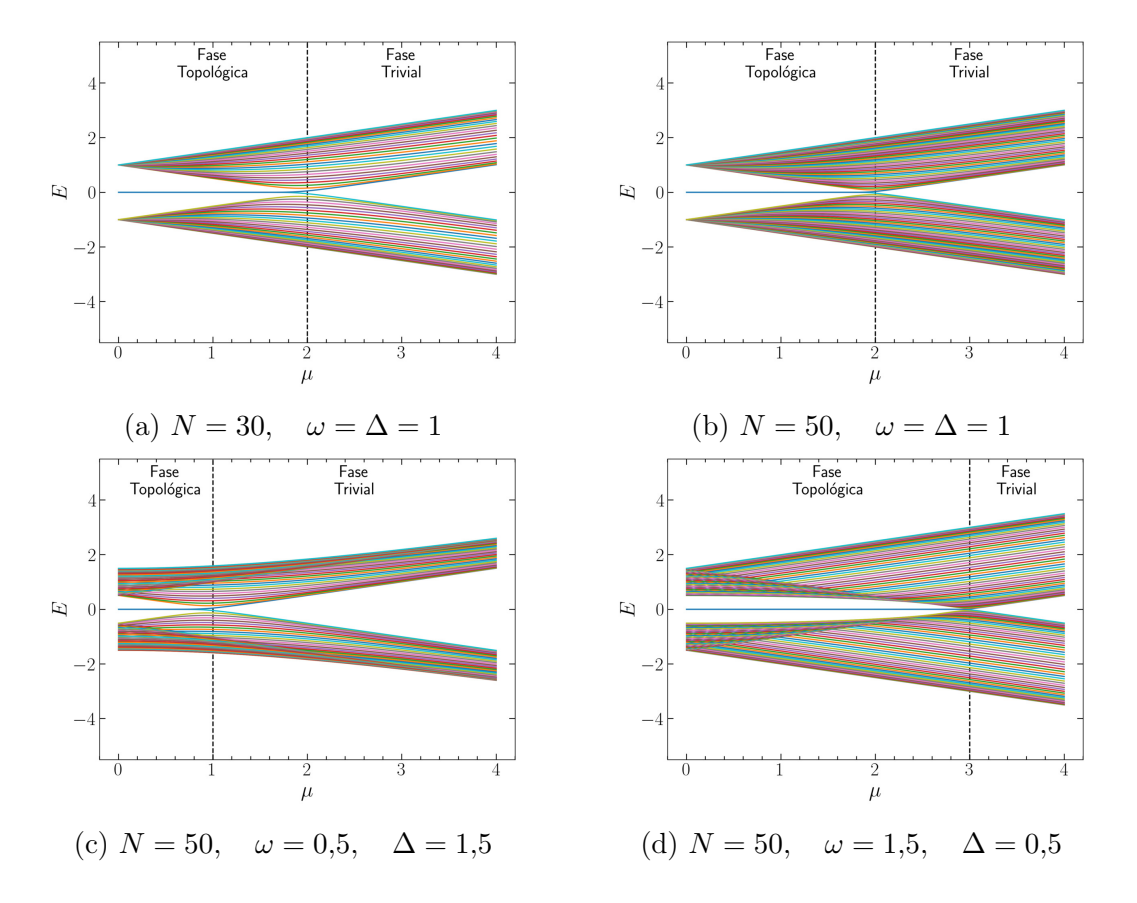


Figura 2.2: Espectro de energías del hamiltoniano de Kitaev en función a μ , variando la longitud de la cadena N, para diferentes valores de Δ y ω , que se obtuvieron por diagonalización exacta de (2.2).

Ahora, este hamiltoniano describe una cadena de fermiones, que no tienen las propiedades que buscamos para usarlos en computación cuántica topológica, de modo que se puede definir de manera conveniente los *operadores de Majorana*

$$\hat{\gamma}_{2j-1} = \hat{c}_j + \hat{c}_j^{\dagger}, \qquad \hat{\gamma}_{2j} = i \left(\hat{c}_j^{\dagger} - \hat{c}_j \right), \qquad j = 1, \dots, N.$$
 (2.3)

Estos operadores describen las cuasipartículas conocidas como "fermiones de Majorana", que tienen la característica de ser su propia antipartícula, de modo que sus operadores tienen las relaciones $\hat{\gamma}_j = \hat{\gamma}_j^{\dagger}$, $(\hat{\gamma}_j)^2 = 1$. Tales que cumplen con las relaciones de anticonmutación fermiónicas dadas por $\{\hat{\gamma}_j, \hat{\gamma}_k\} = 2\delta_{j,k}$, $\forall j, k = 1, \ldots, 2N$. Modelan cada uno de los fermiones reales j como dos fermiones de Majorana $\hat{\gamma}_{2j-1}, \hat{\gamma}_{2j}$ (ver Figura 2.1) y esta representación protege al sistema de los errores de fase.

Escribiendo el hamiltoniano (2.1) en función de los operadores de Majorana definidos en la ecuación (2.3), se puede escribir como:

$$\hat{H}_{CK} = -i\frac{\mu}{2} \sum_{j=1}^{N} \hat{\gamma}_{2j-1} \hat{\gamma}_{2j} + \frac{i}{2} \sum_{j=1}^{N-1} \left[(\omega + \Delta) \hat{\gamma}_{2j} \hat{\gamma}_{2j+1} - (\omega - \Delta) \hat{\gamma}_{2j-1} \hat{\gamma}_{2j+2} \right]. \tag{2.4}$$

2.2. Límites del hamiltoniano de Kitaev

A partir del hamiltoniano descrito en la ecuación (2.4), se pueden describir dos regímenes, el límite trivial y el límite topológico. La clasificación de estos regímenes se basa en los valores de los parámetros del hamiltoniano. La Figura 2.2 ilustra la variación del espectro de energía de la cadena en función de dichos parámetros, permitiendo distinguir los estados correspondientes a cada fase. La diferencia entre las fases radica en la forma en la que los fermiones de Majorana se aparean entre sí (ver Figura 2.3).

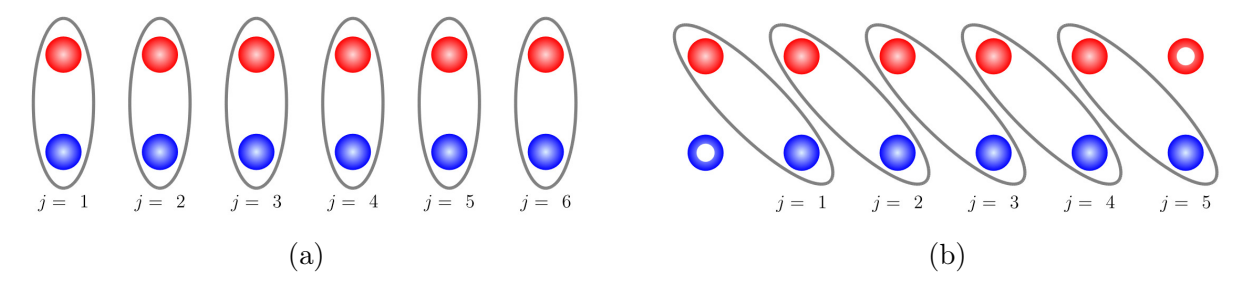


Figura 2.3: Esquema del apareamiento de fermiones de Majorana para una CK con N=6, donde las líneas representan el apareamiento. En el panel izquierdo se muestra el apareamiento trivial de los fermiones de Majorana, en el cuál se aparean en su propio sitio. El panel de la derecha presenta la fase topológica, en la que los fermiones de Majorana ya no se encuentran localizados y los modos de energía cero de Majorana (MZM) se representan con toroides.

2.2.1. Fase trivial

Al considerar que los dos gaps son nulos $\Delta = \omega = 0$ y que el potencial químico de los elementos de la cadena son $\mu < 0$, el hamiltoniano se simplifica a

$$\hat{H}_{CK} = -i\frac{\mu}{2} \sum_{j=1}^{N} \hat{\gamma}_{2j-1} \hat{\gamma}_{2j}.$$
(2.5)

Este es el hamiltoniano de la fase trivial de la CK. En este límite no existe interacción entre fermiones de Majorana de dos sitios distintos.

2.2.2. Fase topológica

Si se considera que el potencial químico de las componentes de la CK es nulo $\mu=0$, el hamiltoniano de la CK se reduce a la expresión

$$\hat{H}_{CK} = \frac{i}{2} \sum_{j=1}^{N-1} \left[(\omega + \Delta) \hat{\gamma}_{2j} \hat{\gamma}_{2j+1} - (\omega - \Delta) \hat{\gamma}_{2j-1} \hat{\gamma}_{2j+2} \right]. \tag{2.6}$$

En la ecuación (2.6), se puede ver que existe otro tipo de apareamiento entre fermiones de Majorana. Del espectro de la fase topológica (Figura 2.4) se puede ver que en el caso de que $\Delta = \omega$, solo se tiene tres modos de energía, donde uno de ellos tiene energía cero, este

modo es de especial interés, como se verá más adelante. De modo que si se fija $\Delta = \omega > 0$, entonces se llega a la descripción de la fase topológica de la CK, cuyo hamiltoniano es

$$\hat{H}_{CK} = i\Delta \sum_{j=1}^{N-1} \hat{\gamma}_{2j} \hat{\gamma}_{2j+1},$$
 (2.7)

Este hamiltoniano muestra que un fermión de Majorana se empareja con otro fermión de Majorana correspondiente a un fermión real vecino, formando un nuevo fermión llamado fermión no localizado (ver Figura 2.3b). Como se mencionó anteriormente, este modelo se caracteriza por considerar una cadena abierta. En consecuencia, los fermiones de Majorana ubicados en los extremos de la cadena permanecen desemparejados y se denominan modos de energía cero de Majorana (Majorana Zero Energy Modes, MZM). Estos modos son de particular interés debido a su estabilidad frente a perturbaciones, propiedad fundamental para la computación cuántica topológica.

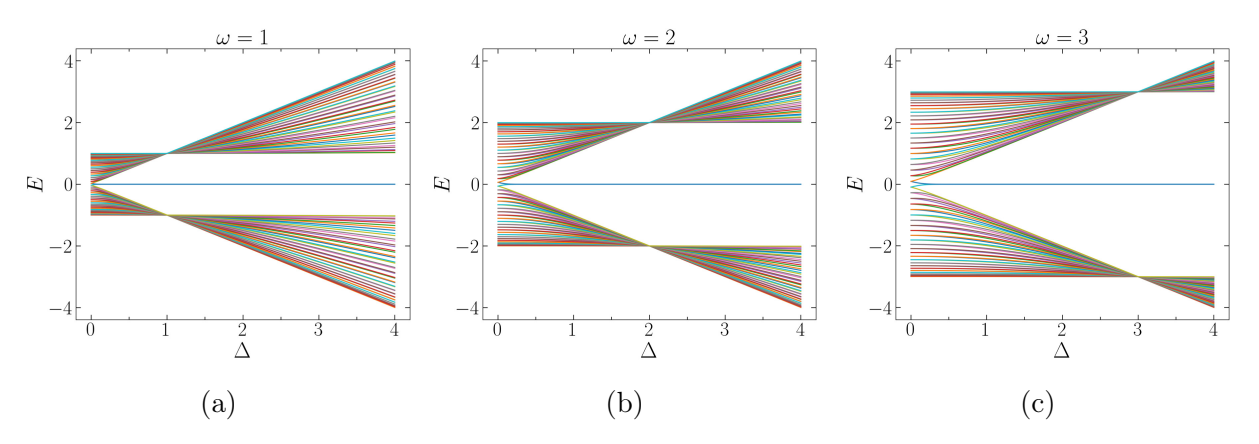


Figura 2.4: Espectro de energías del hamiltoniano de Kitaev en su fase topológica en función a Δ , variando los valores de ω , que se obtuvieron por diagonalización exacta de la Ec. (2.2).

Para describir estos nuevos tipos de apareamientos entre fermiones de Majorana, es conveniente introducir un nuevo conjunto de operadores fermiónicos \hat{d}_j , \hat{d}_j^{\dagger} cuya expresión está dada por

$$\hat{\gamma}_{2j-1} = i(\hat{d}_{j-1}^{\dagger} - \hat{d}_{j-1}), \qquad \hat{\gamma}_{2j} = \hat{d}_{j-1}^{\dagger} + \hat{d}_{j-1},$$
(2.8)

que cumplen con las relaciones de anitconmutación $\{\hat{d}_j, \hat{d}_k^{\dagger}\} = \delta_{j,k}$, de modo que se puede reducir el hamiltoniano (2.7) a la forma

$$\hat{H}_{\text{CK}} = 2\Delta \sum_{j=1}^{N-1} \left(\hat{d}_j^{\dagger} \hat{d}_j - \frac{1}{2} \right).$$
 (2.9)

La estructura de oscilador armónico inherente que adquiere el hamiltoniano permite describir las energías propias de la cadena mediante cuasipartículas fermiónicas no localizadas, representadas por los operadores fermiónicos \hat{d}_j , \hat{d}_j^{\dagger} , no contribuyen a los MZM's. Por otra parte, los fermiones de Majorana desemparejados pueden combinarse para formar un nuevo fermión no localizado $\hat{d}_0 = \frac{1}{2}(i\hat{\gamma}_1 + \hat{\gamma}_{2N})$ que actúa como un qubit no localizado. Esta división propia de los MZM's implica que la información cuántica del sistema se almacena de forma no local en ambas mitades del modo. De esta manera, incluso si una de las mitades experimenta interferencias, la información cuántica permanece suficientemente preservada en la otra mitad para permitir la continuación de los procesos computacionales [19], logrando así estados cuánticos resistentes a errores y decoherencia.

2.3. Discusión

En este capítulo, se ha presentado el modelo de Kitaev, un sistema que representa una cadena unidimensional que exhibe una fase superconductora topológica capaz de albergar fermiones de Majorana en sus extremos. Al ser partículas de Majorana, son sus propias antipartículas y obedecen estadísticas no abelianas, lo que los convierte en candidatos prometedores para la computación cuántica topológica.

Se ha explorado en detalle el hamiltoniano de la cadena de Kitaev, identificando los parámetros clave que controlan la transición entre la fase topológica y la fase trivial. Se ha discutido cómo la presencia de un gap superconductor protege la fase topológica y cómo los fermiones de Majorana en los extremos de la cadena, conocidos como modos de energía cero de Majorana (MZM), son estables frente a perturbaciones locales, una propiedad esencial para la computación cuántica tolerante a fallos.

Además, se ha analizado la transformación del hamiltoniano a la base de fermiones de Majorana, lo que ha permitido una comprensión más profunda de la naturaleza de las excitaciones en el sistema. Se ha mostrado cómo los MZM's pueden formar un qubit no local, donde la información cuántica se almacena de forma distribuida, ofreciendo así protección contra la decoherencia local.

En comparación con otros enfoques para la computación cuántica, como los qubits superconductores o los qubits de iones atrapados, la computación cuántica topológica basada en fermiones de Majorana ofrece la posibilidad de tener tolerancia a fallos intrínseca [20]. Sin embargo, la realización práctica de esta visión aún requiere superar importantes desafíos científicos y tecnológicos [21].

Capítulo 3

Interacción con la radiación

Para lograr los avances tecnológicos necesarios para superar la etapa NISQ, se requiere desarrollar mecanismos que permitan la manipulación y el control de los qubits topológicos. En este contexto, la radiación, especialmente en forma de microondas o luz; se utiliza con este fin. En algunas aplicaciones, por ejemplo, se pueden usar pulsos de radiación para realizar operaciones cuánticas en los qubits o para leer su estado.

Además, la interacción con la radiación puede utilizarse para generar y detectar fermiones de Majorana, las cuasipartículas características que actúan como qubits topológicos. Experimentalmente, las cavidades cuánticas pueden crear las condiciones necesarias para la aparición de fermiones de Majorana en los bordes de los materiales topológicos.

Por otra parte, este mismo mecanismo es el que describe la interacción con el entorno, que puede causar decoherencia (pérdida) de información cuántica. Es crucial, por lo tanto, entender y controlar esta interacción para proteger la coherencia de los qubits topológicos, permitiendo realizar cálculos cuánticos precisos y diseñar dispositivos cuánticos de mayor fiabilidad. Esto, a su vez, permitiría superar las limitaciones de la etapa NISQ.

En este capítulo, se pantea el formalismo matemático y físico del mecanismo de interacción entre la radiación y una cadena de Kitaev (CK). En particular, se estudiará el caso de la interacción entre una cavidad cuántica y un sitio intermedio de la CK, obteniendo un modelo de interacción descrito por el modelo de Rabi modificado. Discutiremos las propiedades esta físicas y topológicas de este mecanismo y algunos de los desafíos que se presentan.

3.1. Modelo de Rabi

El modelo cuántico de Rabi describe la interacción entre un campo electromagnético cuantizado y un sistema de dos niveles, como un átomo. Este modelo es de particular interés en el estudio de sistemas de computación cuántica topológica, dado que los qubits son inherentemente sistemas de dos niveles. El sistema se describe mediante el siguiente hamiltoniano

$$\hat{H}_{\text{Rabi}} = \hat{H}_f + \hat{H}_a - \hat{\vec{d}} \cdot \hat{\vec{E}}. \tag{3.1}$$

El primer término representa el hamiltoniano del campo electromagcético cuantizado, \hat{H}_a representa la energía del sistema de dos niveles y el último término representa la interacción entre los dos subsistemas, esta interacción se produce dipolarmente.

La energía del sistema de dos niveles viene dada por $\Delta_a \hat{\sigma}_z$, donde Δ_a representa el gap de enrgía entre los dos niveles y $\hat{\sigma}_z$ es la matriz de Pauli escrita en la base computacional.

Para los otros dos términos, es necesario estudiar cuál es la acción de la cuantización sobre el campo electromagnético.

3.1.1. Cuantización del campo electromagnético

Considerando una cavidad de volumen V, que se construye con dos espejos completamente reflectantes separados una distancia L entre sí, en la que se confina ondas electormagnéticas de longitud de onda $\lambda_{\text{foton}} = 2L/n$. Restringiendo a un solo modo en el campo electromagnético, la energía total de la cavidad viene dada por

$$\hat{H} = \frac{1}{2} \int_{V} \left(\epsilon_0 |\hat{\vec{E}}|^2 + \frac{1}{\mu_0} |\hat{\vec{B}}|^2 \right) d\tau.$$
 (3.2)

Reemplazando expresiones apropiadas para los campos magnético $\hat{\vec{B}}$ y eléctrico $\hat{\vec{E}}$ que se obtienen a partir de las ecuaciones de Maxwell, se puede demostrar que este hamiltoniano se transforma a

$$\hat{H} = \frac{1}{2} \left(\omega^2 \hat{q}^2 + \hat{p}^2 \right) = \hbar \omega \left(\hat{a}^\dagger \hat{a} + \frac{1}{2} \right), \tag{3.3}$$

que corresponde al hamiltoniano de un oscilador armónico con frecuencia ω . De modo que se puede escribir el primer término del Hamiltoniano de Rabi (Ec. (3.1)) como $\omega \hat{a}^{\dagger} \hat{a}$, quitando el término 1/2 porque es una constante y no afecta a la dinámica del sistema y se asume $\hbar = 1$.

De la misma manera, en la aproximación dipolar $\lambda_{\rm foton} \gg r_{\rm atomo}$, en la imagen de Schrödinger, el término de interacción puede escribirse como

$$\hat{\vec{d}} \cdot \hat{\vec{E}} = g\hat{d} \left(\hat{a}^{\dagger} + \hat{a} \right). \tag{3.4}$$

Donde el operador dipolo adquiere la forma $\hat{d} = d\hat{\sigma}_x$. Redefiniendo $\lambda = dg$, finalmente se puede escribir el Hamiltoniano de Rabi en su forma típica

$$\hat{H}_{\text{Rabi}} = \omega \hat{a}^{\dagger} \hat{a} + \Delta_a \hat{\sigma}_z + \lambda \left(\hat{a}^{\dagger} + \hat{a} \right) \hat{\sigma}_x. \tag{3.5}$$

Un aspecto notable de este Hamiltoniano, es que la parte fotónica del término de interacción se asemeja a la definición de una cuadratura $\hat{X} = (\hat{a}^{\dagger} + \hat{a})/\sqrt{2}$ del oscilador armónico.

3.2. Interacción de una cadena de Kitaev con una cavidad cuántica

Es importante estudiar cuál es el efecto de la interacción de una CK con la radiación, que puede estar originada por una cavidad cuántica cuya frecuencia característica está dada por ω . En este contexto, la cavidad cuántica actúa como una "tijera topológica", dividiendo la CK en dos segmentos [22] y generando la formación de nuevos MZM's en los sitios advacentes a la cavidad.

Al igual que en la sección anterior, al tener un sistema de materia interactuando con la radiación y por tanto, buscamos un hamiltoniano total de la forma

$$\hat{H}_T = \hat{H}_{CK} + \hat{H}_C + \hat{H}_X,$$
 (3.6)

donde \hat{H}_{CK} corresponde al hamiltoniano de la CK dada por la ecuación (2.9), \hat{H}_C es el hamiltoniano de la cavidad y \hat{H}_X es el hamiltoniano de interacción.

Tal como se observó anteriormente, a la cavidad cuántica le corresponde el hamiltoniano de un oscilador armónico $\hat{H}_C = \omega \hat{a}^{\dagger} \hat{a}$, donde ω es la energía cuántica del fotón, el hamiltoniano del sistema de materia es el que se calculó en la ecuación (2.9); y el hamiltoniano de interacción entre la cavidad y la CK, se considera que tiene una cuadratura rotativa tipo homodina (homodyne rotated quadrature, $\hat{X}_{\text{rot}} = (e^{-i\phi_j}\hat{a}^{\dagger} + e^{i\phi_j}\hat{a})/\sqrt{2}$) [23, 24] que viene dada por

$$\hat{H}_X = \frac{1}{\sqrt{n_{\text{Cav}}}} \sum_{j \in \text{Cav}} \lambda_j \hat{c}_j^{\dagger} \hat{c}_j \left(e^{-i\phi_j} \hat{a}^{\dagger} + e^{i\phi_j} \hat{a} \right), \tag{3.7}$$

donde $\lambda_j e^{-i\phi_j} \in \mathbb{C}$ es la fuerza del acoplamiento entre la cavidad y el sitio j de la CK; y Cav es el conjunto de sitios que se encuentran dentro de la cavidad, este conjunto tiene una cardinalidad n_{Cav} .

Dependiendo de la cantidad de sitios que se encuentran dentro de la cavidad, se tendrán diferentes casos; pero en el contexto de este trabajo, solo se considerará el caso en el las posiciones dentro de la cavidad no son las de los extremos, es decir 1 < s < N; este caso se conoce como casos de simetría en volumen (bulk geometry). A continuación se estudiará la interacción de un sitio de este tipo con la cavidad cuántica.

3.2.1. Interacción bulk en un sitio

El primer caso de estudio, es el que corresponde en el que un solo sitio j=s se encuentra dentro de la cavidad (bulk de un sitio, Fig. 3.1). Tal que el hamiltoniano de este sistema está dado por:

$$\hat{H}_1 = 2\Delta \left(\hat{d}_{s-1}^{\dagger} \hat{d}_{s-1} + \hat{d}_s^{\dagger} \hat{d}_s - 1 \right) + \omega \hat{a}^{\dagger} \hat{a} + \lambda \hat{c}_s^{\dagger} \hat{c}_s \left(e^{-i\phi} \hat{a}^{\dagger} + e^{i\phi} \hat{a} \right). \tag{3.8}$$

Este hamiltoniano depende tanto de los fermiones no locales \hat{d} como los fermiones reales

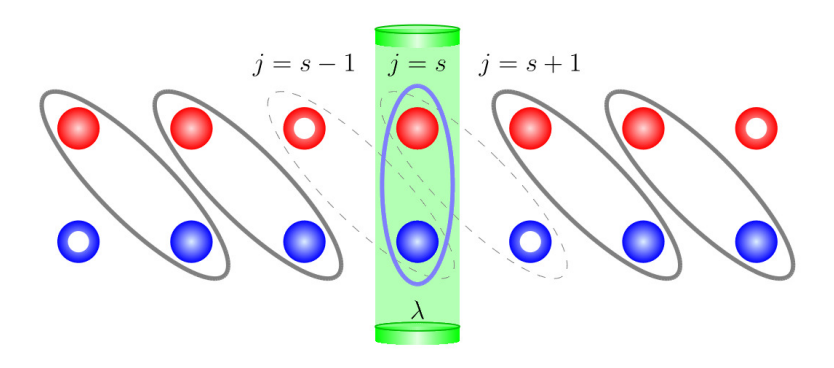


Figura 3.1: Esquema de una CK en la fase topológica interactuando con una cavidad cuántica en un solo sitio, donde las esferas representan los fermiones de Majorana y los toros los MZM, la interacción se produce con un sitio de la CK (caso bulk). Los fermiones de Majorana representados en azul corresponden a $\hat{\gamma}_{i,1}$, mientras que los rojos a $\hat{\gamma}_{i,2}$, con i las posiciones de la CK.

 \hat{c} , de modo que es necesario llevarlos a la representación de fermiones no locales para

continuar con los cálculos. A partir de la definición de los fermiones no localizados (2.8), se puede deducir las siguientes relaciones:

$$\hat{d}_{j} = \frac{i}{2}(\hat{c}_{j}^{\dagger} - \hat{c}_{j} + \hat{c}_{j+1}^{\dagger} + \hat{c}_{j+1}) = \frac{1}{2}(\hat{\gamma}_{2j} + i\hat{\gamma}_{2j+1}) = \frac{1}{2}(\hat{\gamma}_{j,2} + i\hat{\gamma}_{j+1,1}),$$

$$\hat{d}_{j}^{\dagger} = \frac{i}{2}(\hat{c}_{j}^{\dagger} - \hat{c}_{j} - \hat{c}_{j+1}^{\dagger} - \hat{c}_{j+1}) = \frac{1}{2}(\hat{\gamma}_{2j} - i\hat{\gamma}_{2j+1}) = \frac{1}{2}(\hat{\gamma}_{j,2} - i\hat{\gamma}_{j+1,1}),$$
(3.9)

donde por facilidad, se puede hacer el cambio de índice en los operadores de Majorana para facilitar la descirpción. Ahora, para el sitio en el interior de la cavidad, se tiene

$$\hat{c}_s^{\dagger} \hat{c}_s = \frac{1}{2} (1 + i \hat{\gamma}_{s,1} \hat{\gamma}_{s,2}) = \frac{1}{2} (1 + \hat{d}_{s-1} \hat{d}_s + \hat{d}_{s-1} \hat{d}_s^{\dagger} - \hat{d}_{s-1}^{\dagger} \hat{d}_s - \hat{d}_{s-1}^{\dagger} \hat{d}_s^{\dagger}). \tag{3.10}$$

El hamiltoniano de Kitaev (2.9) tiene como constante de movimiento a la paridad de excitaciones, de modo que la paridad fermiónica debe permanecer constante, de modo que los únicos términos que tienen una contribución al hamiltoniano son $\hat{d}_{s-1}^{\dagger}\hat{d}_{s}^{\dagger}$ y $\hat{d}_{s-1}\hat{d}_{s}$. En consecuencia, puede escribirse de manera más conveniente usando la base del estado de ocupación de los sitios s-1 y s, tal que $|-\rangle_{z}=|\circ\circ\rangle$, $|+\rangle_{z}=|\bullet\bullet\rangle=\hat{d}_{s-1}^{\dagger}\hat{d}_{s}^{\dagger}|\circ\circ\rangle$, donde $|\circ\circ\rangle$ representa el vacío, i.e. no hay fermiones de tipo d en j=s-1,s, esta base es especialmente útil para estudiar la dinámica del sistema si se trabaja en el régimen del acoplamiento débil ($\lambda<\omega\sim\Delta$). El hamiltoniano del sistema se reduce a

$$\hat{H}_1 = -2\Delta\hat{\sigma}_z + \omega\hat{a}^{\dagger}\hat{a} + \frac{\lambda}{2}\left(e^{-i\phi}\hat{a}^{\dagger} + e^{i\phi}\hat{a}\right)(\mathbb{1}_2 - \hat{\sigma}_x). \tag{3.11}$$

Este hamiltoniano corresponde al modelo de Rabi modificado, en el que la cavidad y la CK entran en resonancia cuando $\omega=4\Delta$ y el estado fundamental (ver Figura 3.2) en esta base puede escribirse como $|\mathrm{GS}\rangle=|0\rangle\otimes|-\rangle_z$, donde $|0\rangle$ representa el vacío fotónico.

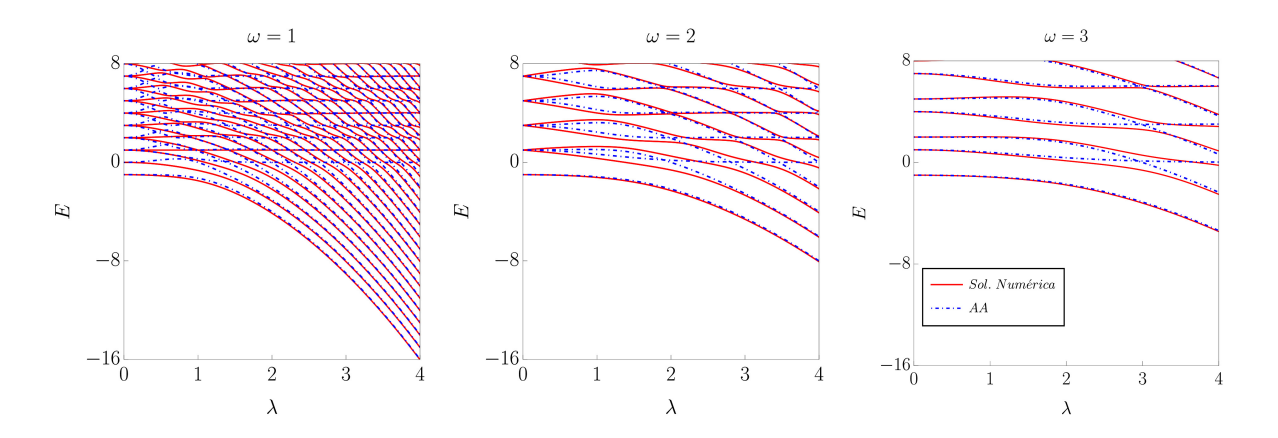


Figura 3.2: Espectro de energías para la interacción con un solo sitio (Ec. (3.11)), considerando $\phi=0$ y $\Delta=0.5$ para diferentes valores de frecuencia de la cavidad. El espectro exacto viene representado por líneas solidas rojas y las energías en el régimen de la aproximación adiabática (Ec. (3.12)) con líneas discontinuas azules. Se elige $\phi=0$ arbitrariamente porque no modifica los estados propios ni el espectro de energías.

Siguiendo el procedimiento descrito en el Apéndice A, se puede obtener el espectro de las energías de esta interacción en la aproximación adiabática (Ec. (A.9))

$$E_{n,\pm}^{AA} = \frac{1}{2} \left(2n\omega - \frac{\lambda^2}{\omega} \pm \sqrt{\frac{\lambda^4}{\omega^2} + 16\Delta^2 \exp\left(-\frac{\lambda^2}{\omega^2}\right) L_n\left(\frac{\lambda^2}{\omega^2}\right)^2} \right). \tag{3.12}$$

En la Figura 3.2, se puede observar que en el régimen del acoplamiento ultra fuerte (Ultra Strong Coupling, USC) ($\lambda > \omega \sim \Delta$), el espectro de energías (3.12) replica de manera bastante fidedigna el espectro de energías, así como los cruces entre níveles de energía que se producen en este.

En este límite, una base mejor adaptada para describir este sistema se puede construir en base al número de ocupación $|n_{L,R},n_c\rangle$ de un fermón no local $\hat{d}_{L,R}=(\hat{\gamma}_L+i\hat{\gamma}_R)/2$ y un fermión localizado que se encuentra dentro de la cavidad $\hat{c}_s=(\hat{\gamma}_{s,1}+i\hat{\gamma}_{s,2})/2$. Las componentes del fermión no local son los fermiones de Majorana $\hat{\gamma}_L=\hat{\gamma}_{s-1,2}$ ubicado justo a la izquierda de la cavidad y $\hat{\gamma}_R=\hat{\gamma}_{s+1,1}$ ubicado a la derecha de esta. La transformación entre las dos bases se expresa como

$$|\circ\circ\rangle = \frac{1}{\sqrt{2}} (|\circ_{L,R}, \circ_c\rangle - i |\bullet_{L,R}, \bullet_c\rangle), \qquad |\bullet\bullet\rangle = \frac{1}{\sqrt{2}} (|\circ_{L,R}, \circ_c\rangle + i |\bullet_{L,R}, \bullet_c\rangle).$$
 (3.13)

El estado fundamental se escribe como $|GS\rangle \simeq -i |\alpha\rangle \otimes |\bullet_{L,R}, \bullet_c\rangle$, donde $\alpha = -\lambda e^{-i\phi}/\omega$. Por la forma del estado fundamental, se puede hallar la probabilidad de encontrar n fotones dentro la cavidad. Para los estados coherentes $|\alpha\rangle$, esta se describe mediante una distribución de Poisson, $P(n) = \exp(-|\alpha|^2)|\alpha|^{2n}/n!$. Estas predicciones teóricas muestran concordancia con los resultados numéricos obtenidos, que se muestran en la Fig. 3.3.

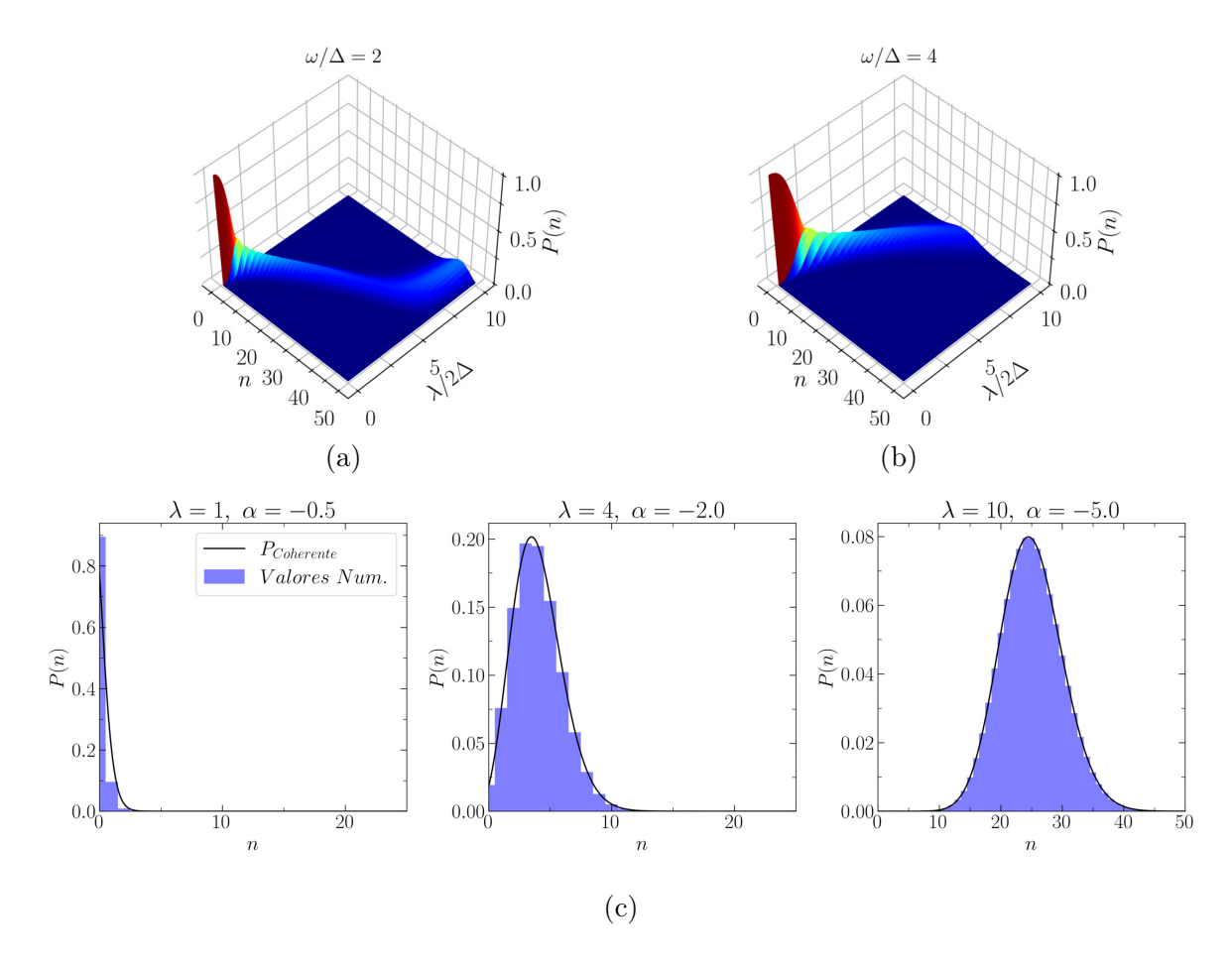


Figura 3.3: Probabilidad P(n), donde n corresponde al número de fotones en el estado base en función a la fuerza de acoplamiento λ , para $\Delta=0.5$, considerando (a) $\omega/\Delta=2$, (b) $\omega/\Delta=4$. Y (c) comparación entre los valores teóricos de la probabilidad para un estado coherente con los resultados numéricos para distintos valores de acoplamiento.

Por otra parte, la entropía de von Neumann,

$$S = -\operatorname{Tr}\left(\hat{\rho}\log_2\hat{\rho}\right),\tag{3.14}$$

para la matriz densidad de un determinado estado, sirve para caracterizar algunas de las propiedades cuánticas del sistema de la cadena de Kitaev, especialmente en relación con el entrelazamiento y las fases topológicas. La entropía de von Neumann de una subregión de la cadena puede revelar información sobre el grado de entrelazamiento entre esa subregión y el resto del sistema. En la Figura 3.4, se puede ver como a medida que el acoplamiento entre la CK y la cavidad cuántica aumenta, S se aproxima a 0. Esto indica que en este límite, el estado base del sistema descrito por el hamiltoniano (3.11) efectivamente puede descomponerse como el producto de un estado de materia y un estado coherente de radiación.

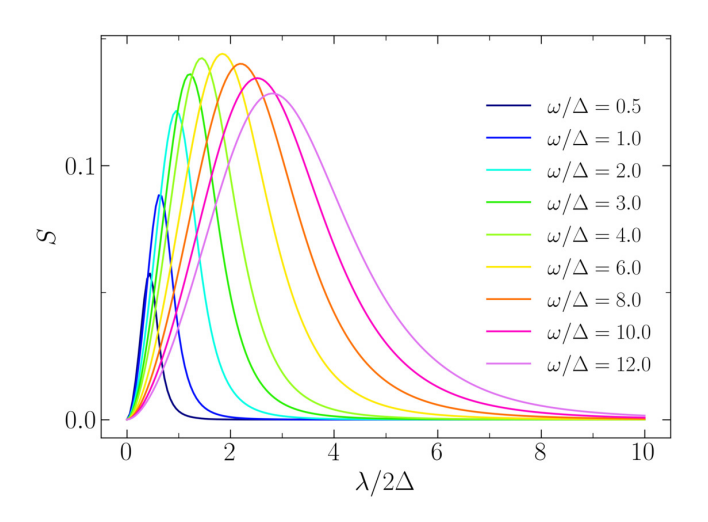


Figura 3.4: Entropía de Von Neumann para el estado fundamental del hamiltoniano (3.11) para distintos valores de frecuencia de la cavidad ω en función al acoplamiento entre la CK y la cavidad λ .

3.3. Protocolo de fusión

Tal como se ilustra en la Figura 3.1, la fusión de dos MZM's, que en este contexto se comportan como anyones de tipo Ising (σ) , pueden producir dos posibles estados finales: el vacío (1) o un fermión real de Dirac (Ψ) , simbólicamente $\sigma \times \sigma = 1 + \Psi$ [25]. La existencia de dos posibles resultados para la fusión es una manifestación directa de la naturaleza no abeliana de los MZM's. La verificación experimental de esta propiedad no abeliana de las cuasipartículas se realiza a través de protocolos basados en la Regla de Fusión, donde se observan los diferentes resultados posibles de la combinación de los MZM's.

Para investigar numéricamente el escenario no trivial de la fusión de MZM's (a un fermión real), se puede considerar una cadena de Kitaev interactuando con una cavidad cuántica (descrita por la Ec. (3.11)). El protocolo consiste en aumentar adiabáticamente la fuerza del acoplamiento entre la cavidad y la CK λ . Inicialmente, se considera el sistema en su estado fundamental, es decir, $|0\rangle \otimes |-\rangle_z$.

A medida que se activa el acoplamiento entre la cavidad y la CK, la topología del sistema cambia en la vecindad de la cavidad. Como se detalla en la Ref. [22], este acoplamiento induce la formación de dos nuevos MZM's localizados en los sitios de la CK adyacentes a la cavidad (ver Fig. 3.1). Estos nuevos MZM's emergen como consecuencia de la hibridación de los estados electrónicos de la cadena inducida por la presencia del campo electromagnético cuantizado de la cavidad. Tal como se demostró en la sección anterior, una vez que existe acoplamiento entre la cavidad y la CK, en el límite de acoplamiento ultra fuerte (USC, $\lambda > \omega \sim \Delta$), los estados de materia y radiación son separables en la forma $|\Psi\rangle \simeq |\alpha\rangle \otimes |-\rangle_x$, donde $|\alpha\rangle$ es un estado de radiación coherente con $\alpha = -\lambda/\omega$ y los estados de materia cumplen que $\hat{\sigma}_x |-\rangle_x = -|-\rangle_x$.

Una vez que la cavidad y la CK se encuentran fuertemente acopladas, el estado final de materia llega a ser $|-\rangle_x = (|\circ\circ\rangle - |\bullet\bullet\rangle)/\sqrt{2}$, este estado final tiene sentido, pues la paridad fermiónica se conserva con este proceso. La forma del estado tras la interacción, muestra que existe una superposición de estados con igual probabilidad de que no existan fermiones rodeando la cavidad y un estado de que exista un fermión a cada lado de la cavidad. Esto muestra que la fusión provocada por la cavidad tiene un carácter probabiliístico y muestra que los anyones tipo Ising son no abelianos, tal como se deseaba.

Se puede mostrar la validez del protocolo de fusión en la interacción con un solo sitio midiendo la función de correlación entre los dos fermiones más próximos a la cavidad $\hat{\gamma}_L = \hat{\gamma}_{s-1,2}$ y $\hat{\gamma}_R = \hat{\gamma}_{s+1,1}$, que se puede definir como

$$P(s-1,s+1) = i\langle \hat{\gamma}_{s-1,2} \hat{\gamma}_{s+1,1} \rangle = -i\langle \hat{\gamma}_{s,2} \hat{\gamma}_{s,1} \rangle,$$

$$\hat{\gamma}_{s-1,2} \hat{\gamma}_{s+1,1} = i \left(\hat{d}_{s-1} \hat{d}_{s}^{\dagger} + \hat{d}_{s} \hat{d}_{s-1} + \hat{d}_{s-1}^{\dagger} \hat{d}_{s}^{\dagger} - \hat{d}_{s-1}^{\dagger} \hat{d}_{s} \right),$$

$$P(s-1,s+1) = -\left\langle \bullet \bullet \middle| \left(\hat{d}_{s} \hat{d}_{s-1} + \hat{d}_{s-1}^{\dagger} \hat{d}_{s}^{\dagger} \right) \middle| \bullet \bullet \right\rangle - \left\langle \circ \middle| \left(\hat{d}_{s} \hat{d}_{s-1} + \hat{d}_{s-1}^{\dagger} \hat{d}_{s}^{\dagger} \right) \middle| \circ \circ \right\rangle$$

$$= -\langle \hat{\sigma}_{x} \rangle. \tag{3.15}$$

La Figura 3.5, muestra la función de correlación (Ec. (3.15)) como función de la energía de la radiación de la cavidad ω y la fuerza de acoplamiento λ . En esta, se puede verificar que en el límite de acoplamiento fuerte, el protocolo de fusión es válido.

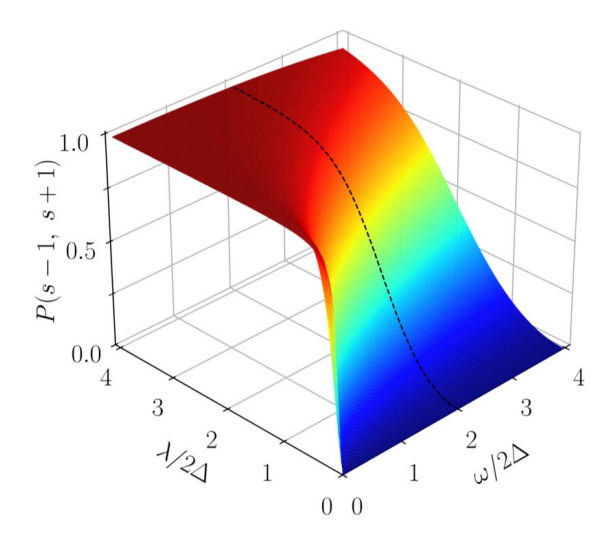


Figura 3.5: Función de correlación de fermiones P(s-1,s+1) para el Protocolo de Fusión para un sistema con interacción en un solo sitio en el estado fundamental. La línea punteada sobre la superficie representa el caso de resonancia $\omega=4\Delta$.

Es además necesario evaluar la susceptibilidad del protocolo de fusión a errores diabáticos. Para ello, de deben verificar los valores de la función de correlación para casos dependientes del tiempo $P(s-1,s+1,t_f) = \langle \psi(t_f) | \hat{\sigma}_x | \psi(t_f) \rangle$. En este análisis se considera una variación lineal en la fuerza de acoplamiento λ y en la fase ϕ , empleando diferentes velocidades de rampa para estudiar el comportamiento del sistema.

La Figura 3.6 muestra que, al aumentar la fuerza del acoplamiento entre la cavidad y la CK, la función de correlación P(s-1,s+1) exhibe un comportamiento similar al predicho teóricamente, tanto en el caso de resonancia como fuera de él. Esta concordancia entre los resultados se observa incluso fuera del régimen de acoplamiento ultra fuerte, siempre que la velocidad de rampa sea lo suficientemente lenta para garantizar que el proceso sea adiabático.

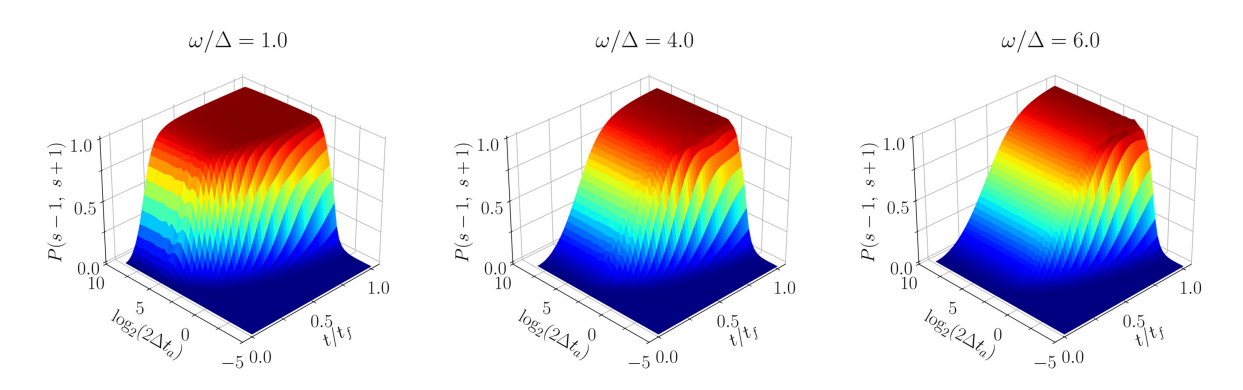


Figura 3.6: Función de correlación de fermiones dependiente del tiempo P(s-1,s+1,t), considerando una variación lineal de la fuerza del acoplamiento $\lambda = t/t_a$, donde la velocidad de rampa es t_a^{-1} y la evolución se realiza en el intervalo $t \in [0,4t_a]$ para (a) $\omega/\Delta = 1$, (b) el caso en resonancia $\omega/\Delta = 4$ y (c) $\omega/\Delta = 6$.

En el análisis del Hamiltoniano donde la fase del acoplamiento (ϕ) varía temporalmente, se asume que la fuerza del acoplamiento permanece constante. La Figura 3.7 muestra un comportamiento más complejo que en el caso del acoplamiento variable, Para valores bajos en la fuerza de acoplamiento y frecuencias de variación de fase elevados $(t_a$ cortos), el sistema se desvía del comportamiento teórico, mostrando correlaciones negativas o nulas, lo que indica una fusión ineficiente. Sin embargo, al disminuir la frecuencia, se observa que la fusión ocurre de manera periódica, con lo que solo es necesario ajustar la frecuencia de acoplamiento para dirigir el sistema al comportamiento deseado.

Por otro lado, al considerar acoplamientos en el régimen USC, se aprecia que las frecuencias elevadas son las que permiten que el sistema se comporte de manera más estable, mostrando comportamiento cercano al del caso independiente del tiempo. Esto puede interpretarse considerando que, bajo acoplamientos fuertes, la parte bosónica del sistema tiende a comportarse como un estado coherente, donde la fase de acoplamiento ejerce una menor influencia sobre el resultado final del protocolo de fusión. A medida que la frecuencia disminuye, el comportamiento de la fusión recupera un carácter oscilatorio, con oscilaciones que ocurren a una frecuencia mayor que en el caso de acoplamiento débil.

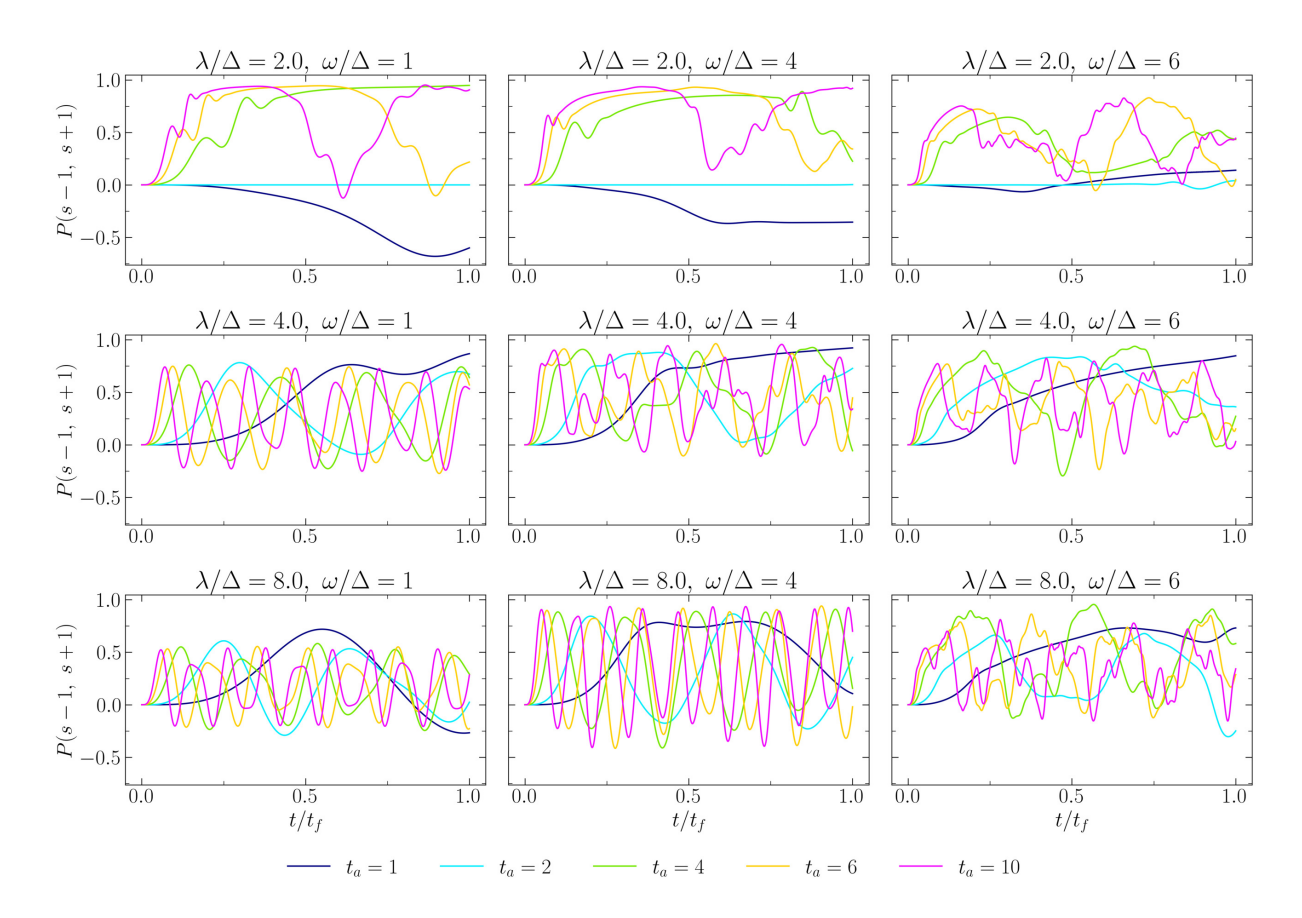


Figura 3.7: Función de correlación de fermiones dependiente del tiempo P(s-1,s+1,t), considerando una variación lineal de la fase de acoplamiento $\phi = t/t_a$, con frecuencia t_a^{-1} , para un intervalo de evolución dado por $t \in [0,4t_a]$ en el caso de resonancia para diferentes valores de energía de la cavidad ω y fuerza de acoplamiento λ , considerando $\Delta = 0,5$.

3.4. Discusión

En este capítulo, se ha explorado la interacción entre una cadena de Kitaev (CK), el sistema fundamental que estamos considerando para la implementación de qubits topológicos basados en fermiones de Majorana, y la radiación electromagnética. Este estudio resulta crucial en el marco de la computación cuántica topológica, donde la manipulación y el control preciso de los MZM's son esenciales para la realización de operaciones cuánticas tolerantes a fallos.

La introducción del modelo de Rabi permitió establecer las bases teóricas para comprender la interacción entre un qubit (análogo al sistema de dos niveles que puede formarse con los MZM's) y un campo electromagnético cuantizado presente en una cavidad. La derivación del hamiltoniano de Rabi proporcionó una descripción que puede extenderse al caso de la cadena de Kitaev acoplada a la cavidad cuántica.

El análisis de la interacción directa entre la CK y la cavidad cuántica reveló la posibilidad de inducir la formación de nuevos MZM's en las proximidades de la cavidad. Este fenómeno, análogo a la acción de una "tijera topológica", abre nuevas vías para la manipulación y el control de los MZM's, superando así el límite de tenerlos únicamente en los extremos de la cadena.

La exploración del protocolo de fusión, implementado mediante el aumento adiabático de la fuerza de acoplamiento entre la cavidad y la cadena de Kitaev, demostró la viabilidad de manipular los MZM's inducidos por la cavidad. La concordancia observada entre los resultados numéricos y las predicciones teóricas, incluso fuera del régimen de acoplamiento ultrafuerte bajo condiciones adiabáticas, subraya la robustez del protocolo frente a variaciones externas.

El estudio de la dependencia temporal de la fase del acoplamiento reveló una dinámica más compleja. En el régimen de acoplamiento débil, la eficiencia de la fusión se mostró sensible a la frecuencia de variación de la fase, permitiendo ver la necesidad de un control preciso de este parámetro. Por otro lado, en el régimen USC, se observó una mayor estabilidad frente a las variaciones rápidas de la fase, lo que puede atribuirse al comportamiento coherente del campo de la cavidad bajo acoplamientos fuertes.

Capítulo 4

Interacción en dos sitios y braiding

Tras haber establecido el marco fundamental del modelo de Kitaev y las bases de la interacción con la radiación cuando lo hace con un solo sitio, resulta natural extender este análisis a escenarios más complejos que involucren interacciones con múltiples sitios de la CK. En particular, la interacción con dos sitios contiguos, abre la puerta a la implementación de protocolos de braiding (intercambio), una operación fundamental en la computación cuántica topológica.

Como se discutió en capítulos anteriores, los MZM's poseen estadísticas no abelianas, una propiedad que les permite realizar operaciones cuánticas mediante el intercambio de posiciones de estas cuasipartículas. A diferencia de las partículas abelianas, donde el orden de intercambio no afecta el estado final, el braiding de anyones no abelianos se puede traducir en transformaciones unitarias en el espacio de estados degenerado en el que se encuentran los estados. En el contexto de la cadena de Kitaev, el control y la manipulación de múltiples MZM's, se convierte en un objetivo crucial para la implementación de puertas cuánticas topológicas.

A lo largo de este capítulo se adentrará en el estudio de la interacción de una cadena de Kitaev con una cavidad cuántica acoplada a dos sitios contiguos de la cadena. Se explorará cómo esta interacción puede utilizarse para manipular y potencialmente ejecutar el protocolo de braiding de los MZM's. Analizaremos el formalismo teórico necesario para describir este sistema y discutiremos las implicaciones de estos protocolos para la realización de operaciones cuánticas topológicas, incluyendo los desafíos y las perspectivas futuras en este campo. La comprensión de la interacción con múltiples sitios representa un paso fundamental hacia la construcción computadoras cuánticas topológicas más complejas y la explotación de las propiedades únicas de los fermiones de Majorana para la computación cuántica tolerante a fallos.

4.1. Interacción bulk con dos sitios

De manera análoga al capítulo anterior, ahora se considerará el caso en el que la cavidad se acopla a dos sitios físicos adyacentes, en específico los sitios s y s+1. Manteniendo la simetría en bulk, es decir, $2 \le s \le N-2$, esta configuración se ilustra esquemáticamente en la Figura 4.1. El hamiltoniano correspondiente a esta interacción se puede deducir a partir de (3.6) y (3.7), lo que conduce a

$$\hat{H}_2 = \Delta \sum_{r=-1,0,1} \left(2\hat{d}_{s+r}^{\dagger} \hat{d}_{s+r} - 1 \right) + \omega \hat{a}^{\dagger} \hat{a} + \frac{1}{\sqrt{2}} \sum_{j=1,2} \lambda_j \hat{c}_j^{\dagger} \hat{c}_j \left(e^{-i\phi_j} \hat{a}^{\dagger} + e^{i\phi_j} \hat{a} \right). \tag{4.1}$$

Usando las relaciones de (3.9) para escribirlo en función de los operadores de fermiones no localizados, este hamiltoniano puede ser reescrito como

$$\hat{H}_{2} = \Delta \sum_{r=-1,0,1} \left(2\hat{d}_{s+r}^{\dagger} \hat{d}_{s+r} - 1 \right) + \omega \hat{a}^{\dagger} \hat{a} + \frac{1}{2\sqrt{2}} \sum_{r=0,1} \lambda_{r+1} \left(1 + \hat{d}_{s+r-1} \hat{d}_{s+r} + \hat{d}_{s+r-1} \hat{d}_{s+r}^{\dagger} - \hat{d}_{s+r-1}^{\dagger} \hat{d}_{s+r} - \hat{d}_{s+r-1}^{\dagger} \hat{d}_{s+r}^{\dagger} \right) \left(e^{-i\phi_{r+1}} \hat{a}^{\dagger} + e^{i\phi_{r+1}} \hat{a} \right).$$

$$(4.2)$$

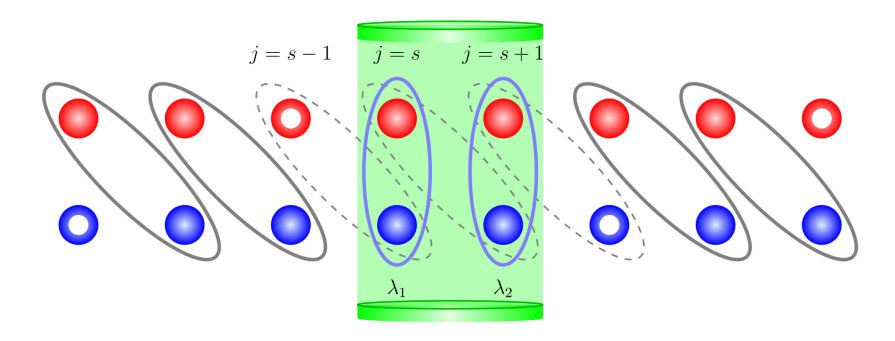


Figura 4.1: Esquema de una CK en la fase topológica interactuando con una cavidad cuántica en dos sitios (two bulk case), donde las esferas representan los fermiones de Majorana y los toros los MZM's.

Al igual que para un sitio, el hamiltoniano conserva la paridad del número de fermiones en la cadena, de modo que los únicos cuatro estados que tendrán contribuciones son $\{|\circ_{s-1}\circ_s\circ_{s+1}\rangle, |\circ_{s-1}\bullet_s\bullet_{s+1}\rangle, |\bullet_{s-1}\bullet_s\circ_{s+1}\rangle, |\bullet_{s-1}\circ_s\bullet_{s+1}\rangle\}$, tal que el hamiltoniano se puede escribir en esta base. Se puede mapear estos estados de la materia a un sistema de dos espines, donde la base se escribe como

$$|-,-\rangle_{z} = |\circ_{s-1} \circ_{s} \circ_{s+1}\rangle, \qquad |-,+\rangle_{z} = |\circ_{s-1} \bullet_{s} \bullet_{s+1}\rangle, |+,-\rangle_{z} = |\bullet_{s-1} \bullet_{s} \circ_{s+1}\rangle, \qquad |+,+\rangle_{z} = |\bullet_{s-1} \circ_{s} \bullet_{s+1}\rangle,$$

$$(4.3)$$

que corresponden a la base de vectores propios de un sistema de dos espines en la base z de Pauli.

Escribiendo el hamiltoniano (4.2) en esta base (Ec. (4.3)) e imponiendo que $\phi_1 = 0$ y $\phi_2 = \phi$, se puede reducir a

$$\hat{H}_{2} = -\Delta \left(\hat{\sigma}_{z,1} + \hat{\sigma}_{z,2} + \hat{\sigma}_{z,1}\hat{\sigma}_{z,2}\right) + \omega \hat{a}^{\dagger}\hat{a} + \frac{1}{2\sqrt{2}}\lambda_{1} \left(\hat{a}^{\dagger} + \hat{a}\right) \left(\mathbb{1}_{2} - \hat{\sigma}_{x,1}\right) + \frac{1}{2\sqrt{2}}\lambda_{2} \left(e^{-i\phi}\hat{a}^{\dagger} + e^{i\phi}\hat{a}\right) \left(\mathbb{1}_{2} - \hat{\sigma}_{x,2}\right).$$

$$(4.4)$$

El hamiltoniano (4.4) corresponde a un modelo inohomogéneo de dos espines de Rabi. Y la información que contenía originalmente el fermión \hat{d} que se encontraba en la cavidad y sus respectivos fermiones de Majorana está descrito en la nueva base y el sistema entra en resonancia cuando se cumple que $\omega = 4\Delta$.

La Figura 4.2 muestra la energía del estado fundamental de este hamiltoniano para diferentes valores de λ_1 y λ_2 . Se puede ver claramente que en cuanto el primer sitio de

la cavidad se acopla en el régimen USC, la energía se divide claramente en tres sectores; el primero que corresponde a $\lambda_2 > 0$, el segundo que corresponde a $-\lambda_1 < \lambda_2 < 0$ y el tercero que corresponde a $\lambda_1 < -\lambda_2$. Esta división se vera reflejada en la estructura del estado fundamental.

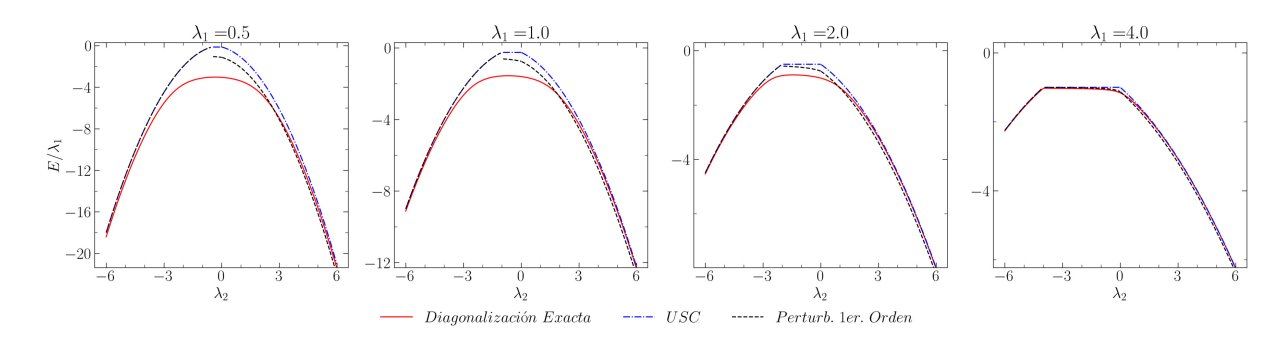


Figura 4.2: Espectro de energías para el caso bulk de dos sitios (Ec. (4.4)), considerando una fase fija controlada dada por $\phi = 0$, $\Delta = 0.5$ en el caso de resonancia $\omega = 4\Delta$ para diferentes valores de acoplamiento entre la cavidad y la CK.

Igual que en el caso de un solo sitio, al alcanzar el régimen de acoplamiento fuerte, la anterior base no es la más adecuada para representar los estados del sistema. De modo que se puede plantear una nueva base en base al número de ocupación $\{|n_{LR}, n_{c_1}, n_{c_2}\rangle\}$, que representan la ocupación del fermión no localizado $\hat{\gamma}_{L,R} = \frac{1}{2}(\hat{\gamma}_L + i\hat{\gamma}_R)$ y los fermiones reales en el interior de la cavidad $\hat{c}_1 = \frac{1}{2}(\hat{\gamma}_{s,1} + i\hat{\gamma}_{s,2})$ y $\hat{c}_2 = \frac{1}{2}(\hat{\gamma}_{s+1,1} + i\hat{\gamma}_{s+1,2})$. En este caso, los componentes del fermión no local son $\hat{\gamma}_L = \hat{\gamma}_{s-1,2}$ y $\hat{\gamma}_R = \hat{\gamma}_{s+2,1}$. La transformación entre estas dos bases viene dada por

$$|-,-\rangle_{z} = \frac{1}{2} \left[|\circ_{L,R}\rangle \otimes (|\circ_{c_{1}},\circ_{c_{2}}\rangle + |\bullet_{c_{1}},\bullet_{c_{2}}\rangle) - i |\bullet_{L,R}\rangle \otimes (|\circ_{c_{1}},\bullet_{c_{2}}\rangle + |\bullet_{c_{1}},\circ_{c_{2}}\rangle) \right],$$

$$|-,+\rangle_{z} = \frac{1}{2} \left[|\circ_{L,R}\rangle \otimes (|\circ_{c_{1}},\circ_{c_{2}}\rangle - |\bullet_{c_{1}},\bullet_{c_{2}}\rangle) - i |\bullet_{L,R}\rangle \otimes (|\circ_{c_{1}},\bullet_{c_{2}}\rangle - |\bullet_{c_{1}},\circ_{c_{2}}\rangle) \right],$$

$$|+,-\rangle_{z} = \frac{1}{2} \left[|\circ_{L,R}\rangle \otimes (|\circ_{c_{1}},\circ_{c_{2}}\rangle - |\bullet_{c_{1}},\bullet_{c_{2}}\rangle) + i |\bullet_{L,R}\rangle \otimes (|\circ_{c_{1}},\bullet_{c_{2}}\rangle - |\bullet_{c_{1}},\circ_{c_{2}}\rangle) \right],$$

$$|+,+\rangle_{z} = \frac{1}{2} \left[|\circ_{L,R}\rangle \otimes (|\circ_{c_{1}},\circ_{c_{2}}\rangle + |\bullet_{c_{1}},\bullet_{c_{2}}\rangle) + i |\bullet_{L,R}\rangle \otimes (|\circ_{c_{1}},\bullet_{c_{2}}\rangle + |\bullet_{c_{1}},\circ_{c_{2}}\rangle) \right].$$

$$(4.5)$$

En esta base, el estado fundamental en el régimen de USC, se puede escribir como $|GS\rangle \simeq |n_{L,R}\rangle \otimes |\Psi_{c_1,c_2,\text{fot}}\rangle$, donde el estado compuesto entre los fermiones dentro de la cavidad y los fotones de la misma se pueden escribir como $|\Psi_{c_1,c_2,\text{fot}}\rangle$. Al igual a lo observado en el espectro de la energía de este estado, en la Figura 4.3, se puede apreciar que existen tres regiones de acoplamiento, cuyos espectros pueden ser aproximados al de estados de radiación coherente, esto especialmente cuando el acoplamiento en el primer sitio es fuerte. Por tanto, si se considera positivo $\lambda_1 > 0$, se puede escribir en cada sector como:

$$|GS\rangle_{II} \simeq |\circ_{L,R}\rangle \otimes |\bullet_{c_{1}}, \bullet_{c_{2}}\rangle \otimes |\alpha_{I}\rangle, \qquad \alpha_{I} = -\frac{\lambda_{1} + \lambda_{2}}{\sqrt{2}\omega}, \qquad \lambda_{2} > 0,$$

$$|GS\rangle_{II} \simeq i |\bullet_{L,R}\rangle \otimes |\circ_{c_{1}}, \bullet_{c_{2}}\rangle \otimes |\alpha_{II}\rangle, \qquad \alpha_{II} = -\frac{\lambda_{1}}{\sqrt{2}\omega}, \qquad -\lambda_{1} < \lambda_{2} < 0, \qquad (4.6)$$

$$|GS\rangle_{III} \simeq i |\bullet_{L,R}\rangle \otimes |\bullet_{c_{1}}, \circ_{c_{2}}\rangle \otimes |\alpha_{III}\rangle, \quad \alpha_{III} = -\frac{\lambda_{2}}{\sqrt{2}\omega}, \qquad \lambda_{2} < -\lambda_{1}.$$

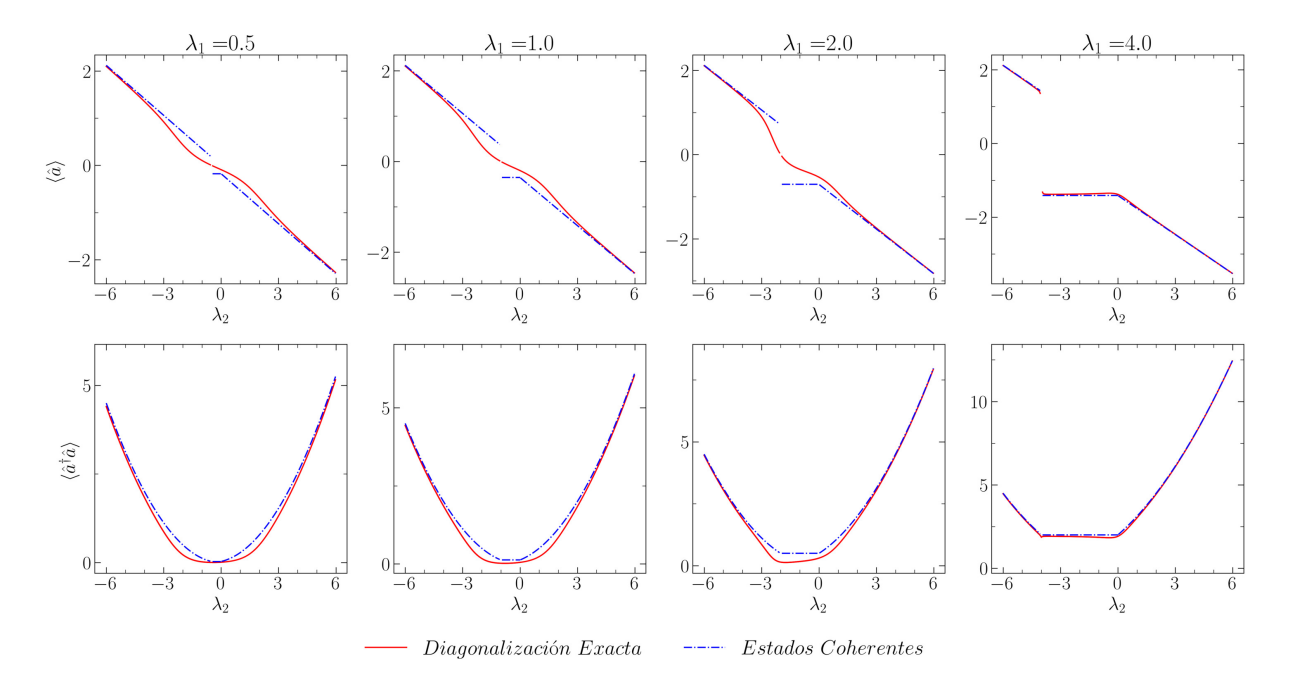


Figura 4.3: Estructura del estado fundamental del hamiltoniano (4.4) en el caso de resonancia $\omega = 4\Delta$, $\Delta = 0.5$ para distintos valores de acoplamiento. En el primer panel, se muestra los valores medios del operador \hat{a} y en el segundo panel para el operador $\hat{a}^{\dagger}\hat{a}$.

En el análisis que sigue, los estados $|GS_I\rangle$ y $|GS_{II}\rangle$ cobran importancia, pues se hace evidente que existe una alternación entre el estado del fermión topológico $|n_{L,R}\rangle$ y el fermión real $|n_{c_1}\rangle$.

En el Apéndice B, se muestra que en el régimen de USC, la energía del estado fundamental puede ser aproximada como un oscilador desplazado, cuya energía viene dada por $E_{\rm GS} = -\omega |\alpha|^2$, estos resultados teóricos son consistentes con los resultados numéricos obtenidos en la Figura 4.2. Mostrando además que en el régimen perturbativo a primer orden en Δ , se puede obtener una mejor aproximación a este estado.

Considerando que el estado fundamental alrededor de $\lambda_2 = 0$ puede escribirse como

$$|GS\rangle = -\sin\left(\frac{\theta}{2}\right)|GS_{I}\rangle + \cos\left(\frac{\theta}{2}\right)|GS_{II}\rangle,$$

$$\tan\theta = -\frac{4\Delta\omega}{\lambda_{2}(\lambda_{1} + 2\lambda_{1})}e^{-\frac{\lambda_{2}^{2}}{4\omega^{2}}},$$
(4.7)

se puede notar que las variaciones en la fuerza de acoplamiento λ_2 determinan el estado en el que el sistema se encontrará. En concreto, cuando $\lambda_2 = 0$ se da una transición entre un estado que con un fermión no localizado $|n_{L,R}\rangle$ y un estado correspondiente al fermión real $|n_{c_1}\rangle$.

4.1.1. Estados gato de Majorana-Schrödinger

Considerando el caso en el que ambos sitios se encuentran acoplados con $\lambda_1 = \lambda_2 = \lambda$ y $\phi = \pi$, ocurre un fenómeno interesante, pues el estado fundamental del sistema deja de adquirir el carácter separable que se describió anteriormente. En este límite, el estado

fundamental viene dado por

$$|GS(\pi)\rangle \simeq 2C |\bullet_{L,R}\rangle \otimes [|\circ_{c_1}, \bullet_{c_2}\rangle \otimes |\alpha\rangle + |\bullet_{c_2}, \circ_{c_1}\rangle \otimes |-\alpha\rangle],$$

$$\simeq C |\bullet_{L,R}\rangle \otimes [(|\circ_{c_1}, \bullet_{c_2}\rangle + |\bullet_{c_1}, \circ_{c_2}\rangle) \otimes (|\alpha\rangle + |-\alpha\rangle)$$

$$+ (|\circ_{c_1}, \bullet_{c_2}\rangle - |\bullet_{c_1}, \circ_{c_2}\rangle) \otimes (|\alpha\rangle - |-\alpha\rangle)],$$

$$(4.8)$$

donde $\alpha = -\frac{\lambda}{\sqrt{2}\omega}$. Este estado es de particular interés, pues contiene la estructura de los estados tipo gato de Schrödinger (Cat States), que suelen escribirse en la forma $|\operatorname{Cat}_{\pm}\rangle = (|\alpha\rangle \pm |-\alpha\rangle)/\sqrt{2(1 \pm \exp(-2|\alpha|^2))}$.

El hecho de que el estado fundamental pueda escribirse en esta forma, muestra que existe entrelazamiento entre la CK y la cavidad. En la Figura 4.4, se muestra la función de Wigner de estos estados tras haber realizado una medida proyectiva sobre los estados de materia $|\Psi_{\pm}\rangle = |\circ_{c_1}, \bullet_{c_2}\rangle \pm |\bullet_{c_1}, \circ_{c_2}\rangle$. La función de Wigner es una distribución de cuasiprobabilidad que proporciona una representación en el espacio de fase de un estado. Es invaluable para analizar las propiedades estadísticas de sistemas cuánticos y para visualizar cómo se comportan. Está definida como

$$W(\alpha, \alpha^*) = \frac{1}{\pi} \int d^2 \beta e^{\beta^* \alpha - \beta \alpha^*} \operatorname{Tr} \left[\hat{\rho} e^{\beta \hat{a}^{\dagger} - \beta^* \hat{a}} \right], \tag{4.9}$$

donde $\hat{\rho}$ representa el operador de densidad de estados. La función de Wigner que se obtiene corresponde totalmente con las esperadas para este tipo de estados bosónicos.

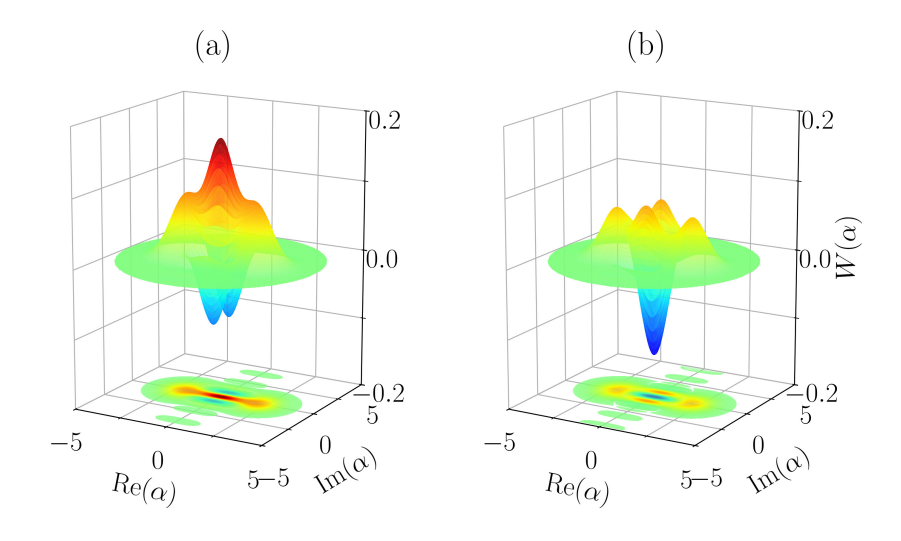


Figura 4.4: Función de Wigner para el estado gato de Majorana-Schrödinger con $\omega = 4\Delta$ (a) par $|\text{Cat}_{+}\rangle$ e (b) impar $|\text{Cat}_{-}\rangle$.

4.2. Protocolo de braiding

Como se demostró en secciones anteriores, los MZM's presentan una estadística no abeliana, lo que implica que cuando se produce un intercambio de lugar entre ellos, se produce un efecto no trivial sobre el estado del sistema. A la operación de realizar este

intercambio se la conoce como braiding. En el contexto de la computación cuántica topológica, el braiding de MZM's se usa para construir las puertas cuánticas.

El operador de braiding entre $\hat{\gamma}_L$ y $\hat{\gamma}_R$ en sentido antihorario es

$$\hat{U}_B^{(L,R)} = \exp\left(\frac{\pi}{4}\hat{\gamma}_L\hat{\gamma}_R\right) = \frac{1}{\sqrt{2}}\left(1 + \hat{\gamma}_L\hat{\gamma}_R\right),\tag{4.10}$$

donde este operador produce el intercambio $\hat{\gamma}_L \to \hat{\gamma}_R$ y $\hat{\gamma}_R \to -\hat{\gamma}_L$. Este operador produce una rotación de $\pi/4$ en el estado fundamental del sistema $\hat{U}_B^{(L,R)} |\text{GS}\rangle = e^{i\frac{\pi}{4}} |\text{GS}\rangle$, donde la rotación prueba que el braiding se produjo.

En las siguientes secciones se partirá del hamiltoniano (4.4), en el que el primer sitio dentro la cavidad j=s se encuentra fuertemente acoplado a la cavidad ($\lambda_1>0$, $\phi_1=0$), mientras que λ_2 y $\phi_2=\phi$ pueden ser regulables. Como el primer sitio se encuentra fuertemente acoplado, el fermión de Majorana a la izquierda de la cavidad $\hat{\gamma}_L=\hat{\gamma}_{s-1,2}$ siempre es un MZM. Mientras que $\hat{\gamma}_{s+1,1}$ será un MZM solo en el límite $\lambda_2\to 0$, en cuanto esta fuerza de acoplamiento llega al régimen USC, $\hat{\gamma}_{s+2,1}$ es el que se convierte en un MZM. De modo que en las siguientes secciones se estudiará el efecto del braiding en ambos casos.

Un cambio de base resulta más conveniente, usando $\{|n_{L,R}, n_c, n_{s+1}\rangle\}$ los números de ocupación del fermión no localizado $\hat{f}_{L,R} = \frac{1}{2} \left(\hat{\gamma}_L + i\hat{\gamma}_R\right)$, el fermión real que se forma dentro de la cavidad $\hat{c}_s = \frac{1}{2} \left(\hat{\gamma}_{s,1} + i\hat{\gamma}_{s,2}\right)$ y el fermión no localizado \hat{d}_{s+1} . Tal que la base se transforma como

$$|-,-\rangle_{z} = \frac{1}{\sqrt{2}} \left[|\circ_{L,R}, \circ_{c}\rangle - i |\bullet_{L,R}, \bullet_{c}\rangle \right] \otimes |\circ_{s+1}\rangle,$$

$$|-,+\rangle_{z} = \frac{i}{\sqrt{2}} \left[|\circ_{L,R}, \bullet_{c}\rangle - i |\bullet_{L,R}, \circ_{c}\rangle \right] \otimes |\bullet_{s+1}\rangle,$$

$$|+,-\rangle_{z} = \frac{1}{\sqrt{2}} \left[|\circ_{L,R}, \circ_{c}\rangle + i |\bullet_{L,R}, \bullet_{c}\rangle \right] \otimes |\circ_{s+1}\rangle,$$

$$|+,+\rangle_{z} = -\frac{i}{\sqrt{2}} \left[|\circ_{L,R}, \bullet_{c}\rangle + i |\bullet_{L,R}, \circ_{c}\rangle \right] \otimes |\bullet_{s+1}\rangle.$$

$$(4.11)$$

En el régimen USC, el estado fundamental del sistema compuesto en la nueva base puede escribirse a partir de los estados de materia $|\Psi_{\pm}\rangle = \frac{1}{\sqrt{2}}(|\bullet_{L,R}, \bullet_c, \circ_{s+1}\rangle \pm |\circ_{L,R}, \bullet_c, \bullet_{s+1}\rangle),$

$$|\mathrm{GS}_{\pm}\rangle = \begin{cases} -i |\Psi_{+}\rangle \otimes |\alpha_{+}\rangle, & \mathrm{para} \ \phi = 0, \\ i |\Psi_{-}\rangle \otimes |\alpha_{-}\rangle, & \mathrm{para} \ \phi = \pi. \end{cases}$$
 (4.12)

Donde $\alpha_+ = -\frac{\lambda_1 + \lambda_2}{\sqrt{2}\omega}$ y $\alpha_- = -\frac{\lambda_1}{\sqrt{2}\omega}$, la Fig. 4.5 muestra que la población de fotones en la cavidad se comporta conforme a lo que se espera para un estado coherente. En esta base, cuando el sistema tiende al caso de interacción en un sitio, $\lambda_2 \to 0$, el estado fundamental del sistema se transforma en $|\text{GS}\rangle \simeq (|\text{GS}_+\rangle - |\text{GS}_-\rangle)/\sqrt{2} = |\bullet_{L,R}, \bullet_c, \circ_{s+1}\rangle \otimes |\alpha\rangle$, donde $\alpha = -\lambda_1/(\sqrt{2}\omega)$.

En la Figura 4.6a, se muestra la evolucción de la paridad entre $\hat{\gamma}_L = \hat{\gamma}_{s-1,2}$ y $\hat{\gamma}_R = \hat{\gamma}_{s+1,1}$ como función del acoplamiento complejo del segundo sitio para $\lambda_2 \leq \lambda_1$. Se puede notar que en el límite de acoplamiento en un solo sitio $\lambda_2 \to 0$, la paridad $P_{L,R} \approx -1$, lo que coincide con el resultado esperado para el estado fundamental en este caso.

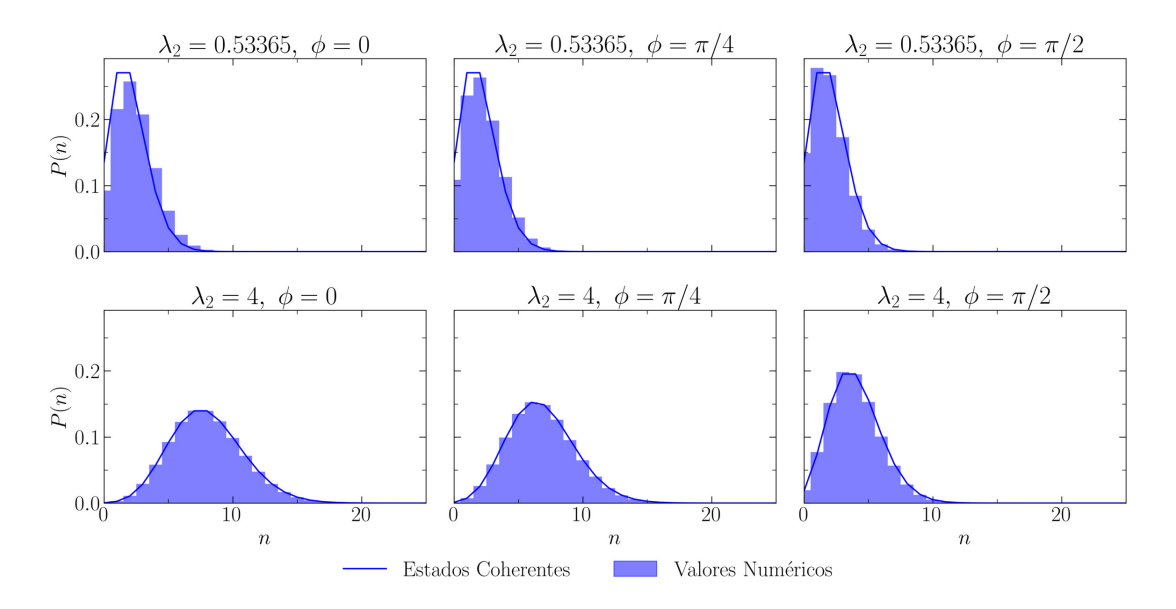


Figura 4.5: Probabilidad P(n) de observar n fotones en la cavidad en la cavidad cuántica acoplada a dos sitios de la CK para distintos valores de λ_2 y ϕ . Donde las barras representan los resultados numéricos y la línea sólida representa los valores teóricos para un estado coherente cuando (a) se produce la firma de braiding y $\alpha = -\frac{\lambda_1}{\sqrt{2}\omega}$ y (b) el segundo sitio está fuertemente acoplado con $\alpha = -\frac{\lambda_1 + \lambda_2 e^{i\phi}}{\sqrt{2}\omega}$.

La correlación fermiónica correspondiente a la Figura 4.6 puede calcularse en la base de los fermiones \hat{d} . Para el primer caso, este puede escribirse como

$$\langle \hat{\gamma}_L \hat{\gamma}_R \rangle = i \langle \hat{\gamma}_{s-1,2} \hat{\gamma}_{s+1,1} \rangle = \left\langle \hat{d}_s^{\dagger} \hat{d}_{s-1} - \hat{d}_s \hat{d}_{s-1} - \hat{d}_{s-1}^{\dagger} \hat{d}_s^{\dagger} + \hat{d}_{s-1}^{\dagger} \hat{d}_s \right\rangle = \langle \hat{\sigma}_{x,1} \hat{\sigma}_{z,2} \rangle. \tag{4.13}$$

Por otra parte, al realizar la correlación con el fermión a la derecha de la cavidad $\hat{\gamma}_{s+2,1}$,

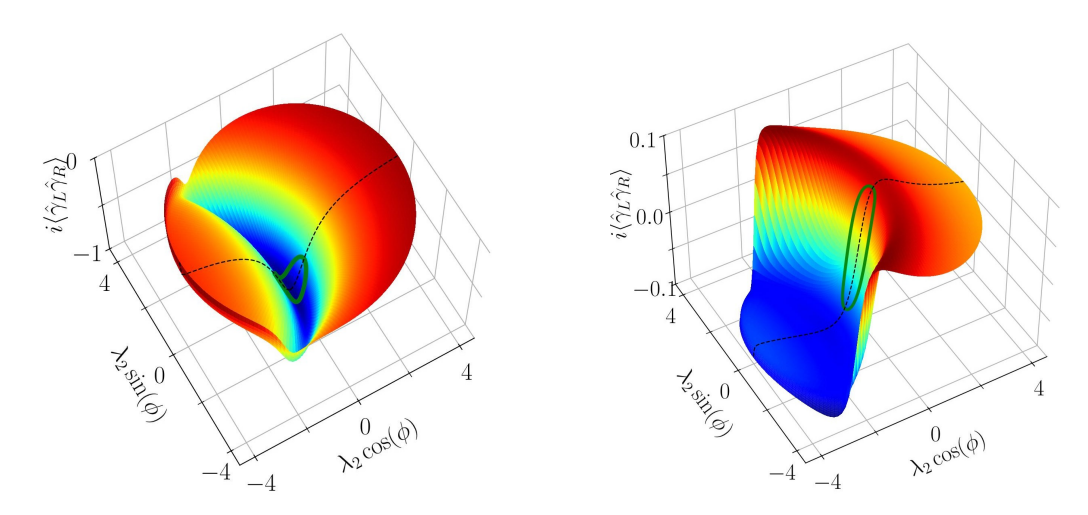


Figura 4.6: Paridad fermiónica entre $\hat{\gamma}_L = \hat{\gamma}_{s-1,2}$ y (a) $\hat{\gamma}_R = \hat{\gamma}_{s+1,1}$ dentro de la cavidad y (b) $\hat{\gamma}_R = \hat{\gamma}_{s+2,1}$ a la derecha de la cavidad, en función de la fuerza del acoplamiento λ_2 y la fase ϕ . La línea punteada muestra el caso en el que el acoplamiento es real y se produce el salto entre el estado positivo y negativo descrito por (4.12). El aro verde sólido muestra la evolución de la paridad cuando se produce el braiding entre $\hat{\gamma}_L$ y $\hat{\gamma}_R$.

se tiene

$$\langle \hat{\gamma}_L \hat{\gamma}_R \rangle = i \langle \hat{\gamma}_{s-1,2} \hat{\gamma}_{s+2,1} \rangle = \left\langle \hat{d}_{s+1}^{\dagger} \hat{d}_{s-1} - \hat{d}_{s+1} \hat{d}_{s-1} - \hat{d}_{s-1}^{\dagger} \hat{d}_{s+1}^{\dagger} + \hat{d}_{s-1}^{\dagger} \hat{d}_{s+1} \right\rangle = - \langle \hat{\sigma}_{y,1} \hat{\sigma}_{y,2} \rangle. \tag{4.14}$$

4.2.1. Fase de Berry

Habiendo analizado cómo la interacción de la cavidad con el segundo sitio modifica el sistema, se debe determinar bajo qué condiciones el sistema descrito puede implementar la rotación de $\pi/4$ requerida para que se produzca el braiding. Para ello, se considera que el sistema ya se encuentra acoplado en el primer sitio y se realiza una evolución cíclica adiabática sobre el segundo sitio, manteniendo $\lambda_2 > 0$ constante, mientras se varía la fase de acoplamiento considerando $0 \le \phi \le 2\pi$. Esta evolución mantiene al sistema en el estado fundamental, lo que indica que induce una fase geométrica que corresponde a la fase de Berry. Dado que la evolución es cíclica, esta fase no puede ser cancelada [26, 27, 28]. La medición de la fase de Berry en sistemas de este tipo es un fenómeno bien estudiado y por tanto es una propiedad que se puede obtener de forma experimental [29].

Al poder escribir el estado fundamental en la base mostrada en (4.12), la evolución adiabática del sistema se encontrará en el subespacio generado por $\{|GS_{-}\rangle, |GS_{+}\rangle\}$ y por tanto se puede escribir el estado fundamental como una combinación lineal $|GS(\phi)\rangle = C_{+}(\phi) |GS_{+}\rangle + C_{-}(\phi) |GS_{-}\rangle$. Donde claramente $|GS_{-}\rangle$ no depende de ϕ debido a que α_{-} tampoco lo hace. Este cálculo se muestra a detalle en el Apéndice C. De modo que la fase de Berry viene dada por:

$$\varphi_{B} = i \int_{0}^{2\pi} d\phi \, \langle \operatorname{GS}(\phi) | \frac{\partial}{\partial \phi} | \operatorname{GS}(\phi) \rangle
= i \int_{0}^{2\pi} d\phi \left[C_{+}^{*}(\phi) \frac{\partial C_{+}(\phi)}{\partial \phi} + C_{-}^{*}(\phi) \frac{\partial C_{-}(\phi)}{\partial \phi} + |C_{+}(\phi)|^{2} \langle \alpha_{+}(\phi) | \frac{\partial}{\partial \phi} | \alpha_{+}(\phi) \rangle \right].$$
(4.15)

Esta expresión puede reducirse mediante las propiedades de los estados coherentes [30], tal que el módulo de la fase de Berry para la evolución de este sistema viene dada por

$$\varphi_B = \frac{\lambda_2^2}{4\omega^2} \int_0^{2\pi} \left(1 + \frac{(\lambda_2 + 2\lambda_1 \cos(\phi))^2}{\sqrt{16\Delta^2 \omega^2 e^{-\frac{\lambda_2^2}{2\omega^2}} + \lambda_2^2 (\lambda_2 + 2\lambda_1 \cos(\phi))^2}} \right). \tag{4.16}$$

Observando los resultados numéricos en la Figura 4.7a, se nota que la fase de Berry tiene un claro comportamiento creciente con la fuerza de acoplamiento en el segundo sitio y que para lograr el braiding mediante este montaje el acoplamiento en el segundo sitio debe ser inferior al del primer sitio $\lambda_2 < \lambda_1$.

Al estudiar este sistema en el régimen de acoplamiento ultra fuerte con $\Delta \ll \lambda_2$, la ecuación (4.16) se reduce a $\varphi_B \to \pi \lambda_2^2/\omega^2 = 2\pi(-\lambda_2/(\sqrt{2}\omega))^2$. Esto coincide exactamente con la fase de Berry para un estado coherente puro con $\alpha = -\lambda_2/(\sqrt{2}\omega)$ al que se somete a una evolución cíclica adiabática [31, 32, 33].

4.3. Discusión

En este capítulo se ha estudiado el efecto de la interacción entre una CK y una cavidad cuántica en dos sitios en medio de la CK. En este sentido, se ha mostrado que el hamilto-

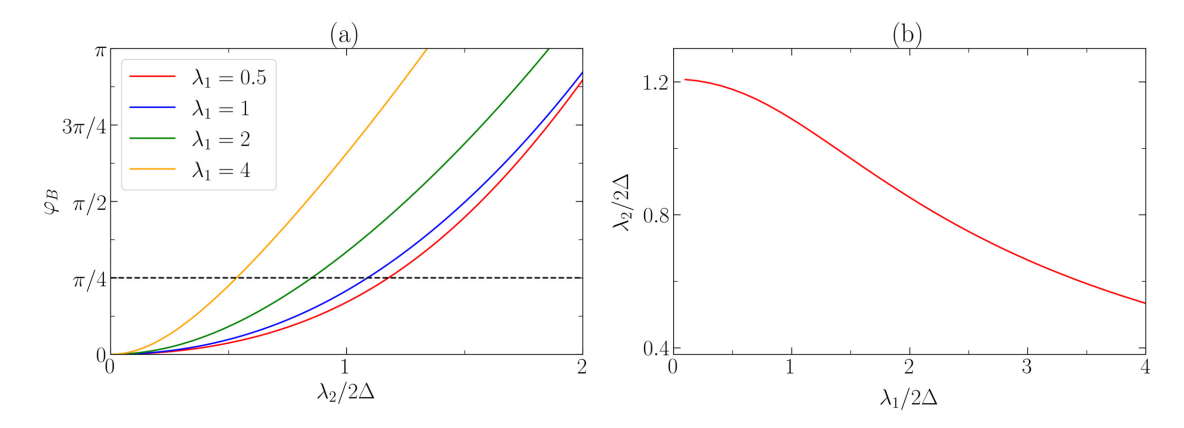


Figura 4.7: Fase de Berry para la evolución cíclica adiabática del acoplamiento del segundo sitio a la cavidad. En el panel (a) se muestra los valores numéricos de la fase de Berry en función a λ_2 para distintos valores de λ_1 y la línea punteada muestra el valor en el que la fase geométrica vale exactamente $\pi/4$. En el panel (b) se muestran los valores que debe adquirir el acoplamiento λ_2 en función de λ_1 para reproducir la firma del braiding.

niano del sistema puede ser escrito en la forma de un modelo de Rabi inhomogéneo, donde los estados del sistema pueden ser escritos como un sistema de dos espines. En el régimen USC, puede mostrarse que el estado fundamental del sistema puede ser aproximado como un oscilador desplazado, donde la energía del estado fundamental puede caracterizarse en tres sectores en base al valor que adquiere el acoplamiento en el segundo sitio comparado a la fuerza de acople del primero.

Una consecuencia interesante de la forma del estado fundamental de este sistema es que puede presentar una estructura de estado tipo gato de Majorana-Schrödinger, donde la interacción entre los fermiones de Majorana y los fermiones reales dentro de la cavidad producen un entrelazamiento entre ambos sistemas. Este entrelazamiento se puede observar mediante la función de Wigner, que muestra la firma de los estados tipo gato.

Por otra parte, se ha mostrado que mediante el sistema descrito, se puede reproducir la firma del braiding entre MZM's mediante la fase de Berry que se produce al evolucionar de manera adiabática el acoplamiento en el segundo sitio. Esta fase puede ser medida experimentalmente y es proporcional al cuadrado del acoplamiento λ_2 . Este resultado cobra una especial importancia, pues realizar el braiding entre MZM's es lo que permite la construcción de puertas lógicas cuánticas en el ámbito de la computación cuántica topológica y por tanto es fundamental a la hora superar los desafíos que trae consigo la era NISQ.

Capítulo 5

Estructura escalable para el encaminamiento cuántico de Majorana

En 2000, DiVinzenco publicó un artículo [34] en el que plantea una serie de siete criterios que la tecnología actual debe alcanzar para lograr una verdadera implementación física de la computación cuántica. El primero de estos criterios tiene que ver con obtener qubits bien caracterizados cuyo sistema físico pueda ser escalable, es decir, crear sistemas de computación cuántica con múltiples qubits.

En los capítulos anteriores se discutió las propiedades físicas que adquiere una cadena de Kitaev en su fase topológica y cómo le afecta interactuar con una cavidad cuántica. Este sistema físico corresponde a un qubit topológico. Al momento de hacer crecer el sistema puede darse el caso de que existan interacciones entre los qubits que puedan llevar a perdidas de información o algún otro efecto no deseado, de modo que es importante estudiar los posibles efectos físicos que se puedan generar por interacciones a la hora de escalar este sistema.

En este capítulo se estudiará el sistema escalado más sencillo, es decir, un sistema compuesto por dos cadenas de Kitaev y dos cavidades cuánticas, donde la interacción entre los sistemas se modela mediante un intercambio de fotones entre las cavidades. El estudio de este sistema se realizará mediante la exploración numérica de las propiedades del hamiltoniano del sistema y principalmente de su estado fundamental, como se realizó para los casos correspondientes a una única CK. El estudio de las propiedades del estado fundamental de este sistema ante incrementos del parámetro de interacción b muestra que se producen cambios tanto en las cavidades cuánticas como en las CK; los cambios en las CK pueden modularse mediante la elección de parámetros del hamiltoniano.

5.1. Descripción del sistema de estudio

En esta sección, se estudiarán los efectos que puede producir la interacción entre dos de los sistemas descritos en el Capítulo 3. La Figura 5.1 muestra una representación esquemática del sistema a estudiarse, en el que se tienen dos CK separadas, cada una interactuando con una cavidad cuántica en un solo sitio. La interacción entre estos sistemas es modelada mediante el intercambio de fotones entre las cavidades y se modula mediante un parámetro de interacción b. Estas CK y sus respectivas cavidades cuánticas se encuentran lo suficientemente separadas entre sí, de manera que cuando b=0, cada una muestra el comportamiento anteriormente estudiado.

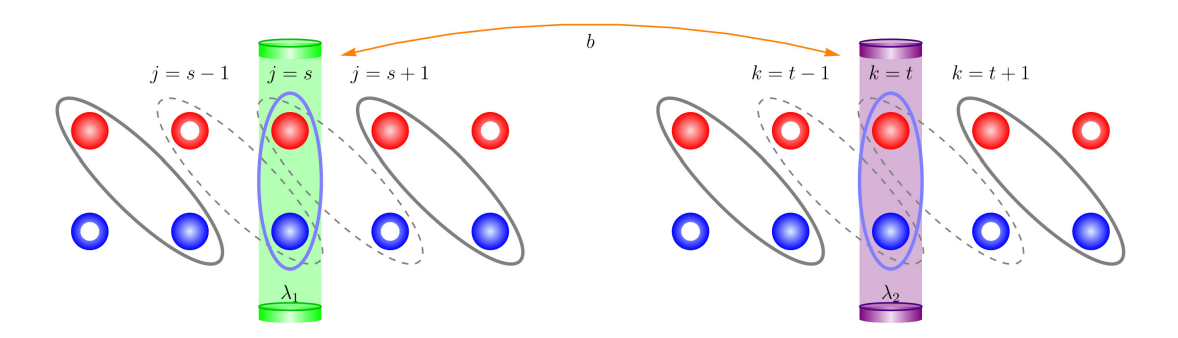


Figura 5.1: Esquema del sistema escalable, en la que se tienen dos CK en la fase topológica, cada una interactuando con una cavidad cuántica en un único sitio, donde las esferas representan fermiones de Majorana y los toros representan MZM's.

5.1.1. Sobre el hamiltoniano y primeros niveles de energía del sistema

El hamiltoniano de este sistema se obtiene simplemente escalando (3.11) y añadiendo el término de interacción

$$\hat{H} = \hat{H}_{1} + \hat{H}_{2} + \hat{H}_{int},
\hat{H}_{1} = -2\Delta_{1}\hat{\sigma}_{z,1} + \omega_{1}\hat{a}_{1}^{\dagger}\hat{a}_{1} + \frac{\lambda_{1}}{2} \left(e^{-i\phi_{1}}\hat{a}_{1}^{\dagger} + e^{i\phi_{1}}\hat{a}_{1} \right) (1 - \hat{\sigma}_{x,1}),
\hat{H}_{2} = -2\Delta_{2}\hat{\sigma}_{z,2} + \omega_{2}\hat{a}_{2}^{\dagger}\hat{a}_{2} + \frac{\lambda_{2}}{2} \left(e^{-i\phi_{2}}\hat{a}_{2}^{\dagger} + e^{i\phi_{2}}\hat{a}_{2} \right) (1 - \hat{\sigma}_{x,2}),
\hat{H}_{int} = b \left(\hat{a}_{1}^{\dagger}\hat{a}_{2} + \hat{a}_{2}^{\dagger}\hat{a}_{1} \right).$$
(5.1)

No obstante, uno de los motivos por los que este sistema tiene interés de estudio se debe a tener la posibilidad de realizar operaciones con múltiples qubits, generando así las compuertas cuánticas necesarias para la implementación universal de la computación cuántica. Estos son los bloques básicos de la construcción de algoritmos cuánticos, como lo muestran Huang et al. [35] y otros autores.

Tal como se muestra en el Apéndice D, a la hora de implementar los operadores de braiding entre dos CK, la paridad fermiónica total del sistema se conserva, aunque no necesariamente en cada subsistema. A diferencia del análisis realizado en el capítulo 3, no se puede limitar el espacio de estados al subespacio par $(\{|\circ\circ\rangle, |\bullet\bullet\rangle\})$ y se requiere escribir el hamiltoniano en el espacio de estados completo $(\{|\circ\circ\rangle, |\bullet\bullet\rangle, |\bullet\bullet\rangle\})$. Al extender el sistema al subespacio impar, a partir de (3.8), se obtiene

$$\hat{H} = \hat{H}_{1} + \hat{H}_{2} + \hat{H}_{int},
\hat{H}_{1} = -\Delta_{1} \left(\hat{\sigma}_{z}^{(1)} \otimes \mathbb{1}_{2} + \mathbb{1}_{2} \otimes \hat{\sigma}_{z}^{(1)} \right) + \omega_{1} \hat{a}_{1}^{\dagger} \hat{a}_{1} + \frac{\lambda_{1}}{2} \left(e^{-i\phi_{1}} \hat{a}_{1}^{\dagger} + e^{i\phi_{1}} \hat{a}_{1} \right) (1 - \hat{\sigma}_{x}^{(1)} \otimes \hat{\sigma}_{x}^{(1)}),
\hat{H}_{2} = -\Delta_{2} \left(\hat{\sigma}_{z}^{(2)} \otimes \mathbb{1}_{2} + \mathbb{1}_{2} \otimes \hat{\sigma}_{z}^{(2)} \right) + \omega_{2} \hat{a}_{2}^{\dagger} \hat{a}_{2} + \frac{\lambda_{2}}{2} \left(e^{-i\phi_{1}} \hat{a}_{2}^{\dagger} + e^{i\phi_{1}} \hat{a}_{2} \right) (1 - \hat{\sigma}_{x}^{(2)} \otimes \hat{\sigma}_{x}^{(2)}),
\hat{H}_{int} = b \left(\hat{a}_{1}^{\dagger} \hat{a}_{2} + \hat{a}_{2}^{\dagger} \hat{a}_{1} \right).$$
(5.2)

Donde \hat{H}_1 representa el hamiltoniano del primer subsistema, \hat{H}_2 el del segundo y \hat{H}_{int} representa el término de interacción entre las cavidades. Del término \hat{H}_{int} , la interacción

entre los sistemas se produce por un intercambio de fotones entre las cavidades. Al tratarse de un toy model, se considera que los sistemas son indistinguibles entre sí cuando tienen el mismo conjunto de parámetros y se considera que ambos sistemas se encuentran en su respectiva resonancia, es decir, $\omega_1 = 4\Delta_1$ y $\omega_2 = 4\Delta_2$.

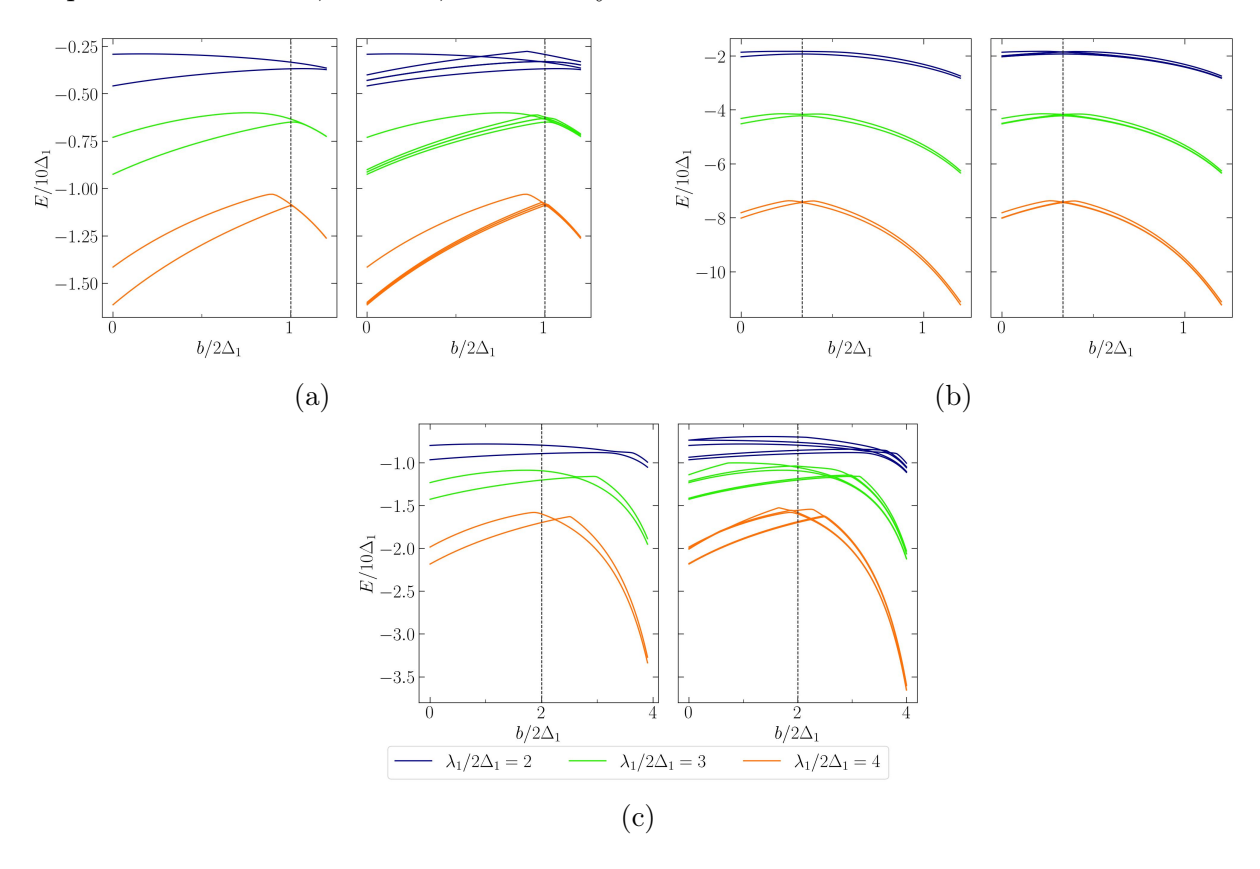


Figura 5.2: Comparación de los primeros niveles de energía para el sistema escalable considerando $\Delta_1=0.5$, las líneas sólidas en el panel izquierdo representan los primeros 2 niveles de energía del hamiltoniano limitado al subespacio par (5.1), las líneas solidas en el panel derecho representan los primeros cinco niveles de energía en el espacio completo (5.2) y la línea punteada representa el punto de transición esperado en el régimen de USC descrito por la Ecuación (5.3). Donde (a) los sistemas son idénticos $\Delta_2=\Delta_1,\ \lambda_2=\lambda_1,\ (b)$ el segundo subsistema tiene un mayor acoplamiento $\Delta_2=\Delta_1,\ \lambda_2=3\lambda_1$ y (c) el segundo subsistema se encuentra más acoplado y tiene un gap mayor $\Delta_2=6\Delta_1,\ \lambda_2=3\lambda_1.$

Al analizar las propiedades de los primeros estados de los dos hamiltonianos presentados, se observa que el estado fundamental permanece inalterado, incluso al limitar el espacio de estados al subespacio par. No obstante, en la Figura 5.2 se puede apreciar que, al restringir al subespacio par, se pierde la mitad de los estados disponibles. Esto se evidencia por la ausencia de dos estados intermedios entre el estado fundamental y el primer estado excitado correspondiente al hamiltoniano (5.1).

Un aspecto que debe mencionarse a la hora de estudiar los autoestados de este par de hamiltonianos es que la introducción del término de interacción genera desafíos de convergencia numérica para valores elevados de b en relación con el truncamiento de la base de Fock N_b . Estos errores de convergencia se traducen en una saturación cerca del valor elegido para el truncamiento. La robustez de los resultados se cuantifica mediante el intervalo de confianza de b, el cual varía en función de la elección de los parámetros del

hamiltoniano. Esto se presenta en la Tabla 5.1 para diferentes combinaciones de parámetros, incluidas las utilizadas en la Figura 5.2. En dicha tabla, se observa que el intervalo de confianza aumenta con el valor de Δ_2 , si bien este crecimiento no es directamente proporcional a Δ_2 . Debido a que el estado fundamental no se ve modificado por la elección de la base, en las siguientes secciones se usará el hamiltoniano limitado al subespacio par (Ec. (5.1)) por simplicidad numérica.

Δ_2	λ_2	Intervalo de Confianza de $b/2\Delta_1$
Δ_1	λ_1	[0, 1,2]
Δ_1	$2\lambda_1$	[0, 1,2]
Δ_1	$3\lambda_1$	[0, 1,2]
$2\Delta_1$	λ_1	[0, 2,3]
$3\Delta_1$	λ_1	[0, 2,7]
$4\Delta_1$	λ_1	[0, 3,4]
$6\Delta_1$	$3\lambda_1$	[0, 4]

Cuadro 5.1: intvalo de confianza de las soluciones a los Hamiltonianos (5.1) y (5.2) para distintas combinaciones de parámetros, comprobados con truncamientos $N_b \leq 1000$. Donde se considera que el primer subsistema tiene los parámetros fijos Δ_1 y λ_1 y se varían los parámetros del segundo subsistema.

5.2. Estudio de las propiedades del estado fundamental del sistema

Al analizar los estados fundamentales mostrados en la Figura 5.2, se puede notar que cuando los subsistemas alcanzan el régimen de USC, se produce un punto de cruce en el que el espectro de energía se vuelve degenerado, esto señala una transición de fase. Un resultado interesante sobre el valor de b en el que se produce esta transición es que depende de la elección de parámetros del hamiltoniano, tal que se produce en

$$\frac{b}{2\Delta_1} = \frac{\Delta_2}{\Delta_1} \frac{\lambda_1}{\lambda_2},\tag{5.3}$$

con lo que se busca comprobar si efectivamente este punto de cruce en el espectro de energía produce alguna modificación en alguno de los sistemas fermiónicos o bosónicos. No obstante, se observa que ninguno de los espectros de energía de la Figura 5.2c entra en degeneración en el punto (5.3). Esto sucede debido al incremento significativo que tiene el gap Δ_2 . Ya que el gap es significativamente mayor, el segundo subsistema no entra en el régimen de USC para los fuerzas de acoplamiento mostradas en la figura, de modo que el punto (5.3) solo es válido cuando todo el sistema está en este régimen.

Conforme a lo estudiado en el Capítulo 3, cuando ambas cavidades se encuentran en el régimen de acoplamiento ultra fuerte y no existe interacción entre las cavidades (b=0), el estado fundamental del sistema puede describirse por $|\Psi\rangle \simeq |\alpha_1\rangle \otimes |-\rangle_{x,1} \otimes |\alpha_2\rangle \otimes |-\rangle_{x,2}$, donde $\alpha_j = -\lambda_j e^{-i\phi}/\omega$.

Al analizar el comportamiento del valor medio del operador de aniquilación $\langle \hat{a}_j \rangle$ de cada cavidad (ver Figura 5.3), se observa que, al alcanzar el régimen de USC en el punto

de transición descrito por la ecuación (5.3), existe un cambio repentino en los valores medidos. Este comportamiento deja de ser lineal, conforme a lo esperado para los estados de radiación coherente, lo que implica que el estado fundamental descrito en el Capítulo 3 ya no es válido para describir la evolución del sistema en esta región.

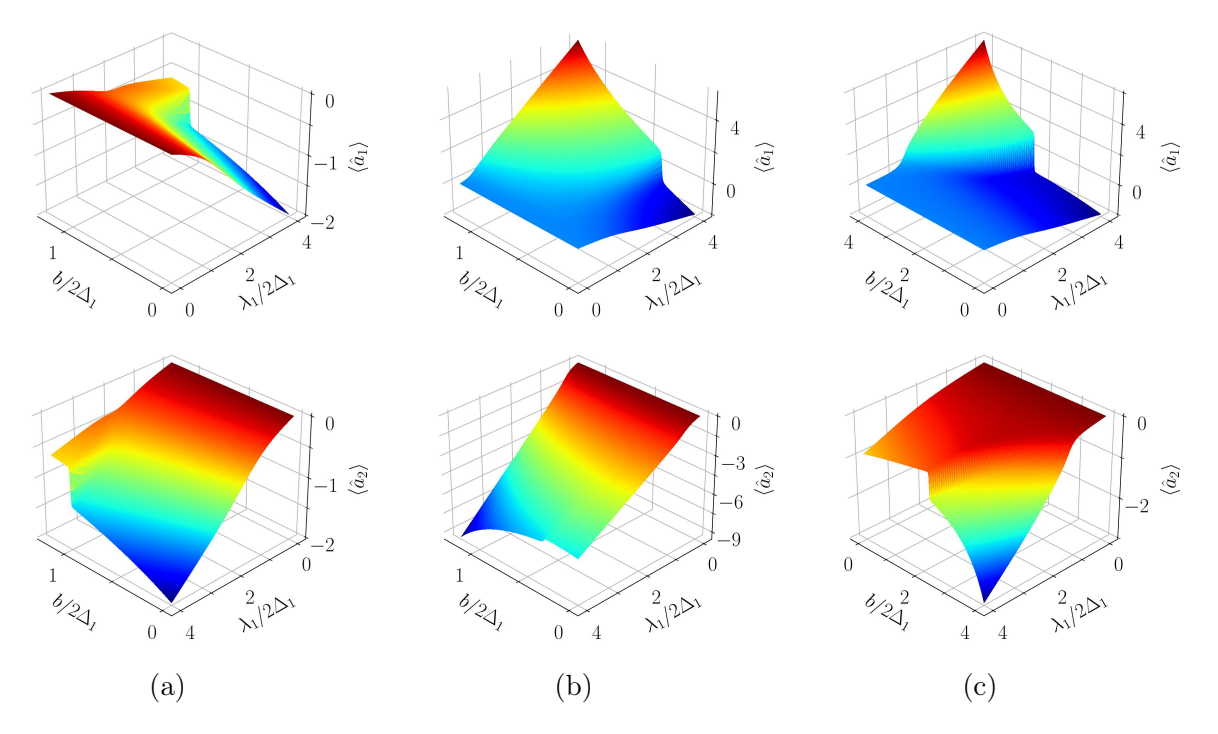


Figura 5.3: Valor medio del operador $\langle \hat{a}_j \rangle$ para el sistema escalable donde el panel superior muestra los valores para el primer subsistema y el panel inferior para el segundo, con $\Delta_1 = 0.5$. Cuando (a) los sistemas son idénticos $\Delta_2 = \Delta_1$, $\lambda_2 = \lambda_1$, (b) el segundo subsistema tiene un mayor acoplamiento $\Delta_2 = \Delta_1$, $\lambda_2 = 3\lambda_1$ y (c) el segundo subsistema tiene un gap mayor y se encuentra acoplado con mayor fuerza $\Delta_2 = 6\Delta_1$, $\lambda_2 = 3\lambda_1$.

Este cambio en la tendencia del operador \hat{a}_j , se traduce en un incremento acelerado en la población fotónica de ambas cavidades a medida que el valor del parámetro de interacción b aumenta su valor. La Figura 5.4 ilustra que, en el límite USC existen tres regiones de comportamiento diferentes para el número medio de fotones en cada cavidad.

Previo a la transición, ambas cavidades experimentan una reducción progresiva de su número medio de fotones. El segundo sector, que se manifiesta en torno al punto de transición, muestra un repoblamiento repentino, que viene mediado por la fuerza con la que se encuentra acoplada la cavidad a la CK. Finalmente, el tercer sector es donde se produce una aceleración notable en el crecimiento de la población de fotones. Este crecimiento acelerado para valores elevados de b es el que produce los errores de saturación fuera de los intervalos de confianza mostrados en la Tabla 5.1.

Tras analizar los cambios inducidos en las cavidades por la interacción, la Figura 5.5 muestra la correlación entre los fermiones ubicados inmediatamente fuera de sus respectivas cavidades ($\hat{\gamma}_{s-1,2}$ y $\hat{\gamma}_{s+1,1}$ en la primera; y $\hat{\gamma}_{t-1,2}$ y $\hat{\gamma}_{t+1,1}$ de la segunda). Al considerar que ambos subsistemas son idénticos y han alcanzado el límite USC, se observa que tras la transición, su correlación cambia repentinamente de 1 a 0. Este hallazgo es particularmente interesante, ya que efectivamente revierte el efecto del protocolo de fusión descrito

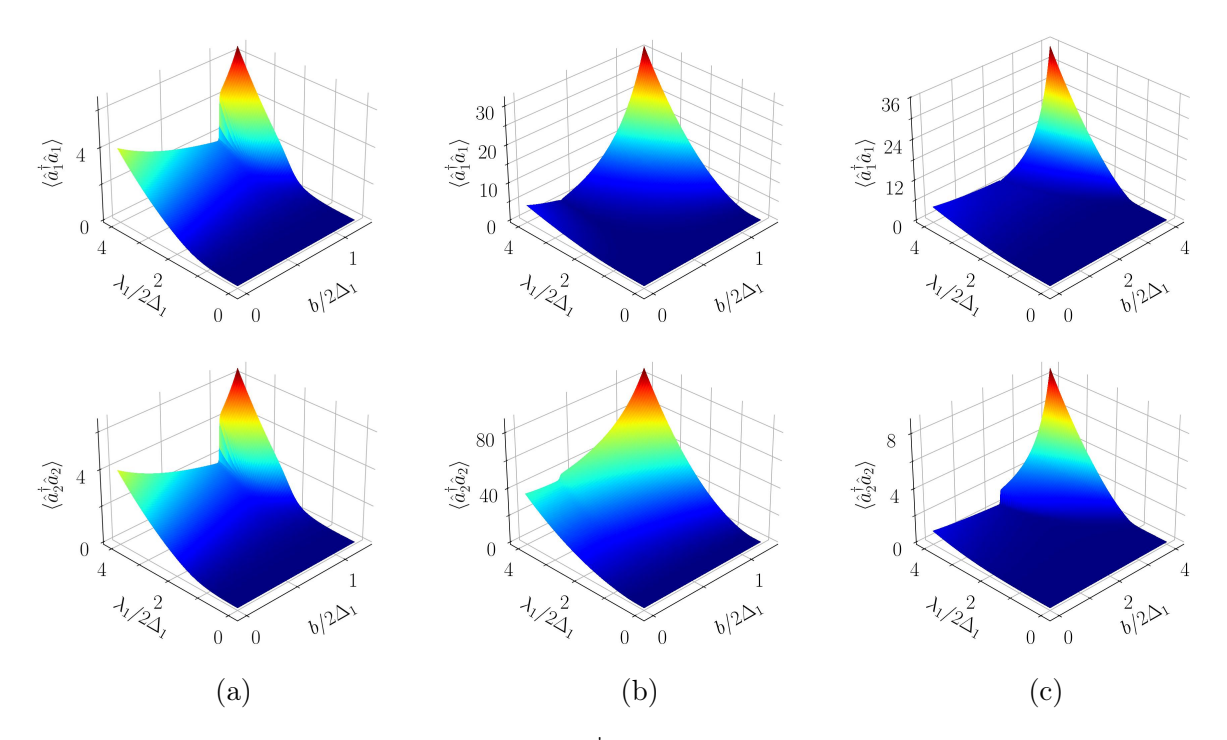


Figura 5.4: Población fotónica media $\langle \hat{a}_{j}^{\dagger} \hat{a}_{j} \rangle$ para el sistema escalable donde el panel superior muestra los valores del primer subsistema y el panel inferior para el segundo, para $\Delta_{1}=0.5$. Y se considera que (a) los sistemas son idénticos $\Delta_{2}=\Delta_{1},\ \lambda_{2}=\lambda_{1},\ (b)$ el segundo subsistema tiene un mayor acoplamiento $\Delta_{2}=\Delta_{1},\ \lambda_{2}=3\lambda_{1}$ y (c) el segundo subsistema tiene un gap mayor y se encuentra acoplado con mayor fuerza $\Delta_{2}=6\Delta_{1},\ \lambda_{2}=3\lambda_{1}$.

en capítulos anteriores, sin embargo, aún mantiene la fuerza de acoplamiento elevada.

No obstante, los comportamientos de mayor interés se manifiestan al producir la interacción entre sistemas con diferentes parámetros. Cuando el segundo subsistema presenta una mayor fuerza de acoplamiento, se aprecia que los valores medios de correlación medidos no se modifican incluso al superar el punto de transición. En contraste, el sistema menos acoplado presenta una inversión en su valor de correlación de de 1 a -1. Esto indica que el sistema que se encuentra más fuertemente acoplado mantiene su paridad frente a incrementos de la fuerza de interacción entre los sistemas, mientras que el sistema con menor acople sufre una inversión en su paridad. Este cambio es similar a los observados mediante los protocolos de fusión y de braiding.

La observación de cambios tanto a nivel de los fotones como a nivel fotónico, inducidos por la interacción entre cavidades, plantea la cuestión fundamental de si esto implica el entrelazamiento entre los estados de las respectivas cavidades. Para investigar esta posibilidad, se propone detectar si estos son estados gaussianos de variable continua entrelazados.

Para este análisis, se emplean dos criterios basados en matrices de correlación; la matriz de correlación de Duan [36], definida por

$$C_D = \begin{pmatrix} 1 & \langle \hat{a}_1 \rangle & \langle \hat{a}_2^{\dagger} \rangle \\ \langle \hat{a}_1^{\dagger} \rangle & \langle \hat{a}_1^{\dagger} \hat{a}_1 \rangle & \langle \hat{a}_1^{\dagger} \hat{a}_2^{\dagger} \rangle \\ \langle \hat{a}_2 \rangle & \langle \hat{a}_1 \hat{a}_2 \rangle & \langle \hat{a}_2^{\dagger} \hat{a}_2 \rangle \end{pmatrix}, \tag{5.4}$$

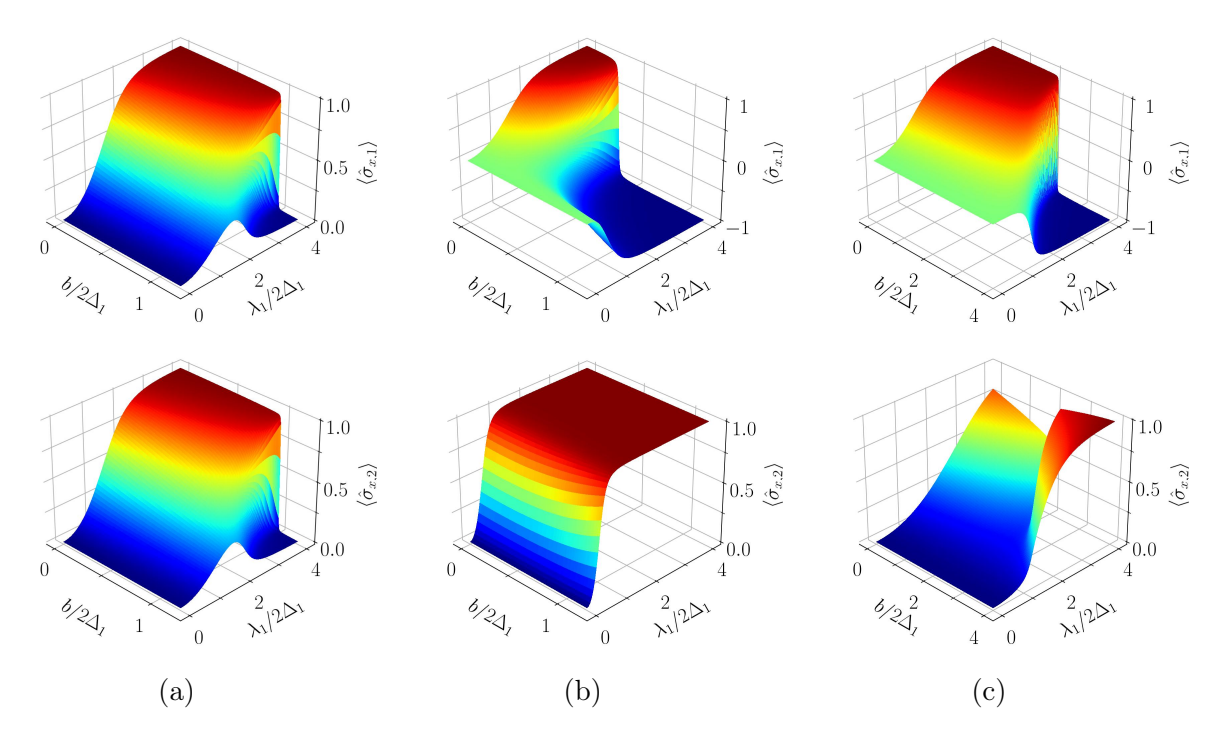


Figura 5.5: Función de corelación fermiónica para el sistema escalable, donde el panel superior muestra la correlación entre $\hat{\gamma}_{s-1,2}$ y $\hat{\gamma}_{s+1,2}$ de la primera CK y el panel inferior para $\hat{\gamma}_{t-1,2}$ y $\hat{\gamma}_{t+1,2}$ correspondientes a la segunda cadena, tomando $\Delta_1=0,5$. Y se considera que (a) los sistemas son idénticos $\Delta_2=\Delta_1,\ \lambda_2=\lambda_1$, (b) el segundo subsistema tiene un mayor acoplamiento $\Delta_2=\Delta_1,\ \lambda_2=3\lambda_1$ y (c) el segundo subsistema tiene un gap mayor y se encuentra acoplado con mayor fuerza $\Delta_2=6\Delta_1,\ \lambda_2=3\lambda_1$.

y la matriz de correlación de Simon [37]

$$C_{S} = \begin{pmatrix} 1 & \langle \hat{a}_{1} \rangle & \langle \hat{a}_{1}^{\dagger} \rangle & \langle \hat{a}_{2}^{\dagger} \rangle & \langle \hat{a}_{2} \rangle \\ \langle \hat{a}_{1}^{\dagger} \rangle & \langle \hat{a}_{1}^{\dagger} \hat{a}_{1} \rangle & \langle \left(\hat{a}_{1}^{\dagger} \right)^{2} \rangle & \langle \hat{a}_{1}^{\dagger} \hat{a}_{2}^{\dagger} \rangle & \langle \hat{a}_{1}^{\dagger} \hat{a}_{2} \rangle \\ \langle \hat{a}_{1} \rangle & \langle \left(\hat{a}_{1} \right)^{2} \rangle & \langle \hat{a}_{1} \hat{a}_{1}^{\dagger} \rangle & \langle \hat{a}_{1} \hat{a}_{2}^{\dagger} \rangle & \langle \hat{a}_{1} \hat{a}_{2} \rangle \\ \langle \hat{a}_{2} \rangle & \langle \hat{a}_{1} \hat{a}_{2} \rangle & \langle \hat{a}_{1}^{\dagger} \hat{a}_{2} \rangle & \langle \hat{a}_{1}^{\dagger} \hat{a}_{2} \rangle & \langle \left(\hat{a}_{2} \right)^{2} \rangle \\ \langle \hat{a}_{2}^{\dagger} \rangle & \langle \hat{a}_{1} \hat{a}_{2}^{\dagger} \rangle & \langle \hat{a}_{1}^{\dagger} \hat{a}_{2}^{\dagger} \rangle & \langle \left(\hat{a}_{2}^{\dagger} \right)^{2} \rangle & \langle \hat{a}_{2} \hat{a}_{2}^{\dagger} \rangle \end{pmatrix}.$$

$$(5.5)$$

Basado en estas matrices, se considera que los estados de radiación de ambas cavidades se encuentran entrelazados cuando se cumple simultáneamente que det $C_D < 0$ y det $C_S < 0$.

Al analizar los valores de los determinantes de las matrices de Duan det C_D y Simon det C_S , se observa que ambos presentan un comportamiento interrelacionado: siempre que uno de ellos adquiere un valor negativo, el otro también lo hace, lo cual indica que los sistemas fotónicos se encuentran entrelazados.

La Figura 5.6 ilustra los valores obtenidos para det C_S , donde se evidencia que para b > 0, las cavidades exhiben entrelazamiento cerca del punto de transición para el régimen de acoplamiento ultra fuerte. Sin embargo, al examinar las Figuras 5.6a y 5.6c, se detecta un comportamiento anómalo en torno a dicha transición: las cavidades dejan de estar entrelazadas de manera abrupta para luego volver a entrelazarse repentinamente. Este

cambio brusco en los estados es, de hecho, una signatura distintiva de la transición de fase previamente detectada en el espectro de energía para este sistema.

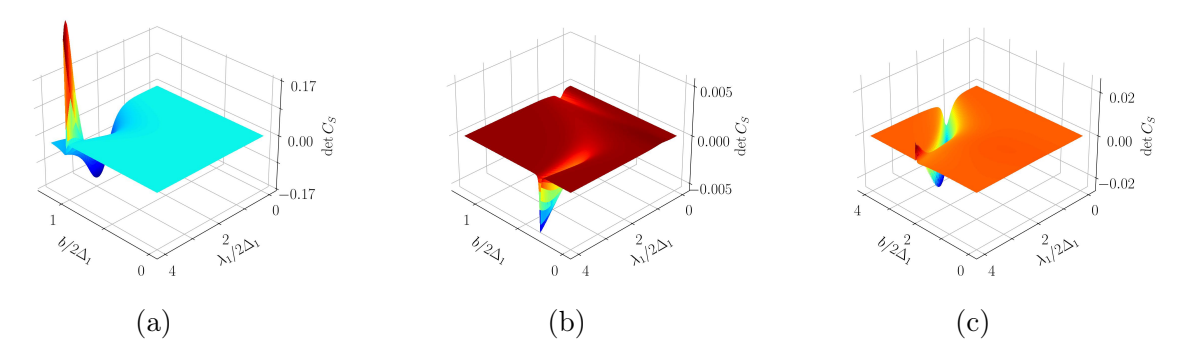


Figura 5.6: Determinante de la matriz de correlación de Simon det C_S para el sistema escalable. Cuando (a) los sistemas son idénticos $\Delta_2 = \Delta_1$, $\lambda_2 = \lambda_1$, (b) el segundo subsistema tiene un mayor acoplamiento $\Delta_2 = \Delta_1$, $\lambda_2 = 3\lambda_1$ y (c) el segundo subsistema se encuentra más acoplado y tiene un gap mayor $\Delta_2 = 6\Delta_1$, $\lambda_2 = 3\lambda_1$.

5.3. Discusión

En este capítulo, se ha explorado el modelo más sencillo de interacción entre qubits topológicos construidos a partir de cadenas de Kitaev y controlados por cavidades cuánticas, con el objetivo de entender los efectos que se pueden producir. Este estudio se limitó a una exploración numérica del sistema de dos qubits (dos CK y dos cavidades cuánticas), donde las cavidades se encuentran interactuando mediante intercambio de fotones. Mostrando además que un intercambio simple de fotones no afecta la conservación de la paridad fermiónica de cada uno de los subsistemas.

Se pudo evidenciar que este intercambio de fotones induce una transición de fase en el sistema. Se demostró que, en el límite de USC, el punto de transición está bien definido por los parámetros del hamiltoniano del sistema. Además, se observó que el intercambio de fotones pasado el punto de transición produce un efecto de aceleración en el poblamiento de fotones en ambas cavidades. Para valores elevados de b este proceso se da tan rápidamente que se producen errores de saturación en la base de Fock en el análisis numérico del estado fundamental del sistema.

En contraste, al analizar la correlación entre los fermiones a las afueras de cada una de las cavidades, como se realizó para el protocolo de fusión en el Capítulo 3, pudo notarse que la interacción entre las cavidades puede producir dos posibles resultados:

- 1. Modificar la correlación de ambas CK simultáneamente, obteniendo un resultado inverso al logrado mediante la fusión.
- 2. Invertir completamente la paridad de una de las CK, mientras que la otra permanece en su estado original previo a la interacción.

La segunda posibilidad es de gran relevancia para continuar con el desarrollo en computación cuántica, ya que en la construcción de puertas cuánticas (especialmente las puertas

controladas), es fundamental poder modificar el estado de un qubit objetivo mientras los qubits de control permanecen inalterados.

Finalmente, al estudiar el entrelazamiento entre los estados de radiación de las cavidades, se confirmó que la introducción del término interactivo efectivamente causa entrelazamiento, particularmente cerca del punto de transición de fase detectado. Además, el hecho de que, para determinadas configuraciones del sistema, existan cambios repentinos en el entrelazamiento es un resultado interesante que debería ser estudiado más a fondo para comprender la magnitud y las implicaciones de estas transformaciones en el sistema.

Capítulo 6

Conclusiones

La construcción de qubits topológicos, que sean inherentemente resistentes a errores y decoherencia, junto con mecanismos para controlarlos es una de las prioridades a nivel de la computación cuántica para superar la etapa actual de desarrollo tecnológico. Por tanto, en las primeras secciones de este Trabajo Fin de Máster, se mostró el desarrollo teórico y reproducción de resultados que muestran que las cavidades cuánticas actuando como fuente de radiación electromagnética permiten realizar cambios en un qubit construido a partir de nanocables cuánticos, los cuales se modelaron utilizando una cadena de Kitaev.

En este sentido, se pudo mostrar que desde un punto de vista teórico, al transformar el hamiltoniano de la cadena de Kitaev a la base de los fermiones de Majorana y mediante la modulación de sus parámetros, emergen natualmente los modos de energía cero de Majorana (Majorana Zero Modes). Estos modos de energía son fundamentales en la construcción de los qubits topológicos, pues son los que almacenan la información cuántica del sistema, dotándolo de protección ante decoherencia local, pues la información se encuentra distribuida.

A la hora de introducir las cadenas de Kitaev en su fase topológica en el interior de una cavidad cuántica, pudo notarse que los efectos físicos locales variaban en función a la cantidad de sitios de la cadena interactuaban con la radiación. En concreto, cuando se trata de una interacción con un solo sitio, permite reescribir el hamiltoniano del sistema como un modelo de Rabi modificado. Al ser este un modelo bastante estudiado, se pudo obtener aproximaciones a los niveles de energía del sistema en el contexto de la aproximación adiabática. Adicionalmente, se pudo verificar que en el límite de acoplamiento fuerte esta interacción actúa efectivamente como unas tijeras topológicas, que puede separar de forma controlada los modos de Majorana de una cadena.

En cuanto a la interacción con dos sitios de la CK, se pudo comprobar que puede modelarse como un modelo de Rabi inhomogéneo para un sistema de dos espines. A la hora de resolver este modelo, se pudo demostrar que el estado fundamental del sistema presenta una estructura de estado tipo gato de Majorana-Schrödinger, lo que muestra que los estados se entrelazan. Además, ante una modulación precisa de la fuerza de acoplamiento en cada sitio permite realizar braiding entre los MZM's que se encuentran junto a la cavidad cuántica. Esta operación es de especial interés, pues la propuesta de puertas cuánticas topológicas es realizada mediante operadores de braiding.

Por otro lado, en este trabajo, proponemos un toy model para estudiar la interacción entre qubits topológicos y los cambios que se pueden producir en los estados cuánticos del sistema; esto con el objetivo de buscar un mecanismo de control mediante cavidades que permita la construcción de puertas cuánticas. En concreto, nos concentramos en el modelo

de interacción mediante un intercambio simple de fotones entre las cavidades. Mediante la exploración de las propiedades del estado fundamental del sistema, en la sección 5.2, mostramos que mediante la regulación del gap de energía de Cooper Δ y la fuerza de acoplamiento λ , se consiguen cambios efectivos en un qubit mientras que otro mantiene su estado, mostrando así un comportamiento similar al de una puerta controlada, en el que los qubits de control permanecen inalterados.

A pesar de las limitaciones identificadas, este trabajo abre nuevas y prometedoras direcciones para futuras investigaciones en sistemas multipartitos. Es imperativo que estas se enfoquen en explicar teóricamente los resultados observados y en explorar la construcción de puertas cuánticas utilizando los mecanismos de control propuestos mediante el estudio de la introducción de otros mecanismos de interacción entre qubits.

Apéndice A

Aproximación adiabática en el hamiltoniano de Rabi modificado

En esta sección consideramos el hamiltoniano de Rabi modificado, que viene dado por

$$\hat{H}_{RM} = -2\Delta \hat{\sigma}_z + \omega \hat{a}^{\dagger} \hat{a} + \frac{\lambda}{2} \left(e^{-i\phi} \hat{a}^{\dagger} + e^{i\phi} \hat{a} \right) (1 - \hat{\sigma}_z), \qquad (A.1)$$

que describe la interacción entre un sistema de materia de dos niveles (un qubit) y la radiación. En este modelo Δ representa el gap entre los dos niveles del qubit, ω representa la energía de la radiación. Y la intensidad del acoplamiento entre la radiación y la materia como $\lambda e^{-i\phi} \in \mathbb{C}$. A diferencia del modelo de Rabi, se introduce un término $\frac{\lambda}{2} \left(e^{-i\phi} \hat{a}^{\dagger} + e^{i\phi} \hat{a} \right)$ que describe un "impulso" [38], lo que modifica el espectro del hamiltoniano.

Siguiendo el procedimiento descrito en la Ref. [39], para obtener el espectro de energías del hamiltoniano en la aproximación adiabática. Se empieza obteniendo el espectro de energías en el límite de la degeneración de los niveles atómicos ($\Delta = 0$), de modo que el hamiltoniano se reduce a

$$\hat{H}^{\Delta=0} = \omega \hat{a}^{\dagger} \hat{a} + \frac{\lambda}{2} \left(e^{-i\phi} \hat{a}^{\dagger} + e^{i\phi} \hat{a} \right) \left(\mathbb{1}_2 - \hat{\sigma}_z \right). \tag{A.2}$$

Este hamiltoniano se escribe en la base $\{|+\rangle_x, |-\rangle_x\}$, en la que $\hat{\sigma}_x |\pm\rangle_x = \pm |\pm\rangle_x$, lo que permite proyectar el hamiltoniano y obtenerlo en base a operadores de creación y aniquilación desplazado

$$\left\langle \pm \left| \hat{H}_{\pm}^{\Delta=0} \right| \pm \right\rangle = \omega \hat{a}^{\dagger} \hat{a} + \frac{\lambda}{2} \left(e^{-i\phi} \hat{a}^{\dagger} + e^{i\phi} \hat{a} \right) (1 \mp 1), \tag{A.3}$$

donde se elige $\lambda_{\pm} = \lambda e^{-i\phi}(1 \mp 1)/2$ por conveniencia, tal que $\lambda_{+} = 0$ y $\lambda_{-} = \lambda e^{-i\phi}$. De modo que se tiene

$$\left\langle \pm \left| \hat{H}_{\pm}^{\Delta=0} \right| \pm \right\rangle = \omega \left(\hat{a}^{\dagger} + \frac{\lambda_{\pm}^{*}}{\omega} \right) \left(\hat{a} + \frac{\lambda_{\pm}}{\omega} \right) - \frac{\lambda_{\pm}^{2}}{\omega}.$$
 (A.4)

El hamiltoniano (A.4) se puede diagonalizar mediante el operador desplazamiento $\hat{D}(\alpha) = \exp(\alpha \hat{a}^{\dagger} - \alpha^* \hat{a})$ con amplitud de desplazamiento $\alpha = -\lambda e^{-i\phi}/\omega$. Las soluciones de este hamiltoniano son los estados propios

$$|n_{\pm}, \pm\rangle_x = |n_{\pm}\rangle \otimes |\pm\rangle_x.$$
 (A.5)

Donde $|n_{\pm}\rangle = \hat{D}(\lambda_{\pm}/\omega) |n\rangle$ representa la base de estados de Fock desplazados. Tal que la base del hamiltoniano (A.4) es

$$\{|n_{-}\rangle \otimes |-\rangle_{x}, |n_{+}\rangle \otimes |+\rangle_{x}\} = \{\hat{D}(\lambda_{-}/\omega) |n\rangle \otimes |-\rangle_{x}, |n\rangle \otimes |+\rangle_{x}\}.$$
 (A.6)

En esta base, el hamiltoniano de la Ec. (A.1), se puede escribir como una matriz diagonal por bloques 2×2 de la forma

$$\hat{H}_{n}^{\text{AA}} = \begin{pmatrix} n\omega - \frac{\lambda^{2}}{\omega} & -2\Delta\langle n_{-}|n_{+}\rangle \\ -2\Delta\langle n_{+}|n_{-}\rangle & n\omega \end{pmatrix}, \tag{A.7}$$

donde el solapamiento en los términos fuera de la diagonal viene dado por

$$\langle n_{-}|n_{+}\rangle = \langle n|\hat{D}^{\dagger}(0)\hat{D}(\alpha)|n\rangle = \langle n|\hat{D}(\alpha)|n\rangle$$

$$= e^{-|\alpha|^{2}/2}\langle n|\exp(\alpha\hat{a}^{\dagger})\exp(-\alpha^{*}\hat{a})|n\rangle$$

$$= e^{-|\alpha|^{2}/2}\sum_{k=0}^{\infty}\sum_{l=0}^{\infty}\langle n|\frac{(\alpha\hat{a}^{\dagger})^{k}}{k!}\frac{(-\alpha^{*}\hat{a})^{l}}{l!}|n\rangle$$

$$= e^{-|\alpha|^{2}/2}\sum_{k=0}^{\infty}\sum_{l=0}^{\infty}\frac{(\alpha)^{k}}{k!}\frac{(-\alpha^{*})^{l}}{l!}\sqrt{\frac{n!}{(n-k)!}\frac{n!}{(n-l)!}}\langle n-k|n-l\rangle$$

$$= e^{-|\alpha|^{2}/2}\sum_{k=0}^{n}\frac{(-|\alpha|^{2})^{k}}{k!}\frac{n!}{k!(n-k)!}$$

$$= e^{-|\alpha|^{2}/2}L_{n}(|\alpha|^{2}).$$
(A.8)

Reemplazando este resultado en la Ec. (A.7) y resolviendo el problema a valores propios, se obtiene que el espectro de energías propias en la aproximación adiabática viene dada por

$$E_{n,\pm}^{AA} = \frac{1}{2} \left[2n\omega - \frac{\lambda^2}{\omega} \pm \sqrt{\frac{\lambda^4}{\omega^2} + 16\Delta^2 e^{-|\alpha|^2} L_n^2(|\alpha|^2)} \right], \tag{A.9}$$

donde $L_n(x)$ representa los polinomios de Laguerre convencionales.

Apéndice B

Aproximación al estado fundamental del hamiltoniano inhomogéneo de dos espines

En esta sección, se considera el hamiltoniano de Rabi inhomogéneo considerado para un sistema de dos espines, que viene dado por

$$\hat{H} = -\Delta \left(\hat{\sigma}_{z,1} + \hat{\sigma}_{z,2} + \hat{\sigma}_{z,1} \hat{\sigma}_{z,2} \right) + \omega \hat{a}^{\dagger} \hat{a} + \frac{1}{2\sqrt{2}} \lambda_{1} \left(\hat{a}^{\dagger} + \hat{a} \right) \left(\mathbb{1}_{2} - \hat{\sigma}_{x,1} \right) + \frac{1}{2\sqrt{2}} \lambda_{2} \left(e^{-i\phi} \hat{a}^{\dagger} + e^{i\phi} \hat{a} \right) \left(\mathbb{1}_{2} - \hat{\sigma}_{x,2} \right),$$
(B.1)

que describe la interacción entre dos sistemas de materia de dos niveles cada uno (dos qubits) y algún modo de radiación electromagnética. En este modelo, se considera que los dos qubits son del mismo tipo, de modo que tienen el mismo gap de energía Δ y la radiación tiene una energía ω . Al igual que en el caso descrito en el Apéndice A, se introducen términos de impulso en la intensidad del acoplamiento entre cada uno de los qubits y la radiación.

A diferencia de lo realizado para el modelo de Rabi modificado, solo se busca hallar una aproximación para el estado fundamental $|GS\rangle$, de modo que en el límite de la degeneración de los niveles de los qubits ($\Delta = 0$), el hamiltoniano puede escribirse como

$$\left\langle -, -\left| \hat{H}^{\Delta=0} \right| -, -\right\rangle = \omega \hat{a}^{\dagger} \hat{a} + \frac{1}{\sqrt{2}} \lambda_1 \left(\hat{a}^{\dagger} + \hat{a} \right) + \frac{1}{\sqrt{2}} \lambda_2 \left(e^{-i\phi} \hat{a}^{\dagger} + e^{i\phi} \hat{a} \right). \tag{B.2}$$

Considerando que en el texto principal se mostró que se produce una transición en el límite en el caso $\lambda_2=0$, de modo que se puede escribir la energía del estado fundamental en el régimen de perturbaciones en el subespacio formado por $\{|GS_-\rangle, |GS_+\rangle\}$, estos estados vienen caracterizados por las fuerzas de acoplamiento $\lambda_-=\lambda_1$ y $\lambda_+=\lambda_1+\lambda_2 e^{-i\phi}$. Se puede escribir en base a operadores de creación y aniquilación desplazados.

$$\left\langle -, -\left| \hat{H}^{\Delta=0} \right| -, - \right\rangle = \omega \left(\hat{a}^{\dagger} + \frac{\lambda_{\pm}^{*}}{\sqrt{2}\omega} \right) \left(\hat{a} + \frac{\lambda_{\pm}}{\sqrt{2}\omega} \right) - \frac{\lambda_{\pm}^{2}}{2\omega}.$$
 (B.3)

Al tratarse del estado fundamental, es evidente que n=0, de modo que este hamiltoniano puede reducirse a la forma efectiva

$$\hat{H}_{\text{eff}} = \begin{pmatrix} -\omega |\alpha_{\text{I}}|^2 & \Delta \langle \alpha_{\text{I}} | \alpha_{\text{II}} \rangle \\ \Delta \langle \alpha_{\text{II}} |\alpha_{\text{I}} \rangle & -\omega |\alpha_{\text{II}}|^2 \end{pmatrix}. \tag{B.4}$$

donde se define $\alpha_{\rm I}=-\frac{\lambda_+}{\sqrt{2}\omega}$ y $\alpha_{\rm II}=-\frac{\lambda_-}{\sqrt{2}\omega}$. Para escribir este hamiltoniano en efectivo, se usó el hecho de que los estados en torno a los que se realiza la perturbación cumple que

$$\langle GS_{+}|GS_{-}\rangle = \langle \alpha_{I}|\alpha_{II}\rangle \otimes \langle -, -|-, -\rangle.$$

Resolviendo el problema a valores propios, se obtiene que la energía aproximada del estado fundamental viene dado por

$$E_{\rm GS} \simeq -\frac{1}{2} \left[\omega \left(\alpha_{\rm I}^2 + \alpha_{\rm II}^2 \right) + \sqrt{\omega^2 \left(\alpha_{\rm I}^2 - \alpha_{\rm II}^2 \right)^2 + 4\Delta^2 \left| \langle \alpha_{\rm I} | \alpha_{\rm II} \rangle \right|^2} \right], \tag{B.5}$$

donde $|\alpha\rangle$ representan estados coherentes de radiación.

Para escribir el estado fundamental de este sistema se puede elegir la forma

$$|GS\rangle = -\sin\left(\frac{\theta}{2}\right)|GS_{I}\rangle + \cos\left(\frac{\theta}{2}\right)|GS_{II}\rangle.$$
 (B.6)

De modo que el estado de energía fundamental se escribe como una superposición de los estados entre los que ocurre la transición que se observa en la Figura 4.2, Donde al resolver el problema a valores propios se obtiene que

$$\sin\left(\frac{\theta}{2}\right) = \frac{2\lambda_{1}\lambda_{2} + \lambda_{2}^{2} + \sqrt{16e^{-\frac{\lambda_{2}^{2}}{2\omega^{2}}}\Delta^{2}\omega^{2} + \lambda_{2}^{2}\left(2\lambda_{1} + \lambda_{2}\right)^{2}}}{\sqrt{16\Delta^{2}\omega^{2} + e^{\frac{\lambda_{2}^{2}}{2\omega^{2}}}\left(2\lambda_{1}\lambda_{2} + \lambda_{2}^{2} + \sqrt{16e^{-\frac{\lambda_{2}^{2}}{2\omega^{2}}}\Delta^{2}\omega^{2} + \lambda_{2}^{2}\left(2\lambda_{1} + \lambda_{2}\right)^{2}}\right)^{2}}e^{\frac{\lambda_{2}^{2}}{4\omega^{2}}},$$

$$\cos\left(\frac{\theta}{2}\right) = \frac{4\Delta\omega}{\sqrt{16\Delta^{2}\omega^{2} + e^{\frac{\lambda_{2}^{2}}{2\omega^{2}}}\left(2\lambda_{1}\lambda_{2} + \lambda_{2}^{2} + \sqrt{16e^{-\frac{\lambda_{2}^{2}}{2\omega^{2}}}\Delta^{2}\omega^{2} + \lambda_{2}^{2}\left(2\lambda_{1} + \lambda_{2}\right)^{2}}\right)^{2}}.$$
(B.7)

Mediante propiedades trigonométricas, se puede obtener que el parámetro θ que define esta transición viene dado por

$$\tan \theta = -\frac{4\Delta\omega}{\lambda_2(\lambda_1 + 2\lambda_1)} e^{-\frac{\lambda_2^2}{4\omega^2}}.$$
 (B.8)

Apéndice C

Cálculo de la fase geométrica para el montaje de interacción con dos sitios

En esta sección, se presenta el desarrollo matemático para obtener el valor de la fase de Berry cuando se produce una evolución cíclica adiabática en la cavidad cuántica que interactúa con dos sitios de una CK. En este montaje, se considera una fuerza de acoplamiento $\lambda_2 \leq \lambda_1$ para cualquier $\lambda_1 > 0$, donde la evolución se realiza para $0 \leq \phi \leq 2\pi$. La evolución adiabática del estado fundamental del sistema de estudio se encuentra contenido en el subespacio bidimensional formado por $\{|GS_+\rangle, |GS_-\rangle\}$, donde estos estados fundamentales compuestos vienen descritos por:

$$|GS_{+}(\phi)\rangle = -i |\Psi_{+}\rangle \otimes |\alpha_{+}(\phi)\rangle = -\frac{i}{\sqrt{2}} (|\bullet_{L,R}, \bullet_{c}, \circ_{s+1}\rangle + |\circ_{L,R}, \bullet_{c}, \bullet_{s+1}\rangle) \otimes |\alpha_{+}\rangle,$$

$$\alpha_{+}(\phi) = -\frac{1}{\sqrt{2}\omega} (\lambda_{1} + \lambda_{2}e^{i\phi}),$$

$$|GS_{-}\rangle = i |\Psi_{-}\rangle \otimes |\alpha_{-}\rangle = \frac{i}{\sqrt{2}} (|\bullet_{L,R}, \bullet_{c}, \circ_{s+1}\rangle - |\circ_{L,R}, \bullet_{c}, \bullet_{s+1}\rangle) \otimes |\alpha_{-}\rangle,$$

$$\alpha_{-} = -\frac{\lambda_{1}}{\sqrt{2}\omega},$$
(C.2)

donde es evidente que $|GS_{-}\rangle$ no depende de ϕ .

En este subespacio, la matriz hamiltoniana efectiva para la interacción entre la cavidad y los dos sitios de la CK puede escribirse como:

$$\hat{H}_{\text{eff}} = \begin{pmatrix} -\omega |\alpha_{+}|^{2} & \Delta \langle \alpha_{-} | \alpha_{+}(\phi) \rangle \\ \Delta \langle \alpha_{+}(\phi) | \alpha_{-} \rangle & -\omega |\alpha_{-}|^{2} \end{pmatrix}, \tag{C.3}$$

de modo que el estado fundamental de este sistema puede hallarse resolviendo el problema a valores propios de esta matriz hamiltoniana, tal que

$$|GS(\phi)\rangle = C_{+}(\phi) |GS_{+}(\phi)\rangle + C_{-}(\phi) |GS_{-}\rangle,$$

$$C_{+}(\phi) = \frac{1}{\sqrt{1 + \frac{4\Delta^{2}|\langle \alpha_{-}|\alpha_{+}\rangle|^{2}}{\left(\delta E + \sqrt{\delta E^{2} + 4\Delta^{2}|\langle \alpha_{-}|\alpha_{+}\rangle|^{2}}\right)^{2}}}},$$

$$C_{-}(\phi) = -\frac{2\Delta\langle \alpha_{+}|\alpha_{-}\rangle}{\delta E + \sqrt{\delta E^{2} + 4\Delta^{2}|\langle \alpha_{-}|\alpha_{+}\rangle|^{2}}}C_{+}(\phi),$$
(C.4)

donde se definen los cambio de variable de la diferencia de energías entre los estados

$$\delta E = \omega(|\alpha_+(\phi)|^2 - |\alpha_-|^2) = \lambda_2(\lambda_2 + 2\lambda_1 \cos \phi)/(2\omega), \tag{C.5}$$

У

$$\langle \alpha_{-} | \alpha_{+} \rangle = \exp \left[-\frac{\lambda_{2}}{4\omega^{2}} \left(\lambda_{2} - 2i\lambda_{1} \sin \phi \right) \right],$$
 (C.6)

representa el solapamiento entre los estados coherentes $|\alpha_{+}\rangle$ y $|\alpha_{-}\rangle$.

La fase de Berry correspondiente a la evolución cíclica adiabática de este estado viene dada por la expresión

 $\varphi_B = i \int_0^{2\pi} d\phi \, \langle GS(\phi) | \frac{\partial}{\partial \phi} | GS(\phi) \rangle ,$ (C.7)

donde el solapamiento de la integral se puede calcular por sustitución directa como sigue:

$$\langle \operatorname{GS}(\phi) | \frac{\partial}{\partial \phi} | \operatorname{GS}(\phi) \rangle = C_{+}^{*}(\phi) \frac{\partial C_{+}(\phi)}{\partial \phi} \langle \operatorname{GS}_{+}(\phi) | \operatorname{GS}_{+}(\phi) \rangle + C_{-}^{*}(\phi) \frac{\partial C_{+}(\phi)}{\partial \phi} \langle \operatorname{GS}_{-} | \operatorname{GS}_{+}(\phi) \rangle +$$

$$|C_{+}(\phi)|^{2} \langle \operatorname{GS}_{+}(\phi) | \frac{\partial}{\partial \phi} | \operatorname{GS}_{+}(\phi) \rangle + C_{-}^{*}(\phi) C_{+}(\phi) \langle \operatorname{GS}_{-} | \frac{\partial}{\partial \phi} | \operatorname{GS}_{+}(\phi) \rangle +$$

$$C_{+}^{*}(\phi) \frac{\partial C_{-}(\phi)}{\partial \phi} \langle \operatorname{GS}_{+}(\phi) | \operatorname{GS}_{-} \rangle + C_{-}^{*}(\phi) \frac{\partial C_{-}(\phi)}{\partial \phi} \langle \operatorname{GS}_{-} | \operatorname{GS}_{-} \rangle$$

$$= C_{+}^{*}(\phi) \frac{\partial C_{+}(\phi)}{\partial \phi} + C_{-}^{*}(\phi) \frac{\partial C_{-}(\phi)}{\partial \phi} + |C_{+}(\phi)|^{2} \langle \alpha_{+}(\phi) | \frac{\partial}{\partial \phi} | \alpha_{+}(\phi) \rangle .$$

$$(C.8)$$

Para calcular el tercer término de esta expresión, se usa las propiedades de los estados coherentes [40, 41]

$$\langle \alpha_{+}(\phi) | \frac{\partial}{\partial \phi} | \alpha_{+}(\phi) \rangle = \left(-\frac{1}{2} \frac{\partial |\alpha_{+}(\phi)|^{2}}{\partial \phi} + \alpha_{+}^{*}(\phi) \frac{\partial \alpha_{+}(\phi)}{\partial \phi} \right)$$

$$= i \operatorname{Im} \left(\alpha_{+}^{*}(\phi) \frac{\partial \alpha_{+}(\phi)}{\partial \phi} \right) = i \frac{\lambda_{2}}{2\omega^{2}} (\lambda_{2} + \lambda_{1} \cos \phi).$$
(C.9)

Reemplazando en el solapamiento dentro de la integral, se obtiene

$$\langle GS(\phi) | \frac{\partial}{\partial \phi} | GS(\phi) \rangle = \frac{\lambda_2 \left(2\lambda_1 \delta E \cos \phi + \lambda_2 \left(\delta E + \sqrt{\delta E^2 + 4\Delta^2 |\langle \alpha_- | \alpha_+ \rangle|^2} \right) \right)}{4\omega^2 \sqrt{\delta E^2 + 4\Delta^2 |\langle \alpha_- | \alpha_+ \rangle|^2}}$$

$$= \frac{\lambda_2^2}{4\omega^2} \left(1 + \frac{(\lambda_2 + 2\lambda_1 \cos(\phi))^2}{\sqrt{16\Delta^2 \omega^2 e^{-\frac{\lambda_2^2}{2\omega^2}} + \lambda_2^2 (\lambda_2 + 2\lambda_1 \cos(\phi))^2}} \right), \tag{C.10}$$

de modo que finalmente, la fase de Berry viene dada por

$$\varphi_B = -\frac{\lambda_2^2}{4\omega^2} \int_0^{2\pi} \left(1 + \frac{(\lambda_2 + 2\lambda_1 \cos(\phi))^2}{\sqrt{16\Delta^2 \omega^2 e^{-\frac{\lambda_2^2}{2\omega^2}} + \lambda_2^2 (\lambda_2 + 2\lambda_1 \cos(\phi))^2}} \right).$$
 (C.11)

Esta integral no admite una solución analítica, pero se evalúa de manera numérica en el texto principal. Por otra parte, en el texto principal, el resultado que se busca es el módulo de la fase de Berry.

Apéndice D

Operadores de braiding entre cadenas de Kitaev en la base de fermiones \hat{d}

En esta sección, se presenta la deducción de los operadores de braiding entre dos MZM's considerando un sistema escalable de Majorana (Capítulo 5) de dos CK y dos cavidades. Para ello se uilizará la definición del operador de braiding

$$\hat{B}_{n,m} = e^{\frac{\pi}{4}\hat{\gamma}_n\hat{\gamma}_m} = \frac{1}{\sqrt{2}} (1 + \hat{\gamma}_n\hat{\gamma}_m), \qquad (D.1)$$

donde se considera que el braiding se produce en sentido horario.

En concreto, se estudiarán los operadores de braiding para los 6 casos de la Figura D.1. En las siguientes secciones, se obtendrá las definiciones de los operadores estudiando el efecto que tiene el operador (D.1) sobre los elementos de la base.

D.1. Braiding entre $\hat{\gamma}_{s-1,2}$ y $\hat{\gamma}_{s+1,1}$

Para este intercambio entre los dos fermiones de Majorana de la primera CK (Figura D.1a), viene dado por el operador

$$\begin{split} \hat{B}_{s-1,s} &= \frac{1}{\sqrt{2}} \left(1 + \hat{\gamma}_{s-1,2} \hat{\gamma}_{s+1,1} \right) \\ &= \frac{1}{\sqrt{2}} \left[1 + i \left(-\hat{d}_{s}^{\dagger} \hat{d}_{s-1} + \hat{d}_{s} \hat{d}_{s-1} + \hat{d}_{s-1}^{\dagger} \hat{d}_{s}^{\dagger} - \hat{d}_{s-1}^{\dagger} \hat{d}_{s} \right) \right], \end{split}$$
 (D.2)

$$\hat{\Gamma}_{s-1,s} = i \left(-\hat{d}_{s}^{\dagger} \hat{d}_{s-1} + \hat{d}_{s} \hat{d}_{s-1} + \hat{d}_{s-1}^{\dagger} \hat{d}_{s}^{\dagger} - \hat{d}_{s-1}^{\dagger} \hat{d}_{s} \right).$$

Al aplicar este operador sobre los elementos de la base del espacio de estados, se obtiene

$$\hat{\Gamma}_{s-1,s} | \circ_{s-1} \circ_{s} \circ_{t-1} \circ_{t} \rangle = i | \bullet_{s-1} \bullet_{s} \circ_{t-1} \circ_{t} \rangle , \qquad \hat{\Gamma}_{s-1,s} | \circ_{s-1} \circ_{s} \circ_{t-1} \bullet_{t} \rangle = i | \bullet_{s-1} \bullet_{s} \circ_{t-1} \bullet_{t} \rangle ,
\hat{\Gamma}_{s-1,s} | \circ_{s-1} \circ_{s} \bullet_{t-1} \circ_{t} \rangle = i | \bullet_{s-1} \circ_{s} \bullet_{t-1} \circ_{t} \rangle , \qquad \hat{\Gamma}_{s-1,s} | \circ_{s-1} \circ_{s} \bullet_{t-1} \bullet_{t} \rangle = i | \bullet_{s-1} \bullet_{s} \circ_{t-1} \bullet_{t} \rangle ,
\hat{\Gamma}_{s-1,s} | \circ_{s-1} \bullet_{s} \circ_{t-1} \circ_{t} \rangle = -i | \bullet_{s-1} \circ_{s} \circ_{t-1} \circ_{t} \rangle , \qquad \hat{\Gamma}_{s-1,s} | \circ_{s-1} \bullet_{s} \circ_{t-1} \bullet_{t} \rangle = -i | \bullet_{s-1} \circ_{s} \circ_{t-1} \bullet_{t} \rangle ,
\hat{\Gamma}_{s-1,s} | \circ_{s-1} \bullet_{s} \circ_{t-1} \circ_{t} \rangle = -i | \bullet_{s-1} \circ_{s} \circ_{t-1} \circ_{t} \rangle , \qquad \hat{\Gamma}_{s-1,s} | \circ_{s-1} \circ_{s} \circ_{t-1} \bullet_{t} \rangle = -i | \circ_{s-1} \circ_{s} \circ_{t-1} \bullet_{t} \rangle ,
\hat{\Gamma}_{s-1,s} | \bullet_{s-1} \circ_{s} \circ_{t-1} \circ_{t} \rangle = -i | \circ_{s-1} \bullet_{s} \circ_{t-1} \circ_{t} \rangle , \qquad \hat{\Gamma}_{s-1,s} | \bullet_{s-1} \circ_{s} \circ_{t-1} \bullet_{t} \rangle = -i | \circ_{s-1} \bullet_{s} \circ_{t-1} \bullet_{t} \rangle ,
\hat{\Gamma}_{s-1,s} | \bullet_{s-1} \circ_{s} \circ_{t-1} \circ_{t} \rangle = -i | \circ_{s-1} \circ_{s} \circ_{t-1} \circ_{t} \rangle , \qquad \hat{\Gamma}_{s-1,s} | \bullet_{s-1} \circ_{s} \circ_{t-1} \bullet_{t} \rangle = -i | \circ_{s-1} \circ_{s} \circ_{t-1} \bullet_{t} \rangle ,
\hat{\Gamma}_{s-1,s} | \bullet_{s-1} \circ_{s} \circ_{t-1} \circ_{t} \rangle = i | \circ_{s-1} \circ_{s} \circ_{t-1} \circ_{t} \rangle , \qquad \hat{\Gamma}_{s-1,s} | \bullet_{s-1} \circ_{s} \circ_{t-1} \bullet_{t} \rangle = i | \circ_{s-1} \circ_{s} \circ_{t-1} \bullet_{t} \rangle ,
\hat{\Gamma}_{s-1,s} | \bullet_{s-1} \circ_{s} \circ_{t-1} \circ_{t} \rangle = i | \circ_{s-1} \circ_{s} \circ_{t-1} \circ_{t} \rangle , \qquad \hat{\Gamma}_{s-1,s} | \bullet_{s-1} \bullet_{s} \circ_{t-1} \bullet_{t} \rangle = i | \circ_{s-1} \circ_{s} \circ_{t-1} \bullet_{t} \rangle .$$

$$(D.3)$$



Figura D.1: Braiding de fermiones de Majorana entre cadenas de Kitaev, donde los fermiones s corresponden a la primera CK y t a la segunda En la figura, las líneas punteadas muestran esquemáticamente el intercambio de fermiones que se realiza. Donde el braiding se produce entre los fermiones (a) $\hat{\gamma}_{s-1,2}$ y $\hat{\gamma}_{s+1,1}$, (b) $\hat{\gamma}_{t-1,2}$ y $\hat{\gamma}_{t+1,1}$, (c) $\hat{\gamma}_{s-1,2}$ y $\hat{\gamma}_{t-1,2}$, (d) $\hat{\gamma}_{s-1,2}$ y $\hat{\gamma}_{t+1,1}$, (e) $\hat{\gamma}_{s+1,1}$ y $\hat{\gamma}_{t-1,2}$ y (f) $\hat{\gamma}_{s+1,1}$ y $\hat{\gamma}_{t+1,1}$.

De tal manera que este intercambio escrito en esta base viene mediado por el operador matricial

$$\hat{B}_{s-1,s} = \frac{1}{\sqrt{2}} \left(\mathbb{1}_{16} - i\hat{\sigma}_y \otimes \hat{\sigma}_y \otimes \mathbb{1}_4 \right). \tag{D.4}$$

D.2. Braiding entre $\hat{\gamma}_{t-1,2}$ y $\hat{\gamma}_{t+1,1}$

El caso del intercambio de los fermiones de la segunda CK viene mediado por el operador de braiding

$$\hat{B}_{t-1,t} = \frac{1}{\sqrt{2}} \left(1 + \hat{\gamma}_{t-1,2} \hat{\gamma}_{t+1,1} \right)
= \frac{1}{\sqrt{2}} \left[1 + i \left(-\hat{d}_t^{\dagger} \hat{d}_{t-1} + \hat{d}_t \hat{d}_{t-1} + \hat{d}_{t-1}^{\dagger} \hat{d}_t^{\dagger} - \hat{d}_{t-1}^{\dagger} \hat{d}_t \right) \right], \qquad (D.5)$$

$$\hat{\Gamma}_{t-1,t} = i \left(-\hat{d}_t^{\dagger} \hat{d}_{t-1} + \hat{d}_t \hat{d}_{t-1} + \hat{d}_{t-1}^{\dagger} \hat{d}_t^{\dagger} - \hat{d}_{t-1}^{\dagger} \hat{d}_t \right).$$

Su efecto sobre la base de este subespacio está definido por

$$\hat{\Gamma}_{t-1,t} | \circ_{s-1} \circ_s \circ_{t-1} \circ_t \rangle = i | \circ_{s-1} \circ_s \bullet_{t-1} \bullet_t \rangle , \qquad \hat{\Gamma}_{t-1,t} | \circ_{s-1} \circ_s \circ_{t-1} \bullet_t \rangle = -i | \circ_{s-1} \circ_s \bullet_{t-1} \circ_t \rangle ,$$

$$\hat{\Gamma}_{t-1,t} | \circ_{s-1} \circ_s \bullet_{t-1} \circ_t \rangle = -i | \circ_{s-1} \circ_s \circ_{t-1} \bullet_t \rangle , \qquad \hat{\Gamma}_{t-1,t} | \circ_{s-1} \circ_s \bullet_{t-1} \bullet_t \rangle = i | \circ_{s-1} \circ_s \circ_{t-1} \circ_t \rangle ,$$

$$\hat{\Gamma}_{t-1,t} | \circ_{s-1} \bullet_s \circ_{t-1} \circ_t \rangle = i | \circ_{s-1} \bullet_s \bullet_{t-1} \bullet_t \rangle , \qquad \hat{\Gamma}_{t-1,t} | \circ_{s-1} \bullet_s \circ_{t-1} \bullet_t \rangle = -i | \circ_{s-1} \bullet_s \bullet_{t-1} \circ_t \rangle ,$$

$$\hat{\Gamma}_{t-1,t} | \circ_{s-1} \bullet_s \circ_{t-1} \circ_t \rangle = -i | \circ_{s-1} \bullet_s \circ_{t-1} \bullet_t \rangle , \qquad \hat{\Gamma}_{t-1,t} | \circ_{s-1} \bullet_s \circ_{t-1} \bullet_t \rangle = i | \circ_{s-1} \bullet_s \circ_{t-1} \circ_t \rangle ,$$

$$\hat{\Gamma}_{t-1,t} | \bullet_{s-1} \circ_s \circ_{t-1} \circ_t \rangle = i | \bullet_{s-1} \circ_s \circ_{t-1} \bullet_t \rangle , \qquad \hat{\Gamma}_{t-1,t} | \bullet_{s-1} \circ_s \circ_{t-1} \bullet_t \rangle = -i | \bullet_{s-1} \circ_s \circ_{t-1} \circ_t \rangle ,$$

$$\hat{\Gamma}_{t-1,t} | \bullet_{s-1} \circ_s \circ_{t-1} \circ_t \rangle = -i | \bullet_{s-1} \circ_s \circ_{t-1} \bullet_t \rangle , \qquad \hat{\Gamma}_{t-1,t} | \bullet_{s-1} \circ_s \circ_{t-1} \bullet_t \rangle = i | \bullet_{s-1} \circ_s \circ_{t-1} \circ_t \rangle ,$$

$$\hat{\Gamma}_{t-1,t} | \bullet_{s-1} \circ_s \circ_{t-1} \circ_t \rangle = i | \bullet_{s-1} \circ_s \circ_{t-1} \bullet_t \rangle , \qquad \hat{\Gamma}_{t-1,t} | \bullet_{s-1} \circ_s \circ_{t-1} \bullet_t \rangle = -i | \bullet_{s-1} \circ_s \circ_{t-1} \circ_t \rangle ,$$

$$\hat{\Gamma}_{t-1,t} | \bullet_{s-1} \bullet_s \circ_{t-1} \circ_t \rangle = i | \bullet_{s-1} \bullet_s \circ_{t-1} \bullet_t \rangle , \qquad \hat{\Gamma}_{t-1,t} | \bullet_{s-1} \bullet_s \circ_{t-1} \bullet_t \rangle = -i | \bullet_{s-1} \circ_s \circ_{t-1} \circ_t \rangle ,$$

$$\hat{\Gamma}_{t-1,t} | \bullet_{s-1} \bullet_s \circ_{t-1} \circ_t \rangle = -i | \bullet_{s-1} \bullet_s \circ_{t-1} \bullet_t \rangle , \qquad \hat{\Gamma}_{t-1,t} | \bullet_{s-1} \bullet_s \circ_{t-1} \bullet_t \rangle = -i | \bullet_{s-1} \bullet_s \circ_{t-1} \circ_t \rangle ,$$

$$\hat{\Gamma}_{t-1,t} | \bullet_{s-1} \bullet_s \circ_{t-1} \circ_t \rangle = -i | \bullet_{s-1} \bullet_s \circ_{t-1} \bullet_t \rangle , \qquad \hat{\Gamma}_{t-1,t} | \bullet_{s-1} \bullet_s \circ_{t-1} \bullet_t \rangle = -i | \bullet_{s-1} \bullet_s \circ_{t-1} \circ_t \rangle ,$$

$$\hat{\Gamma}_{t-1,t} | \bullet_{s-1} \bullet_s \circ_{t-1} \circ_t \rangle = -i | \bullet_{s-1} \bullet_s \circ_{t-1} \bullet_t \rangle , \qquad \hat{\Gamma}_{t-1,t} | \bullet_{s-1} \bullet_s \circ_{t-1} \bullet_t \rangle = -i | \bullet_{s-1} \bullet_s \circ_{t-1} \circ_t \rangle ,$$

$$\hat{\Gamma}_{t-1,t} | \bullet_{s-1} \bullet_s \circ_{t-1} \circ_t \rangle = -i | \bullet_{s-1} \bullet_s \circ_{t-1} \bullet_t \rangle , \qquad \hat{\Gamma}_{t-1,t} | \bullet_{s-1} \bullet_s \circ_{t-1} \bullet_t \rangle = -i | \bullet_{s-1} \bullet_s \circ_{t-1} \circ_t \rangle ,$$

$$\hat{\Gamma}_{t-1,t} | \bullet_{s-1} \bullet_s \circ_{t-1} \circ_t \rangle = -i | \bullet_{s-1} \bullet_s \circ_{t-1} \bullet_t \rangle , \qquad \hat{\Gamma}_{t-1,t} | \bullet_{s-1} \bullet_s \circ_{t-1} \bullet_t \rangle = -i | \bullet_{s-1} \bullet_s \circ_{t-1} \circ_t \rangle ,$$

obteniendo un operador similar al del intercambio en la primera CK

$$\hat{B}_{t-1,t} = \frac{1}{\sqrt{2}} \left(\mathbb{1}_{16} - i \mathbb{1}_4 \otimes \hat{\sigma}_y \otimes \hat{\sigma}_y \right). \tag{D.7}$$

D.3. Braiding entre $\hat{\gamma}_{s-1,2}$ y $\hat{\gamma}_{t-1,2}$

Pasando al intercambio entre los fermiones de Majorana a la izquierda de sus respectivas cavidades (Figura D.1c), este está mediado por

$$\hat{B}_{s-1,t-1} = \frac{1}{\sqrt{2}} \left(1 + \hat{\gamma}_{s-1,2} \hat{\gamma}_{t-1,2} \right)
= \frac{1}{\sqrt{2}} \left[1 - \hat{d}_{t-1}^{\dagger} \hat{d}_{s-1} - \hat{d}_{t-1} \hat{d}_{s-1} + \hat{d}_{s-1}^{\dagger} \hat{d}_{t-1}^{\dagger} + \hat{d}_{s-1}^{\dagger} \hat{d}_{t-1} \right], \qquad (D.8)
\hat{\Gamma}_{s-1,t-1} = \hat{d}_{t-1}^{\dagger} \hat{d}_{s-1} - \hat{d}_{t-1} \hat{d}_{s-1} + \hat{d}_{s-1}^{\dagger} \hat{d}_{t-1}^{\dagger} + \hat{d}_{s-1}^{\dagger} \hat{d}_{t-1} \right).$$

Sobre los elementos de la base, se obtiene

$$\hat{\Gamma}_{s-1,t-1} | \circ_{s-1} \circ_s \circ_{t-1} \circ_t \rangle = | \bullet_{s-1} \circ_s \bullet_{t-1} \circ_t \rangle , \qquad \hat{\Gamma}_{s-1,t-1} | \circ_{s-1} \circ_s \circ_{t-1} \bullet_t \rangle = | \bullet_{s-1} \circ_s \bullet_{t-1} \bullet_t \rangle ,
\hat{\Gamma}_{s-1,t-1} | \circ_{s-1} \circ_s \bullet_{t-1} \circ_t \rangle = | \bullet_{s-1} \circ_s \circ_{t-1} \circ_t \rangle , \qquad \hat{\Gamma}_{s-1,t-1} | \circ_{s-1} \circ_s \circ_{t-1} \bullet_t \rangle = | \bullet_{s-1} \circ_s \circ_{t-1} \bullet_t \rangle ,
\hat{\Gamma}_{s-1,t-1} | \circ_{s-1} \bullet_s \circ_{t-1} \circ_t \rangle = | \bullet_{s-1} \bullet_s \bullet_{t-1} \circ_t \rangle , \qquad \hat{\Gamma}_{s-1,t-1} | \circ_{s-1} \bullet_s \circ_{t-1} \bullet_t \rangle = | \bullet_{s-1} \bullet_s \circ_{t-1} \circ_t \rangle ,
\hat{\Gamma}_{s-1,t-1} | \circ_{s-1} \bullet_s \bullet_{t-1} \circ_t \rangle = | \bullet_{s-1} \bullet_s \circ_{t-1} \circ_t \rangle , \qquad \hat{\Gamma}_{s-1,t-1} | \circ_{s-1} \circ_s \circ_{t-1} \bullet_t \rangle = | \bullet_{s-1} \bullet_s \circ_{t-1} \bullet_t \rangle ,
\hat{\Gamma}_{s-1,t-1} | \bullet_{s-1} \circ_s \circ_{t-1} \circ_t \rangle = - | \circ_{s-1} \circ_s \circ_{t-1} \circ_t \rangle , \qquad \hat{\Gamma}_{s-1,t-1} | \bullet_{s-1} \circ_s \circ_{t-1} \bullet_t \rangle = - | \circ_{s-1} \circ_s \circ_{t-1} \bullet_t \rangle ,
\hat{\Gamma}_{s-1,t-1} | \bullet_{s-1} \circ_s \circ_{t-1} \circ_t \rangle = - | \circ_{s-1} \circ_s \circ_{t-1} \circ_t \rangle , \qquad \hat{\Gamma}_{s-1,t-1} | \bullet_{s-1} \circ_s \circ_{t-1} \bullet_t \rangle = - | \circ_{s-1} \circ_s \circ_{t-1} \bullet_t \rangle ,
\hat{\Gamma}_{s-1,t-1} | \bullet_{s-1} \bullet_s \circ_{t-1} \circ_t \rangle = - | \circ_{s-1} \bullet_s \circ_{t-1} \circ_t \rangle , \qquad \hat{\Gamma}_{s-1,t-1} | \bullet_{s-1} \bullet_s \circ_{t-1} \bullet_t \rangle = - | \circ_{s-1} \bullet_s \circ_{t-1} \bullet_t \rangle ,
\hat{\Gamma}_{s-1,t-1} | \bullet_{s-1} \bullet_s \circ_{t-1} \circ_t \rangle = - | \circ_{s-1} \bullet_s \circ_{t-1} \circ_t \rangle , \qquad \hat{\Gamma}_{s-1,t-1} | \bullet_{s-1} \bullet_s \circ_{t-1} \bullet_t \rangle = - | \circ_{s-1} \bullet_s \circ_{t-1} \bullet_t \rangle ,
\hat{\Gamma}_{s-1,t-1} | \bullet_{s-1} \bullet_s \circ_{t-1} \circ_t \rangle = - | \circ_{s-1} \bullet_s \circ_{t-1} \circ_t \rangle , \qquad \hat{\Gamma}_{s-1,t-1} | \bullet_{s-1} \bullet_s \circ_{t-1} \bullet_t \rangle = - | \circ_{s-1} \bullet_s \circ_{t-1} \bullet_t \rangle .$$

Tal que el operador obtiene la forma

$$\hat{B}_{s-1,t-1} = \frac{1}{\sqrt{2}} \left(\mathbb{1}_{16} - i\hat{\sigma}_y \otimes \mathbb{1}_2 \otimes \hat{\sigma}_x \otimes \mathbb{1}_2 \right). \tag{D.10}$$

D.4. Braiding entre $\hat{\gamma}_{s-1,2}$ y $\hat{\gamma}_{t+1,1}$

Analizando el caso de la Figura D.1d para el intercambio entre $\hat{\gamma}_{s-1,2}$ y $\hat{\gamma}_{t+1,1}$, se tiene

$$\hat{B}_{s-1,t} = \frac{1}{\sqrt{2}} \left(1 + \hat{\gamma}_{s-1,2} \hat{\gamma}_{t+1,1} \right)
= \frac{1}{\sqrt{2}} \left[1 + i \left(-\hat{d}_t^{\dagger} \hat{d}_{s-1} + \hat{d}_t \hat{d}_{s-1} + \hat{d}_{s-1}^{\dagger} \hat{d}_t^{\dagger} - \hat{d}_{s-1}^{\dagger} \hat{d}_t \right) \right], \qquad (D.11)
\hat{\Gamma}_{s-1,t} = i \left(-\hat{d}_t^{\dagger} \hat{d}_{s-1} + \hat{d}_t \hat{d}_{s-1} + \hat{d}_{s-1}^{\dagger} \hat{d}_t^{\dagger} - \hat{d}_{s-1}^{\dagger} \hat{d}_t \right),$$

y sobre la base, se obtiene

$$\begin{split} &\hat{\Gamma}_{s-1,t} \left| \circ_{s-1} \circ_s \circ_{t-1} \circ_t \right\rangle = i \left| \bullet_{s-1} \circ_s \circ_{t-1} \bullet_t \right\rangle \,, \qquad \hat{\Gamma}_{s-1,t} \left| \circ_{s-1} \circ_s \circ_{t-1} \bullet_t \right\rangle = -i \left| \bullet_{s-1} \circ_s \circ_{t-1} \circ_t \right\rangle \,, \\ &\hat{\Gamma}_{s-1,t} \left| \circ_{s-1} \circ_s \bullet_{t-1} \circ_t \right\rangle = i \left| \bullet_{s-1} \circ_s \bullet_{t-1} \bullet_t \right\rangle \,, \qquad \hat{\Gamma}_{s-1,t} \left| \circ_{s-1} \circ_s \bullet_{t-1} \bullet_t \right\rangle = -i \left| \bullet_{s-1} \circ_s \circ_{t-1} \circ_t \right\rangle \,, \\ &\hat{\Gamma}_{s-1,t} \left| \circ_{s-1} \bullet_s \circ_{t-1} \circ_t \right\rangle = i \left| \bullet_{s-1} \bullet_s \circ_{t-1} \bullet_t \right\rangle \,, \qquad \hat{\Gamma}_{s-1,t} \left| \circ_{s-1} \bullet_s \circ_{t-1} \bullet_t \right\rangle = -i \left| \bullet_{s-1} \bullet_s \circ_{t-1} \circ_t \right\rangle \,, \\ &\hat{\Gamma}_{s-1,t} \left| \circ_{s-1} \bullet_s \circ_{t-1} \circ_t \right\rangle = i \left| \bullet_{s-1} \circ_s \circ_{t-1} \bullet_t \right\rangle \,, \qquad \hat{\Gamma}_{s-1,t} \left| \circ_{s-1} \circ_s \circ_{t-1} \circ_t \right\rangle = -i \left| \circ_{s-1} \circ_s \circ_{t-1} \circ_t \right\rangle \,, \\ &\hat{\Gamma}_{s-1,t} \left| \bullet_{s-1} \circ_s \circ_{t-1} \circ_t \right\rangle = -i \left| \circ_{s-1} \circ_s \circ_{t-1} \bullet_t \right\rangle \,, \qquad \hat{\Gamma}_{s-1,t} \left| \bullet_{s-1} \circ_s \circ_{t-1} \circ_t \right\rangle = i \left| \circ_{s-1} \circ_s \circ_{t-1} \circ_t \right\rangle \,, \\ &\hat{\Gamma}_{s-1,t} \left| \bullet_{s-1} \circ_s \circ_{t-1} \circ_t \right\rangle = -i \left| \circ_{s-1} \circ_s \circ_{t-1} \bullet_t \right\rangle \,, \qquad \hat{\Gamma}_{s-1,t} \left| \bullet_{s-1} \circ_s \circ_{t-1} \bullet_t \right\rangle = i \left| \circ_{s-1} \circ_s \circ_{t-1} \circ_t \right\rangle \,, \\ &\hat{\Gamma}_{s-1,t} \left| \bullet_{s-1} \bullet_s \circ_{t-1} \circ_t \right\rangle = -i \left| \circ_{s-1} \bullet_s \circ_{t-1} \bullet_t \right\rangle \,, \qquad \hat{\Gamma}_{s-1,t} \left| \bullet_{s-1} \circ_s \circ_{t-1} \bullet_t \right\rangle = i \left| \circ_{s-1} \circ_s \circ_{t-1} \circ_t \right\rangle \,, \\ &\hat{\Gamma}_{s-1,t} \left| \bullet_{s-1} \bullet_s \circ_{t-1} \circ_t \right\rangle = -i \left| \circ_{s-1} \bullet_s \circ_{t-1} \bullet_t \right\rangle \,, \qquad \hat{\Gamma}_{s-1,t} \left| \bullet_{s-1} \bullet_s \circ_{t-1} \bullet_t \right\rangle = i \left| \circ_{s-1} \bullet_s \circ_{t-1} \circ_t \right\rangle \,, \\ &\hat{\Gamma}_{s-1,t} \left| \bullet_{s-1} \bullet_s \circ_{t-1} \circ_t \right\rangle = -i \left| \circ_{s-1} \bullet_s \circ_{t-1} \bullet_t \right\rangle \,, \qquad \hat{\Gamma}_{s-1,t} \left| \bullet_{s-1} \bullet_s \circ_{t-1} \bullet_t \right\rangle = i \left| \circ_{s-1} \bullet_s \circ_{t-1} \circ_t \right\rangle \,, \\ &\hat{\Gamma}_{s-1,t} \left| \bullet_{s-1} \bullet_s \circ_{t-1} \circ_t \right\rangle = -i \left| \circ_{s-1} \bullet_s \circ_{t-1} \bullet_t \right\rangle \,, \qquad \hat{\Gamma}_{s-1,t} \left| \bullet_{s-1} \bullet_s \circ_{t-1} \bullet_t \right\rangle = i \left| \circ_{s-1} \bullet_s \circ_{t-1} \circ_t \right\rangle \,. \\ &\hat{\Gamma}_{s-1,t} \left| \bullet_{s-1} \bullet_s \circ_{t-1} \circ_t \right\rangle = -i \left| \circ_{s-1} \bullet_s \circ_{t-1} \bullet_t \right\rangle \,, \qquad \hat{\Gamma}_{s-1,t} \left| \bullet_{s-1} \bullet_s \circ_{t-1} \bullet_t \right\rangle = i \left| \circ_{s-1} \bullet_s \circ_{t-1} \circ_t \right\rangle \,. \\ &\hat{\Gamma}_{s-1,t} \left| \bullet_{s-1} \bullet_s \circ_{t-1} \circ_t \right\rangle \,, \qquad \hat{\Gamma}_{s-1,t} \left| \bullet_{s-1} \bullet_s \circ_{t-1} \bullet_t \right\rangle \,, \qquad \hat{\Gamma}_{s-1,t} \left| \bullet_{s-1} \bullet_s \circ_{t-1} \circ_t \right\rangle \,. \\ &\hat{\Gamma}_{s-1,t} \left| \bullet_{s-1} \bullet_s \circ_{t-1} \circ_t \right\rangle \,, \qquad \hat{\Gamma}_{s-1,t} \left| \bullet_{s-1$$

Obteniéndose el operador matricial

$$\hat{B}_{s-1,t} = \frac{1}{\sqrt{2}} \left(\mathbb{1}_{16} - i\hat{\sigma}_y \otimes \mathbb{1}_4 \otimes \hat{\sigma}_y \right). \tag{D.13}$$

D.5. Braiding entre $\hat{\gamma}_{s+1,1}$ y $\hat{\gamma}_{t-1,2}$

Para el braiding entre el MZM a la derecha de la primera cavidad y el presente a la izquierda de la cavidad del segundo subsistema, se tiene

$$\hat{B}_{s,t-1} = \frac{1}{\sqrt{2}} \left(1 + \hat{\gamma}_{s+1,1} \hat{\gamma}_{t-1,2} \right)
= \frac{1}{\sqrt{2}} \left[1 + i \left(\hat{d}_s^{\dagger} \hat{d}_{t-1} + \hat{d}_{t-1} \hat{d}_s + \hat{d}_s^{\dagger} \hat{d}_{t-1}^{\dagger} + \hat{d}_{t-1}^{\dagger} \hat{d}_s \right) \right], \qquad (D.14)
\hat{\Gamma}_{s,t-1} = i \left(\hat{d}_s^{\dagger} \hat{d}_{t-1} + \hat{d}_{t-1} \hat{d}_s + \hat{d}_s^{\dagger} \hat{d}_{t-1}^{\dagger} + \hat{d}_{t-1}^{\dagger} \hat{d}_s \right),$$

donde

$$\hat{\Gamma}_{s,t-1} \mid \circ_{s-1} \circ_s \circ_{t-1} \circ_t \rangle = i \mid \circ_{s-1} \bullet_s \bullet_{t-1} \circ_t \rangle, \quad \hat{\Gamma}_{s,t-1} \mid \circ_{s-1} \circ_s \circ_{t-1} \bullet_t \rangle = i \mid \circ_{s-1} \bullet_s \bullet_{t-1} \bullet_t \rangle, \\
\hat{\Gamma}_{s,t-1} \mid \circ_{s-1} \circ_s \bullet_{t-1} \circ_t \rangle = i \mid \circ_{s-1} \bullet_s \circ_{t-1} \circ_t \rangle, \quad \hat{\Gamma}_{s,t-1} \mid \circ_{s-1} \circ_s \bullet_{t-1} \bullet_t \rangle = i \mid \circ_{s-1} \bullet_s \circ_{t-1} \bullet_t \rangle, \\
\hat{\Gamma}_{s,t-1} \mid \circ_{s-1} \bullet_s \circ_{t-1} \circ_t \rangle = i \mid \circ_{s-1} \circ_s \bullet_{t-1} \circ_t \rangle, \quad \hat{\Gamma}_{s,t-1} \mid \circ_{s-1} \bullet_s \circ_{t-1} \bullet_t \rangle = i \mid \circ_{s-1} \circ_s \bullet_{t-1} \bullet_t \rangle, \\
\hat{\Gamma}_{s,t-1} \mid \circ_{s-1} \bullet_s \bullet_{t-1} \circ_t \rangle = i \mid \circ_{s-1} \circ_s \circ_{t-1} \circ_t \rangle, \quad \hat{\Gamma}_{s,t-1} \mid \circ_{s-1} \bullet_s \circ_{t-1} \bullet_t \rangle = i \mid \circ_{s-1} \circ_s \circ_{t-1} \bullet_t \rangle, \\
\hat{\Gamma}_{s,t-1} \mid \bullet_{s-1} \circ_s \circ_{t-1} \circ_t \rangle = i \mid \bullet_{s-1} \bullet_s \circ_{t-1} \circ_t \rangle, \quad \hat{\Gamma}_{s,t-1} \mid \bullet_{s-1} \circ_s \circ_{t-1} \bullet_t \rangle = i \mid \bullet_{s-1} \bullet_s \circ_{t-1} \bullet_t \rangle, \\
\hat{\Gamma}_{s,t-1} \mid \bullet_{s-1} \circ_s \bullet_{t-1} \circ_t \rangle = i \mid \bullet_{s-1} \circ_s \circ_{t-1} \circ_t \rangle, \quad \hat{\Gamma}_{s,t-1} \mid \bullet_{s-1} \circ_s \circ_{t-1} \bullet_t \rangle = i \mid \bullet_{s-1} \circ_s \circ_{t-1} \bullet_t \rangle, \\
\hat{\Gamma}_{s,t-1} \mid \bullet_{s-1} \circ_s \circ_{t-1} \circ_t \rangle = i \mid \bullet_{s-1} \circ_s \circ_{t-1} \circ_t \rangle, \quad \hat{\Gamma}_{s,t-1} \mid \bullet_{s-1} \circ_s \circ_{t-1} \bullet_t \rangle = i \mid \bullet_{s-1} \circ_s \circ_{t-1} \bullet_t \rangle, \\
\hat{\Gamma}_{s,t-1} \mid \bullet_{s-1} \bullet_s \circ_{t-1} \circ_t \rangle = i \mid \bullet_{s-1} \circ_s \circ_{t-1} \circ_t \rangle, \quad \hat{\Gamma}_{s,t-1} \mid \bullet_{s-1} \bullet_s \circ_{t-1} \bullet_t \rangle = i \mid \bullet_{s-1} \circ_s \circ_{t-1} \bullet_t \rangle. \\
\hat{\Gamma}_{s,t-1} \mid \bullet_{s-1} \bullet_s \circ_{t-1} \circ_t \rangle = i \mid \bullet_{s-1} \circ_s \circ_{t-1} \circ_t \rangle, \quad \hat{\Gamma}_{s,t-1} \mid \bullet_{s-1} \bullet_s \circ_{t-1} \bullet_t \rangle = i \mid \bullet_{s-1} \circ_s \circ_{t-1} \bullet_t \rangle. \\
\hat{\Gamma}_{s,t-1} \mid \bullet_{s-1} \bullet_s \circ_{t-1} \circ_t \rangle = i \mid \bullet_{s-1} \circ_s \circ_{t-1} \circ_t \rangle, \quad \hat{\Gamma}_{s,t-1} \mid \bullet_{s-1} \bullet_s \circ_{t-1} \bullet_t \rangle = i \mid \bullet_{s-1} \circ_s \circ_{t-1} \bullet_t \rangle.$$

El operador finalmente obtiene la forma

$$\hat{B}_{s,t-1} = \frac{1}{\sqrt{2}} \left(\mathbb{1}_{16} + i \mathbb{1}_2 \otimes \hat{\sigma}_x \otimes \hat{\sigma}_x \otimes \mathbb{1}_2 \right). \tag{D.16}$$

D.6. Braiding entre $\hat{\gamma}_{s+1,1}$ y $\hat{\gamma}_{t+1,1}$

Finalmente, el braiding entre ambos MZM's a la derecha de sus respectivas cavidades está descrito por el operador

$$\hat{B}_{s,t} = \frac{1}{\sqrt{2}} \left(1 + \hat{\gamma}_{s+1,1} \hat{\gamma}_{t+1,1} \right)
= \frac{1}{\sqrt{2}} \left[1 - \hat{d}_t^{\dagger} \hat{d}_s + \hat{d}_t \hat{d}_s - \hat{d}_s^{\dagger} \hat{d}_t^{\dagger} + \hat{d}_s^{\dagger} \hat{d}_t \right],$$

$$\hat{\Gamma}_{s,t} = -\hat{d}_t^{\dagger} \hat{d}_s + \hat{d}_t \hat{d}_s - \hat{d}_s^{\dagger} \hat{d}_t^{\dagger} + \hat{d}_s^{\dagger} \hat{d}_t,$$
(D.17)

tal que,

$$\hat{\Gamma}_{s,t} \mid \circ_{s-1} \circ_s \circ_{t-1} \circ_t \rangle = - \mid \circ_{s-1} \bullet_s \circ_{t-1} \bullet_t \rangle , \quad \hat{\Gamma}_{s,t} \mid \circ_{s-1} \circ_s \circ_{t-1} \bullet_t \rangle = \mid \circ_{s-1} \bullet_s \circ_{t-1} \circ_t \rangle ,
\hat{\Gamma}_{s,t} \mid \circ_{s-1} \circ_s \bullet_{t-1} \circ_t \rangle = - \mid \circ_{s-1} \bullet_s \bullet_{t-1} \bullet_t \rangle , \quad \hat{\Gamma}_{s,t} \mid \circ_{s-1} \circ_s \bullet_{t-1} \bullet_t \rangle = \mid \circ_{s-1} \bullet_s \bullet_{t-1} \circ_t \rangle ,
\hat{\Gamma}_{s,t} \mid \circ_{s-1} \bullet_s \circ_{t-1} \circ_t \rangle = - \mid \circ_{s-1} \circ_s \circ_{t-1} \bullet_t \rangle , \quad \hat{\Gamma}_{s,t} \mid \circ_{s-1} \bullet_s \circ_{t-1} \bullet_t \rangle = \mid \circ_{s-1} \circ_s \circ_{t-1} \circ_t \rangle ,
\hat{\Gamma}_{s,t} \mid \circ_{s-1} \bullet_s \bullet_{t-1} \circ_t \rangle = - \mid \circ_{s-1} \circ_s \bullet_{t-1} \bullet_t \rangle , \quad \hat{\Gamma}_{s,t} \mid \circ_{s-1} \bullet_s \circ_{t-1} \bullet_t \rangle = \mid \circ_{s-1} \circ_s \bullet_{t-1} \circ_t \rangle ,
\hat{\Gamma}_{s,t} \mid \bullet_{s-1} \circ_s \circ_{t-1} \circ_t \rangle = - \mid \bullet_{s-1} \bullet_s \circ_{t-1} \bullet_t \rangle , \quad \hat{\Gamma}_{s,t} \mid \bullet_{s-1} \circ_s \circ_{t-1} \bullet_t \rangle = \mid \bullet_{s-1} \bullet_s \circ_{t-1} \circ_t \rangle ,
\hat{\Gamma}_{s,t} \mid \bullet_{s-1} \circ_s \circ_{t-1} \circ_t \rangle = - \mid \bullet_{s-1} \circ_s \circ_{t-1} \bullet_t \rangle , \quad \hat{\Gamma}_{s,t} \mid \bullet_{s-1} \circ_s \circ_{t-1} \bullet_t \rangle = \mid \bullet_{s-1} \circ_s \circ_{t-1} \circ_t \rangle ,
\hat{\Gamma}_{s,t} \mid \bullet_{s-1} \bullet_s \circ_{t-1} \circ_t \rangle = - \mid \bullet_{s-1} \circ_s \circ_{t-1} \bullet_t \rangle , \quad \hat{\Gamma}_{s,t} \mid \bullet_{s-1} \circ_s \circ_{t-1} \bullet_t \rangle = \mid \bullet_{s-1} \circ_s \circ_{t-1} \circ_t \rangle ,
\hat{\Gamma}_{s,t} \mid \bullet_{s-1} \bullet_s \circ_{t-1} \circ_t \rangle = - \mid \bullet_{s-1} \circ_s \circ_{t-1} \bullet_t \rangle , \quad \hat{\Gamma}_{s,t} \mid \bullet_{s-1} \bullet_s \circ_{t-1} \bullet_t \rangle = \mid \bullet_{s-1} \circ_s \circ_{t-1} \circ_t \rangle .$$

$$(D.18)$$

Y se obtiene finalmente

$$\hat{B}_{s,t} = \frac{1}{\sqrt{2}} \left(\mathbb{1}_{16} + i \mathbb{1}_2 \otimes \hat{\sigma}_x \otimes \mathbb{1}_2 \otimes \hat{\sigma}_y \right). \tag{D.19}$$

Apéndice E

Código en Python

A continuación se presenta el código realizado en Python 3.12.4 utilizado para realizar los cálculos presentados a lo largo de este trabajo. El código presentado se realizó con las siguientes versiones de librerías:

- 1. NumPy 1.26.4
- 2. SciPy 1.14.1
- 3. Xarray 2024.11.0
- 4. Matplotlib 3.10.1
- 5. Joblib 1.4.2

```
import numpy as np
2 import scipy.sparse as sp
3 import scipy as sc
4 import xarray as xr
5 import math
7 def save_complex(dataset, *args, **kwargs):
      Dado un dataset de xarray que tenga alguna variable compleja,
      la gurda en un archivo netcdf separando la parte real e
10
      imaginaria en dos variables diferentes.
11
12
      Parameters
13
      _____
14
      dataset : xarray.Dataset
15
          Dataset que contiene la variable compleja.
16
      *args, **kwargs : optional
17
18
      Returns
19
      _____
20
      bool
          True si se guardo correctamente el archivo.
23
      ds = dataset.expand_dims('ReIm', axis=-1)
      ds = xr.concat([ds.real, ds.imag], dim='ReIm')
      ds.to_netcdf(*args, **kwargs)
27
28
      return True
def read_complex(*args, **kwargs):
```

```
Lee un archivo netcdf que contiene una variable compleja
34
      cuyas partes real e imaginaria estan separadas, los junta
      y devuelve un dataset de xarray.
36
37
      Parameters
      *args, **kwargs : optional
40
41
42
      Returns
      _____
43
      xarray.Dataset
44
         Dataset que contiene la variable compleja.
45
47
      ds = xr.open_dataset(*args, **kwargs)
48
49
      return ds.isel(ReIm=0) + 1j * ds.isel(ReIm=1)
51
52 def read_complex_multi(*args, **kwargs):
53
      ds = xr.open_mfdataset(*args, **kwargs)
55
      return ds.isel(ReIm=0) + 1j * ds.isel(ReIm=1)
56
57
58 def nFock(n, Nb):
      Crea un ket de un estado de Fock con n fotonones en un sistema
60
      con cierto truncamiento en el numero de bosones.
61
      Parameters
63
64
65
      n : int
          Numero de foton para el estado de Fock.
      Nb : int
67
          Numero maximo de fotones en el sistema.
68
69
      Returns
70
71
72
      np.ndarray
          Ket del estado de Fock.
74
75
      ket = np.zeros(Nb + 1, dtype = complex)
76
      ket[n] = 1
78
      return ket
79
80
81 def id(dim):
82
      Devuelve la matriz identidad dim*dim en formato sparse.
83
      Parameters
86
      dim: int
87
          Dimension de la matriz identidad.
88
90
    return sp.identity(dim)
```

```
92
93 def a_op(Nb):
       0.00
94
       Devuelve el operador de aniquilacion bosonico en formato
95
       sparse, considerando un truncamiento en la base de Fock.
       Parameters
98
99
       Nb : int
100
            Numero maximo de fotones en el sistema.
101
102
       Returns
103
       sp.csr_matrix
105
            Operador de aniquilacion bosonico en formato sparse.
106
107
108
       return sp.diags([np.sqrt(np.arange(1, Nb))], [1], shape=(Nb, Nb))
109
def dag(op):
112
       Devuelve el operador adjunto de un operador escrito en forma
113
       matricial en formato sparse.
114
115
116
       return op.transpose().conj()
117
118
119 def pauliX():
120
       Devuelve la matriz de Pauli X en formato sparse.
121
122
123
124
       return sp.csr_matrix([[0, 1], [1, 0]])
126 def pauliY():
       11 11 11
127
       Devuelve la matriz de Pauli Y en formato sparse.
128
129
130
       return sp.csr_matrix([[0, -1j], [1j, 0]])
131
133 def pauliZ():
134
       Devuelve la matriz de Pauli Z en formato sparse.
135
       \Pi_{i}\Pi_{j}\Pi_{j}
136
137
       return sp.csr_matrix([[1, 0], [0, -1]])
138
139
140 def sigmaPlus():
141
       return sp.csr_matrix(0.5*(pauliX() + 1j*pauliY()))
142
143
144 def sigmaMinus():
145
       return sp.csr_matrix(0.5*(pauliX() - 1j*pauliY()))
146
147
148 def ramp_lin(lmax,tau,t):
149
```

```
Funcion de rampa lineal con pendiente lmax/tau.
150
151
       Parameters
152
       lmax: float
154
           Valor maximo de la rampa.
       tau: float
156
            Tiempo caracteristico de la rampa.
157
       t: float
158
           Tiempo actual.
159
160
       Returns
161
163
       float
            Valor de la rampa en el tiempo t.
164
165
166
       lam = (lmax/tau)*t
167
       return lam
168
169
170 def ramp_triang(lmax,tau,t):
       0.00
171
       Funcion de rampa triangular con pendiente lmax/tau.
172
173
174
       nu = lmax / tau
175
176
       if t < tau:</pre>
177
178
           lam = nu*t
179
       elif tau <= t <= 2*tau:</pre>
180
           lam = -nu*(t-tau)+lmax
181
182
       else:
183
           lam = 0
184
185
       return lam
186
187
188 def DenMatrix(ket):
       Devuelve la matriz densidad de un ket dado.
190
191
192
       return np.outer(ket, dag(ket))
193
194
def partial_trace(rho, keep, dims, optimize=False):
196
197
       Calcula la traza parcial
198
       rho_a = Tr_b(rho)
199
200
       Parameters
201
202
       rho : 2D array
203
            Matriz de entrada que se quiere trazar.
204
205
       keep : array
            Array de indices de los subespacios a conservar
206
            despues de obtener la traza.
207
```

```
Si se trata de un espacio A \times B \times C \times D y se quiere
208
           obtener la traza sobre B y D, entonces
209
           keep = [0, 2] (es decir, conservar A y C).
210
       dims : array
211
           Array que indica las dimensiones de cada espacio
           involucrado en la matriz rho.
           Si rho es un espacio A x B x C x D,
214
           entonces dims = [dim_A, dim_B, dim_C, dim_D].
215
216
       Returns
217
218
       rho_a : 2D array
219
           Matriz de traza parcial sobre los espacios
221
           no conservados.
222
       keep = np.asarray(keep)
223
       dims = np.asarray(dims)
224
       Ndim = dims.size
225
       Nkeep = np.prod(dims[keep])
226
227
       idx1 = [i for i in range(Ndim)]
       idx2 = [Ndim+i if i in keep else i for i in range(Ndim)]
229
       rho_a = rho.reshape(np.tile(dims,2))
230
231
       rho_a = np.einsum(rho_a, idx1+idx2, optimize=optimize)
232
       return rho_a.reshape(Nkeep, Nkeep)
233
234
def H1BC(delta, omega, lambd, phi, Nb):
       Devuelve la matriz Hamiltoniana para el sistema de interaccion
237
       en un solo sitio entre la cavidad cuantica y la KC H1, independiente
238
       del tiempo.
239
240
       Parameters
241
242
       delta : float
243
           Gap de energia de la KC.
244
       omega : float
245
           Frecuencia/energia de la cavidad cuantica.
246
       phi : float
247
           Fase de la interaccion.
248
       lambda : float
250
           Fuerza de acoplamiento.
       Nb : int
251
           Numero de truncamiento en la base de Fock.
252
253
       Returns
254
255
       scipy.sparse.csr_matrix
256
           Matriz Hamiltoniana del sistema en formato sparse.
257
       0.00
258
259
       a = a_op(Nb+1)
260
261
       m = sigmaMinus() + sigmaPlus()
262
263
       HField = omega * sp.kron(dag(a)@a, id(2))
264
265
```

```
HQubit = delta * sp.kron(id(Nb + 1), sigmaPlus()@sigmaMinus())
266
267
       HInter = 0.5 * lambd * np.exp(-1j * phi) * sp.kron(dag(a), m) + 
268
           0.5 * lambd * np.exp(1j * phi) * sp.kron(a, m)
269
       return HQubit + HField + HInter
272
273 def H1_lamb_t(delta, omega, phi, lambda_max, tau, t, Nb, type = "linear"
       0.00
274
       Devuelve la matriz Hamiltoniana para el sistema de interaccion
275
       en un solo sitio entre la cavidad cuantica y la KC H1, considerando
276
       una dependencia temporal en la fuerza de acoplamiento (lambda).
278
       Parameters
279
280
       delta : float
281
           Gap de energia de la KC.
282
       omega : float
283
           Frecuencia/energia de la cavidad cuantica.
284
       phi : float
           Fase de la interaccion.
286
       lambda_max : float
287
           Valor maximo de la fuerza de acoplamiento.
288
       tau : float
289
           Tiempo caracteristico de la rampa.
290
       t : float
291
           Tiempo actual.
292
293
       Nb : int
           Numero de truncamiento en la base de Fock.
294
       type : str, optional
295
           Tipo de rampa. Puede ser "linear", "triangular" o "constant".
296
297
           Por defecto es "linear". En caso de ser constante, la matriz
           que se obtiene es igual al de la funcion H1BC.
298
299
       Returns
300
301
       scipy.sparse.csr_matrix
302
303
           Matriz Hamiltoniana del sistema en formato sparse.
304
305
       a = a_{op}(Nb+1)
306
307
       m = id(2) - pauliX()
309
       HField = omega * sp.kron(dag(a)@a, id(2))
310
       HQubit = -2 * delta * sp.kron(id(Nb + 1), pauliZ())
311
312
       if type == "linear":
313
           lamb = ramp_lin(lambda_max, tau, t)
314
       elif type == "triangular":
315
           lamb = ramp_triang(lambda_max, tau, t)
316
       elif type == "constant":
317
           lamb = lambda_max
318
319
       else:
320
           raise ValueError("Tipo invalido")
321
       HInter = 0.5 * lamb * np.exp(-1j * phi) * sp.kron(dag(a), m) + 
322
```

```
323
           0.5 * lamb * np.exp(1j * phi) * sp.kron(a, m)
324
       return HQubit + HField + HInter
325
326
  def H1_phi_t(delta, omega, lamb, phi_max, tau, t, Nb, type = "linear"):
327
       Devuelve la matriz Hamiltoniana para el sistema de interaccion
329
       en un solo sitio entre la cavidad cuantica y la KC H1, considerando
330
       una dependencia temporal en la fase de interaccion (phi).
331
332
       Parameters
333
334
       delta : float
335
           Gap de energia de la KC.
336
       omega : float
337
           Frecuencia/energia de la cavidad cuantica.
338
       lamb : float
339
340
          Fuerza del acoplamiento.
       phi_max : float
341
           Valor maximo de la fase de interaccion.
342
       tau : float
           Tiempo caracteristico de la rampa.
344
       t : float
345
           Tiempo actual.
346
       Nb : int
347
          Numero de truncamiento en la base de Fock.
348
       type : str, optional
349
           Tipo de rampa. Puede ser "linear", "triangular" o "constant".
350
           Por defecto es "linear". En caso de ser constante, la matriz
           que se obtiene es igual al de la funcion H1BC.
352
353
354
       Returns
355
       scipy.sparse.csr_matrix
356
           Matriz Hamiltoniana del sistema en formato sparse.
357
       . . . .
358
359
       a = a_{op}(Nb+1)
360
361
       m = id(2) - pauliX()
362
363
       HField = omega * sp.kron(dag(a)@a, id(2))
364
       HQubit = -2 * delta * sp.kron(id(Nb + 1), pauliZ())
365
       if type == "linear":
367
           phi = ramp_lin(phi_max, tau, t)
368
       elif type == "triangular":
369
           phi = ramp_triang(phi_max, tau, t)
370
       elif type == "constant":
371
           phi = phi_max
372
       else:
373
           raise ValueError("Invalid type")
374
375
       376
           0.5 * lamb * np.exp(1j * phi) * sp.kron(a, m)
377
378
       return HQubit + HField + HInter
379
380
```

```
381 def Normalize(vec):
       Normaliza un vector dado.
383
       0.00
384
       return vec/np.linalg.norm(vec)
387
388 def psit0(Nb):
389
       Devuelve el estado inicial del sistema compuesto por una cavidad
390
       cuantica y una Cadena de Kitaev interactuando en un solo sitio.
391
392
       Parameters
394
       Nb : int
395
           Numero de truncamiento en la base de Fock.
396
397
       psi = np.zeros(2*(Nb+1), dtype = complex)
398
       psi[0] = 1
399
400
       return psi
402
403 def TimeDSEH1(delta, omega, phi, lambda_max, tau, t0, tf, dt, Nb, type =
       "linear"):
404
       Dado el Hamiltoniano dependiente del tiempo H1_lamb_t,
405
       resuelve la ecuacion de Schroedinger dependiente del tiempo
406
       usando el metodo de Runge-Kutta explicito de orden 8 (DOP853).
407
       Parameters
409
410
       delta : float
411
412
           Gap de energia de la KC.
       omega : float
413
           Frecuencia/energia de la cavidad cuantica.
414
       phi : float
415
           Fase de la interaccion.
416
       lambda_max : float
417
           Valor maximo del acoplamiento.
418
       tau : float
419
           Tiempo caracteristico de la rampa.
420
       t0 : float
421
           Tiempo inicial.
422
       tf : float
423
           Tiempo final.
424
       Nb : int
425
           Numero de truncamiento en la base de Fock.
426
       type : str, optional
427
           Tipo de rampa. Puede ser "linear", "triangular" o "constant".
428
           Por defecto es "linear". En caso de ser constante, la matriz
429
           que se obtiene es igual al de la funcion H1BC.
430
431
       Returns
432
433
434
       np.ndarray
435
           Array de estados psi(t) en el tiempo t.
       np.ndarray
436
          Array de tiempos t.
437
```

```
11 11 11
438
439
       def fun_Schro(t, psi):
440
            psi = Normalize(psi)
441
442
            return -1j*H1_lamb_t(delta, omega, phi, lambda_max, tau, t, Nb,
      type)@psi
444
       ts = np.linspace(t0, tf, 100)
445
446
       sol = sc.integrate.solve_ivp(lambda t, y: fun_Schro(t, y),
447
                                        t_{span} = [t0, tf],
448
                                        y0 = psit0(Nb),
                                        t_eval = ts,
450
                                        method = "DOP853",
451
                                        dense_output = True)
452
453
       time = sol.t
454
       psi_array = sol.y
455
456
       return psi_array.T, time
457
458
_{459} def solveTD(delta, omega, phi, lambda_max, tau, t0, tf, dt, Nb, type = "
      linear"):
460
       psi_t, time = TimeDSEH1(delta, omega, phi, lambda_max, tau, t0, tf,
461
      dt, Nb, type)
462
       sx_o = sp.kron(id(Nb + 1), pauliX())
       sz_o = sp.kron(id(Nb + 1), pauliZ())
464
       a_o = sp.kron(a_op(Nb+1), id(2))
465
       n_o = dag(a_o)@a_o
466
467
       sx = []
468
       sz = []
469
       a=[]
470
       number = []
471
472
       for i in range(len(time)):
473
            psi = psi_t[i]
474
            sx.append((dag(psi)@sx_o@psi).real)
475
            sz.append((dag(psi)@sz_o@psi).real)
476
            a.append((dag(psi)@a_o@psi).real)
            number.append((dag(psi)@n_o@psi).real)
479
       ds = xr.Dataset({
480
            "sx": (["t_idx"], sx),
481
            "sz": (["t_idx"], sz),
            "a": (["t_idx"], a),
483
            "number": (["t_idx"], number),
484
            "t": (["t_idx"], time),
       },
486
       coords = {
487
            "t_idx": range(len(time)),
488
            "tau": tau
489
490
       },
       attrs = {
491
            "N": Nb,
492
```

```
"delta": delta,
493
           "omega": omega,
494
            "lambda_max": lambda_max,
495
            "phi": phi
496
       })
497
       return ds
499
500
  def TimeDSEH1phi(delta, omega, lamb, phi_max, tau, t0, tf, dt, Nb, type
      = "linear"):
       def fun_Schro(t, psi):
502
           psi = Normalize(psi)
503
            return -1j*H1_phi_t(delta, omega, lamb, phi_max, tau, t, Nb,
      type)@psi
505
       ts = np.linspace(t0, tf, 1000*tau)
506
507
       sol = sc.integrate.solve_ivp(lambda t, y: fun_Schro(t, y),
508
                                       t_{span} = [t0, tf],
509
                                       y0 = psit0(Nb),
510
                                       t_eval = ts,
                                       method = "DOP853",
512
                                       dense_output = True)
513
514
       time = sol.t
515
516
       psi_array = sol.y
517
       return psi_array.T, time
518
520 def solveTD_phi(delta, omega, lamb, phi_max, tau, t0, tf, dt, Nb, type =
       "linear"):
521
522
       psi_t, time = TimeDSEH1phi(delta, omega, lamb, phi_max, tau, t0, tf,
       dt, Nb, type)
523
       sx_o = sp.kron(id(Nb + 1), pauliX())
524
       sz_o = sp.kron(id(Nb + 1), pauliZ())
525
       a_o = sp.kron(a_op(Nb+1), id(2))
       n_o = dag(a_o)@a_o
527
528
       sx = []
529
       sz = []
530
       a=[]
531
       number = []
533
       for i in range(len(time)):
534
           psi = psi_t[i]
535
           sx.append((dag(psi)@sx_o@psi).real)
           sz.append((dag(psi)@sz_o@psi).real)
537
           a.append((dag(psi)@a_o@psi).real)
538
           number.append((dag(psi)@n_o@psi).real)
540
       ds = xr.Dataset({
541
            "sx": (["t_idx"], sx),
542
           "sz": (["t_idx"], sz),
543
544
           "a": (["t_idx"], a),
           "number": (["t_idx"], number),
545
            "t": (["t_idx"], time),
546
```

```
547
       },
       coords = {
548
           "t_idx": range(len(time)),
549
           "tau": tau
550
       },
551
       attrs = {
           "N": Nb,
553
            "delta": delta,
554
           "omega": omega,
555
           "phi_max": phi_max,
            "lambda": lamb
557
       })
558
560
       return ds
561
562 def __VN_Entropy(rho):
563
       Calcula la entropia de Von Neumann de una matriz densidad dada.
564
       Usando la definicion de la entropia de Von Neumann basada en
565
       los valores propios de la matriz densidad.
566
       Parameters
568
569
570
       rho : np.ndarray
           Matriz densidad del sistema.
571
572
       Returns
573
574
       float
           Entropia de Von Neumann del sistema.
576
577
578
579
       EV, _ = sc.linalg.eig(rho)
       ev_list = [x for x in EV.tolist() if x]
580
       EV = np.array(ev_list)
581
582
       log2_EV = np.matrix(np.log2(EV))
583
       EV = np.matrix(EV)
584
585
       S = -EV@log2_EV.H
586
587
       return S.flat[0]
588
   def VNentropy(V, Nb, subsystem = 2):
591
       Dado un conjunto de vectores propios de un Hamiltoniano, calcula la
592
       entropia de Von Neumann de la matriz densidad asociada a cada vector
593
       propio. Se considera un sistema compuesto por bosones y un qubit. Y
       se realiza la traza parcial sobre el subsistema dado.
595
596
597
       Parameters
598
       V : np.ndarray
599
           Matriz de vectores propios del Hamiltoniano.
600
       Nb : int
601
602
           Numero de truncamiento en la base de Fock.
       subsystem : int, optional
603
           Subsistema del que se quiere hacer la traza parcial.
604
```

```
605
           1 para el qubit y 2 para el boson. Por defecto es 2.
606
       Returns
607
       _ _ _ _ _ _ _
608
       np.ndarray
           Array de entropias de Von Neumann para cada vector propio.
611
       S = []
612
       for i in range(len(V)):
613
           S.append(__VN_Entropy(partial_trace(DenMatrix(V[:,i]), [
614
      subsystem -1], [Nb+1, 2])).real)
       return np.array(S)
615
617 def bosonProb(V, Nb):
       P = []
618
       rho = partial_trace(DenMatrix(V), [0], [Nb+1, 2])
619
620
       for i in range(Nb+1):
621
           P.append(np.trace(DenMatrix(nFock(i, Nb))@rho).real)
622
623
       return P
625
626 def solve(delta, omega, lamb, phi, Nb, find_entropy = False, find_prob =
       False):
627
       Resuelve el Hamiltoniano de interaccion en un solo sitio
628
       entre la cavidad cuantica y la Cadena de Kitaev H1BC,
629
       independiente del tiempo.
630
631
       Calcula los valores propios y vectores propios del Hamiltoniano,
       y calcula los valores esperados de a, sx, sz y el numero de bosones
632
       en el estado fundamental. Y lo devuelve en un dataset de xarray.
633
634
635
       Parameters
636
       delta : float
637
           Gap de energia de la Cadena de Kitaev.
638
       omega : float
639
           Frecuencia/energia de la cavidad cuantica.
640
       lamb : float
641
           Fuerza de acoplamiento entre la cavidad cuantica y la Cadena de
      Kitaev.
       phi : float
643
           Fase de la interaccion entre la cavidad cuantica y la Cadena de
644
      Kitaev.
       N : int
645
           Numero de truncamiento en la base de Fock.
646
       find_entropy : bool, optional
647
           Si se quiere calcular la entropia de Von Neumann de los estados
648
           propios del Hamiltoniano. Por defecto es False. Se consiera
649
      opcional
           debido al costo computacional que implica calcular la entropia.
       find_prob : bool, optional
651
           Si se quiere calcular la probabilidad de encontrar el sistema
652
           en cada estado de Fock. Por defecto es False. Se consiera
653
      opcional
654
           debido al costo computacional que implica calcular la
      probabilidad.
655
```

```
Returns
656
657
658
       xarray.Dataset
           Dataset que contiene los valores propios, vectores propios,
659
           valores esperados de a, sx, sz y el numero de bosones en el
      estado
           fundamental. Si find_entropy es True, tambien se incluye la
661
      entropia
           de Von Neumann.
662
663
664
       H = H1_lamb_t(delta, omega, phi, lamb, 0, 0, Nb, "constant")
665
       E, V = sc.linalg.eigh(H.toarray())
667
       idx = np.argsort(E)
668
       E = E[idx]
669
       V = V[:, idx]
670
671
       if find_entropy:
672
           try:
673
                S = VNentropy(V, Nb)
            except Exception as e:
675
                print(f"Error calculating Von Neumann entropy: {e}")
676
                S = np.zeros(len(E))
677
       else:
678
           S = np.zeros(len(E))
679
680
       GS = V[:,0]
681
       a = sp.kron(a_op(Nb + 1), id(2))
       sx = (dag(GS)@sp.kron(id(Nb + 1), pauliX()).toarray()@GS).real
683
       sz = (dag(GS)@sp.kron(id(Nb + 1), pauliZ()).toarray()@GS).real
684
       number = (dag(GS)@(dag(a)@a).toarray()@GS).real
685
686
       aa = (dag(GS)@a.toarray()@GS).real
687
       if find_prob:
688
            try:
                P = bosonProb(GS, Nb)
690
           except Exception as e:
691
                print(f"Error calculating boson probabilities: {e}")
692
                P = np.zeros(Nb + 1)
694
           P = np.zeros(Nb + 1)
695
696
       ds = xr.Dataset({
           "E": (["idx"], E),
698
            "S": (["idx"], S),
699
           "P": ("n", P),
700
           "S": S,
701
           "sigma_X": sx,
702
           "sigma_Z": sz,
703
            "number": number,
            "a": aa
705
           },
706
            coords = {
707
                "n": np.arange(Nb + 1),
708
709
                "idx": np.arange(len(E)),
                "lambda": lamb,
710
                "omega": omega,
711
```

```
"phi": phi
712
           },
713
           attrs = {
714
               "delta": delta,
715
               "Nb": Nb,
               "prob": find_prob,
               "entropy": find_entropy
718
           })
719
       return ds
720
721
722
  def H2BC(delta, omega, lambd, phi, Nb):
723
724
       Devuelve la matriz Hamiltoniana para el sistema de interaccion
725
       en dos sitios entre la cavidad cuantica y la Cadena de Kitaev H2,
726
       independiente del tiempo.
727
728
       Parameters
729
730
       delta : float
731
           Gap de energia de la Cadena de Kitaev.
732
       omega : float
733
           Frecuencia/energia de la cavidad cuantica.
734
735
       lambd : list
           Lista con los valores de lambda en los dos sitios.
736
           Debe tener dos elementos, uno para cada sitio.
737
       phi : float
738
           Fase de la interaccion.
739
740
       Nb : int
           Numero de truncamiento en la base de Fock.
741
742
       Returns
743
744
       scipy.sparse.csr_matrix
745
           Matriz Hamiltoniana del sistema en formato sparse.
746
       0.00
747
748
       try:
749
           lambd1, lambd2 = lambd
750
       except ValueError:
751
           raise ValueError("lambd debe ser una lista de dos elementos")
752
753
       a = a_{op}(Nb + 1)
754
755
       m = id(2) - pauliX()
756
757
       HField = omega * sp.kron(dag(a)@a, id(4))
758
759
       HQubit = - delta * sp.kron(id(Nb + 1), sp.kron(pauliZ(), id(2)) + 
760
                                    sp.kron(id(2), pauliZ()) + 
761
                                    sp.kron(pauliZ(), pauliZ()))
762
763
       764
                lambd[1] * (np.exp(-1j * phi) * sp.kron(dag(a), sp.kron(id
765
      (2), m)) + \
766
                             np.exp(1j * phi) * sp.kron(a, sp.kron(id(2), m)
      ))
       HInter = HInter / (2*np.sqrt(2))
767
```

```
768
       return HField + HQubit + HInter
769
770
  def solve2BC(delta, omega, lambd, phi, Nb):
       0.00
       Resuelve el Hamiltoniano de interaccion en dos sitios
774
       entre la cavidad cuantica y la Cadena de Kitaev H2BC,
775
       independiente del tiempo. Y devuelve los valores propios y vectores
      propios
       del Hamiltoniano, y calcula los valores esperados de operadores de
777
       interes en el estado fundamental. Y lo devuelve en un dataset de
      xarray.
779
       Parameters
780
781
       delta : float
782
           Gap de energia de la Cadena de Kitaev.
783
       omega : float
784
           Frecuencia/energia de la cavidad cuantica.
       lambd : list
786
           Lista con los valores de lambda en los dos sitios.
787
           Debe tener dos elementos, uno para cada sitio.
788
       phi : float
789
           Fase de la interaccion.
791
           Numero de truncamiento en la base de Fock.
792
793
794
       Returns
       xarray.Dataset
796
           Dataset que contiene los valores propios, vectores propios,
797
           y valores esperados para operadores de interes.
798
799
800
       H = H2BC(delta, omega, lambd, phi, Nb)
802
       E, V = sc.linalg.eigh(H.toarray())
803
804
       idx = np.argsort(E)
       E = E[idx]
806
       V = V[:, idx]
807
       GS = V[:,0]
810
       dg = dag(GS)
811
812
       a = (dg@sp.kron(a_op(Nb+1), id(4))@GS).real
813
       sx1 = (dg@sp.kron(id(Nb+1), sp.kron(pauliX(), id(2)))@GS).real
814
       sx2 = (dg@sp.kron(id(Nb+1), sp.kron(id(2), pauliX()))@GS).real
815
       sy1 = (dg@sp.kron(id(Nb+1), sp.kron(pauliY(), id(2)))@GS).real
       sy2 = (dg@sp.kron(id(Nb+1), sp.kron(id(2), pauliY()))@GS).real
817
       sz1 = (dg@sp.kron(id(Nb+1), sp.kron(pauliZ(), id(2)))@GS).real
818
       sz2 = (dg@sp.kron(id(Nb+1), sp.kron(id(2), pauliZ()))@GS).real
819
       sxsx = (dg@sp.kron(id(Nb+1), sp.kron(pauliX(), pauliX()))@GS).real
820
821
       sxsz = (dg@sp.kron(id(Nb+1), sp.kron(pauliX(), pauliZ()))@GS).real
       sysy = (dg@sp.kron(id(Nb+1), sp.kron(pauliY(), pauliY()))@GS).real
822
       number = (dg@sp.kron(dag(a_op(Nb+1))@a_op(Nb+1), id(4))@GS).real
823
```

```
824
       P = []
825
       rho = partial_trace(DenMatrix(GS), [0], [Nb+1, 2, 2])
826
       for i in range(Nb+1):
827
            P.append(np.trace(DenMatrix(nFock(i, Nb))@rho).real)
       P = np.array(P)
830
       sx = [sx1, sx2]
831
       sy = [sy1, sy2]
832
       sz = [sz1, sz2]
833
834
       ds = xr.Dataset({
835
            "E": (["idx"], E),
            "sx": (["r"], sx),
837
            "sy": (["r"], sy),
838
            "sz": (["r"], sz),
839
            "sxsx": sxsx,
840
            "sxsz": sxsz,
841
            "sysy": sysy,
842
            "number": number,
843
            "a": a,
            "P": (["n"], P)
845
            },
846
            coords = {
847
                "r": np.arange(2),
                "idx": np.arange(len(E)),
849
                "lambda1": lambd[0],
850
                "lambda2": lambd[1],
851
                "omega": omega,
                "phi": phi,
853
                "n": np.arange(Nb+1),
854
            },
855
856
            attrs = {
                "delta": delta,
857
                "Nb": Nb
858
            })
859
860
       return ds
861
862
       alpha_2BC(lambd, omega, zone = None):
864
865
866
       Devuelve el valor de alpha para el estado coherente en los
       tres sectores detectados en el espectro del modelo de interaccion
867
       en dos sitios.
868
869
       Parameters
870
871
       lambd : list
872
            Lista con los valores de lambda en los dos sitios.
873
       omega : float
874
            Frecuencia de la cavidad cuantica.
875
       zone : str, optional
876
            Sector del espectro en el que se encuentra el estado coherente.
877
            Puede ser "I", "II" o "III". Si no se especifica, se devuelve
878
879
            None.
       0.00
880
881
       try:
```

```
lambd1, lambd2 = lambd
882
       except ValueError:
883
           raise ValueError("lambd debe ser una lista de dos elementos")
884
885
       if lambd2 > 0 or zone =="I":
           alpha = -(lambd1 + lambd2)/(np.sqrt(2)*omega)
       elif (lambd2 < 0 and -lambd1 < lambd2) or zone == "II":</pre>
888
           alpha = -lambd1/(np.sqrt(2)*omega)
889
       elif lambd2 < -lambd1 or zone == "III":</pre>
890
           alpha = -lambd2/(np.sqrt(2)*omega)
891
       else:
892
           raise ValueError("Zona invalida")
893
894
       return alpha
895
896
897 def EGS_num(lambd, omega):
898
       Devuelve la energia del estado fundamental del sistema
899
       de interaccion en dos sitios, considerando que esta dada por
900
       E = -|alpha|^2 * omega, donde alpha corresponde al estado coherente
901
       del sistema.
903
       return -np.abs(alpha_2BC(lambd, omega))**2 * omega
904
905
906 def __ket_coherent(alpha, Nb):
907
       Crea un ket coherente en la base de Fock para un sistema
908
       con un truncamiento dado en el numero de bosones.
909
       Parameters
911
912
       alpha : complex
913
914
           Amplitud del estado coherente.
       Nb : int
915
           Numero maximo de fotones en el sistema.
916
917
918
       Returns
919
920
       scipy.sparse.csr_matrix
           Ket coherente en formato sparse.
922
923
       ket_alpha = np.zeros((Nb + 1, 1),dtype=complex)
924
       nn = np.arange(Nb + 1, dtype=float)
926
       for i in range(Nb + 1):
927
           n = nn[i]
928
           ket_alpha[i] += (np.exp(-0.5 * np.abs(alpha)**2) * (alpha**n) /
      np.sqrt(math.gamma(n + 1)))
930
       return sp.csr_matrix(ket_alpha)
931
932
933 def E_pert(delta, omega, lambd, Nb):
934
       Calcula la enregia del estado fundamental del sistema de interaccion
935
936
       en dos sitios, en el regimen perturbativo.
937
       Parameters
938
```

```
939
       delta : float
940
           Gap de energia de la KC.
941
       omega : float
942
           Frecuencia de la cavidad cuantica.
943
       lambd : list
           Lista con los valores de lambda en los dos sitios.
945
       Nb : int
946
           Numero maximo de fotones en el sistema.
947
948
       Returns
949
950
       float
           Energia del estado fundamental del sistema de interaccion
952
           en dos sitios, en el regimen perturbativo.
953
       0.00
954
955
956
       try:
           lambd1, lambd2 = lambd
957
       except ValueError:
958
           raise ValueError("lambd debe ser una lista de dos elementos")
960
       if lambd[1] < -lambd[0]:</pre>
961
           return EGS_num(lambd, omega)
962
963
       alpha1 = alpha_2BC(lambd, omega, "I")
964
       alpha2 = alpha_2BC(lambd, omega, "II")
965
       k_alpha1 = __ket_coherent(alpha1, Nb)
       k_alpha2 = __ket_coherent(alpha2, Nb)
968
969
       olap = dag(k_alpha1)@k_alpha2
970
971
       olap = np.abs(olap.toarray()[0][0])**2
972
       E = omega * (np.abs(alpha1)**2 + np.abs(alpha2)**2) + 
973
           np.sqrt(omega**2 * (np.abs(alpha1)**2 - np.abs(alpha2)**2)**2 +
      4*delta**2*olap)
975
       return -0.5*E
976
977
978
  def H_2Qubits(delta, omega, lambd, phi, b, Nb):
979
980
       Devuelve la matriz Hamiltoniana del sistema de interaccion entre dos
       cadenas de Kitaev y dos cavidades cuanticas, considerando
982
       una interaccion en un solo sitio entre cada cadena y su respectiva
983
       cavidad cuantica. La matriz Hamiltoniana es independiente del tiempo
984
       La interaccion entre los dos sistemas se considera a traves de un
985
       intercambio de excitaciones entre las dos cavidades cuanticas.
986
987
       Parameters
988
989
       delta : list
990
           Lista con los gaps de energia de las dos cadenas de Kitaev.
991
992
          Lista con las frecuencias/energias de las dos cavidades
993
      cuanticas.
```

```
994
       lambd : list
            Lista con las fuerzas de acoplamiento de las dos cadenas de
995
       Kitaev.
       phi : list
996
            Lista con las fases de interaccion de las dos cadenas de Kitaev.
       b : float
            Fuerza de interaccion entre las dos cavidades cuanticas.
999
       Nb : int
1000
            Numero de truncamiento en la base de Fock.
1001
1002
       Returns
1003
1004
1005
        scipy.sparse.csr_matrix
            Matriz Hamiltoniana del sistema de interaccion entre dos
1006
            cadenas de Kitaev y dos cavidades cuanticas, en formato sparse.
1007
        0.00
1008
1009
       H1 = H1_lamb_t(delta[0], omega[0], phi[0], lambd[0], 0, 0, Nb, "
       constant")
       H2 = H1_lamb_t(delta[1], omega[1], phi[1], lambd[1], 0, 0, Nb, "
1011
       constant")
       dim = H1.shape[0]
1013
1014
       H1 = sp.kron(H1, id(dim))
1015
       H2 = sp.kron(id(dim), H2)
1017
       HQubits = H1 + H2
1018
1019
       a1 = sp.kron(sp.kron(a_op(Nb+1), id(2)), id(dim))
       a2 = sp.kron(id(dim), sp.kron(a_op(Nb+1), id(2)))
1022
1023
       HInter = b * (dag(a1)@a2 + dag(a2)@a1)
1024
       return HQubits + HInter
1027
   def solve2Qubits(delta, omega, lambd, phi, b, Nb):
1028
       H = H_2Qubits(delta, omega, lambd, phi, b, Nb)
1029
       if lambd[0] == 0 and lambd[1] == 0:
1030
           E, V = sp.linalg.eigsh(H, 2, which = "SA", return_eigenvectors=
       True, tol = 1e-5)
        else:
            E, V = sp.linalg.eigsh(H, 2, which = "SA", return_eigenvectors=
1033
       True)
       idx = np.argsort(E)
1034
       E = E[idx]
       V = V[:, idx]
       GS = V[:,0]
1037
       dim = 2*(Nb+1)
1038
       o_sx1 = sp.kron(sp.kron(id(Nb+1), pauliX()), id(dim))
1039
       o_sx2 = sp.kron(id(dim), sp.kron(id(Nb+1), pauliX()))
1040
       o_sy1 = sp.kron(sp.kron(id(Nb+1), pauliY()), id(dim))
1041
       o_{sy2} = sp.kron(id(dim), sp.kron(id(Nb+1), pauliY()))
       o_sz1 = sp.kron(sp.kron(id(Nb+1), pauliZ()), id(dim))
1043
1044
       o_sz2 = sp.kron(id(dim), sp.kron(id(Nb+1), pauliZ()))
       o_a1 = sp.kron(sp.kron(a_op(Nb+1), id(2)), id(dim))
       o_a2 = sp.kron(id(dim), sp.kron(a_op(Nb+1), id(2)))
1046
```

```
1047
       a1 = (dag(GS)@o_a1@GS).real
1048
       a2 = (dag(GS)@o_a2@GS).real
1049
       n1 = (dag(GS)@(dag(o_a1)@o_a1)@GS).real
       n2 = (dag(GS)@(dag(o_a2)@o_a2)@GS).real
       n12 = (dag(GS)@(dag(o_a1)@o_a2)@GS).real
1052
       n21 = (dag(GS)@(dag(o_a2)@o_a1)@GS).real
1053
        sx1 = (dag(GS)@o_sx1@GS).real
1054
        sx2 = (dag(GS)@o_sx2@GS).real
        sy1 = (dag(GS)@o_sy1@GS).real
        sy2 = (dag(GS)@o_sy2@GS).real
1057
        sz1 = (dag(GS)@o_sz1@GS).real
1058
        sz2 = (dag(GS)@o_sz2@GS).real
        sxsx = (dag(GS)@(o_sx1@o_sx2)@GS).real
1060
        sxsy = (dag(GS)@(1j*o_sx1@o_sy2)@GS).real
1061
        sxsz = (dag(GS)@(o_sx1@o_sz2)@GS).real
1062
        sysx = (dag(GS)@(1j*o_sy1@o_sx2)@GS).real
1063
        sysy = (dag(GS)@(o_sy1@o_sy2)@GS).real
1064
        sysz = (dag(GS)@(1j*o_sy1@o_sz2)@GS).real
1065
        szsx = (dag(GS)@(o_sz1@o_sx2)@GS).real
1066
        szsy = (dag(GS)@(1j*o_sz1@o_sy2)@GS).real
1067
        szsz = (dag(GS)@(o_sz1@o_sz2)@GS).real
1068
1069
       ds = xr.Dataset({
            "E": (["idx"], E.real),
1071
            "sx": (["r"], [sx1, sx2]),
1072
            "sy": (["r"], [sy1, sy2]),
            "sz": (["r"], [sz1, sz2]),
1074
            "a": (["r"], [a1, a2]),
            "number": (["r"], [n1, n2]),
            "n12": n12,
            "n21": n21,
1078
            "sx_mult": (["dir"], [sxsx, sxsy, sxsz]),
            "sy_mult": (["dir"], [sysx, sysy, sysz]),
1080
            "sz_mult": (["dir"], [szsx, szsy, szsz])
1081
       },
1082
        coords = {
1083
            "delta": delta[0],
1084
            "omega": omega[0],
1085
            "lambda(1)": lambd[0],
            "lambda(2)": lambd[1],
1087
            "phi": phi[0],
1088
            "b": b,
1089
            "idx": np.arange(len(E)),
1090
            "r": np.arange(2),
1091
            "dir": np.arange(1, 4)
       },
1093
       attrs = {
1094
            "Nb": Nb
       })
1096
       return ds
1098
1099
1100
   def H1Odd(delta, omega, lambd, phi, Nb):
       Devuelve la matriz Hamiltoniana del sistema de interaccion
1103
       en un solo sitio entre la cavidad cuantica y la Cadena de Kitaev,
1104
```

```
donde no se limita al subespacio de estados pares de la cadena.
1105
1106
1107
       Parameters
1108
       delta : float
1109
            Gap de energia de la Cadena de Kitaev.
1110
       omega : float
1111
            Frecuencia/energia de la cavidad cuantica.
1112
       lambd : float
1113
            Fuerza de acoplamiento entre la Cadena de Kitaev y la cavidad
1114
            cuantica.
1115
       phi : float
1116
           Fase de la interaccion.
1117
1118
       Nb : int
            Numero de truncamiento en la base de Fock.
1119
1120
1121
       Returns
1122
       scipy.sparse.csr_matrix
1123
            Matriz Hamiltoniana del sistema de interaccion en formato sparse
1124
       0.00
1125
       a = a_{op}(Nb + 1)
1126
1127
       m = id(4) - sp.kron(pauliX(), pauliX())
1128
1129
       HField = omega * sp.kron(dag(a)@a, id(4))
1130
1131
       HQubit = -delta * sp.kron(id(Nb + 1), (sp.kron(pauliZ(), id(2)) + \
1132
                                                  sp.kron(id(2), pauliZ())))
1133
1134
       HInter = 0.5 * lambd * np.exp(-1j * phi) * sp.kron(dag(a), m) + 
1135
1136
                 0.5 * lambd * np.exp(1j * phi) * sp.kron(a, m)
1137
       return HQubit + HField + HInter
1138
1139
1140 def H2QubitsOdd(delta, omega, lambd, phi, b, Nb):
       0.00
1141
       Devuelve la matriz Hamiltoniana del sistema de interaccion entre dos
1142
       cadenas de Kitaev y dos cavidades cuanticas, considerando
1143
       una interaccion en un solo sitio entre cada cadena y su respectiva
1144
       cavidad cuantica. La matriz Hamiltoniana es independiente del tiempo
1145
       La interaccion entre los dos sistemas se considera a traves de un
1146
       intercambio de excitaciones entre las dos cavidades cuanticas.
1147
       Esta funcion no limita al subespacio de estados pares de la cadena.
1148
1149
       Parameters
1150
1151
       delta : list
1152
            Lista con los gaps de energia de las dos cadenas de Kitaev.
1153
1154
            Lista con las frecuencias/energias de las dos cavidades
       cuanticas.
       lambd : list
1156
1157
            Lista con las fuerzas de acoplamiento de las dos cadenas de
       Kitaev.
    phi : list
1158
```

```
Lista con las fases de interaccion de las dos cadenas de Kitaev.
1159
       b : float
1160
            Fuerza de interaccion entre las dos cavidades cuanticas.
1161
       Nb : int
1162
           Numero de truncamiento en la base de Fock.
1163
1164
       Returns
1165
        _____
1166
        scipy.sparse.csr_matrix
1167
           Matriz Hamiltoniana del sistema de interaccion entre dos
1168
           cadenas de Kitaev y dos cavidades cuanticas, en formato sparse.
1169
        0.00
1170
1171
       H1 = H1Odd(delta[0], omega[0], lambd[0], phi[0], Nb)
1172
       H2 = H1Odd(delta[1], omega[1], lambd[1], phi[1], Nb)
1173
1174
       dim = H1.shape[0]
1175
1176
       H1 = sp.kron(H1, id(dim))
1177
       H2 = sp.kron(id(dim), H2)
1178
1179
       HQubits = H1 + H2
1180
1181
       a1 = sp.kron(sp.kron(a_op(Nb+1), id(4)), id(dim))
1182
1183
       a2 = sp.kron(id(dim), sp.kron(a_op(Nb+1), id(4)))
1184
       HInter = b * (dag(a1)@a2 + dag(a2)@a1)
1185
1186
       return HQubits + HInter
1187
```

Bibliografía

- [1] M. Möller y C. Vuik (2017). On the impact of quantum computing technology on future developments in high-performance scientific computing. *Ethics Inf. Technol.* **19**:253-269. DOI: 10.1007/s10676-017-9438-0.
- [2] S. S. Gill, A. Kumar, H. Singh, M. Singh, K. Kaur, M. Usman y R. Buyya (2022). Quantum computing: A taxonomy, systematic review and future directions. *Softw.:* Pract. Exper. **52**(1):66-114. DOI: 10.1002/spe.3039.
- [3] M. H. Freedman, A. Kitaev y Z. Wang (2002). Simulation of Topological Field Theories by Quantum Computers. *Commun. Math. Phys.* **227**(3):587-603. DOI: 10.1007/s002200200635.
- [4] C. Nayak, S. H. Simon, A. Stern, M. Freedman y S. Das Sarma (2008). Non-Abelian anyons and topological quantum computation. *Rev. Mod. Phys.* **80** (3):1083-1159. DOI: 10.1103/RevModPhys.80.1083.
- [5] A. Kitaev (2003). Fault-tolerant Quantum Computation by Anyons. *Ann. Phys.* **303**(1):2-30. DOI: 10.1016/S0003-4916(02)00018-0.
- [6] A. Roy y D. P. DiVincenzo (2017). Topological Quantum Computing. URL.
- [7] J. W. Z. Lau, K. H. Lim, H. Shrotriya y L. C. Kwek (2022). NISQ computing: where are we and where do we go? AAPPS Bull. 32(1):27. DOI: 10.1007/s43673-022-0 0058-z.
- [8] J. Preskill (2018). Quantum Computing in the NISQ era and beyond. *Quantum*. **2**:79. DOI: 10.22331/q-2018-08-06-79.
- [9] D. Castelvecchi (2025). Microsoft claims quantum-computing breakthrough—but some physicists are sceptical. *Nature*. **638**(8052):872-872. DOI: 10.1038/d41586-025-00527-z.
- [10] C. Bolgar (2025). El chip Majorana 1 de Microsoft abre un nuevo camino para la computación cuántica Source LATAM. URL.
- [11] J. Garay (2025). ¿Qué es ese nuevo estado de la materia del chip cuántico Majorana 1 de Microsoft? URL.
- [12] M. Leijnse y K. Flensberg (2012). Introduction to topological superconductivity and Majorana fermions. Semicond. Sci. Technol. 27(12):124003. DOI: 10.1088/0268-1 242/27/12/124003.
- [13] V. Lahtinen y J. Pachos (2017). A Short Introduction to Topological Quantum Computation. Scipost Phys. 3(3). DOI: 10.21468/scipostphys.3.3.021.
- [14] A. Y. Kitaev (2001). Unpaired Majorana fermions in quantum wires. *Phys. Usp.* **44**(10S):131-136. DOI: 10.1070/1063-7869/44/10s/s29.
- [15] F. J. Gómez-Ruiz, J. J. Mendoza-Arenas, F. J. Rodríguez, C. Tejedor y L. Quiroga (2018). Universal two-time correlations, out-of-time-ordered correlators, and Leggett-Garg inequality violation by edge Majorana fermion qubits. *Phys. Rev. B.* 97(23). DOI: 10.1103/physrevb.97.235134.
- [16] M. Greiter, V. Schnells y R. Thomale (2014). The 1D Ising model and the topological phase of the Kitaev chain. *Ann. Phys.* **351**:1026-1033. DOI: 10.1016/j.aop.2014.08.013.

- [17] C. Li, X. Z. Zhang, G. Zhang y Z. Song (2018). Topological phases in a Kitaev chain with imbalanced pairing. *Phys. Rev. B.* **97**(11). DOI: 10.1103/physrevb.97.1154 36.
- [18] S. Manna, N. S. Srivatsa, J. Wildeboer y A. E. B. Nielsen (2020). Quasiparticles as detector of topological quantum phase transitions. *Phys. Rev. Res.* **2**(4). DOI: 10.1103/physrevresearch.2.043443.
- [19] L. Quiroga, F. J. Gómez-Ruiz, I. A. Bocanegra-Garay, F. J. Rodríguez y C. Tejedor (2024). Cavity Control of Topological Qubits: Fusion Rule, Anyon Braiding and Majorana-Schrödinger Cat States. URL.
- [20] M. AbuGhanem y H. Eleuch (2024). NISQ Computers: A Path to Quantum Supremacy. *IEEE Access.* **12**:102941-102961. DOI: 10.1109/access.2024.3432330.
- [21] S. Frolov (2021). Quantum computing's reproducibility crisis: Majorana fermions. *Nature*. **592**(7854):350-352. DOI: 10.1038/d41586-021-00954-8.
- [22] F. P. M. Méndez-Córdoba, F. J. Rodríguez, C. Tejedor y L. Quiroga (2023). From edge to bulk: Cavity-induced displacement of topological nonlocal qubits. *Phys. Rev. B.* **107** (12):125104. DOI: 10.1103/PhysRevB.107.125104.
- [23] M. Rohith, S. Kannan y C. Sudheesh (2023). Homodyne nonclassical area as a nonclassicality indicator. J. Phys. B: At. Mol. Opt. Phys. **56**(5):055501. DOI: 10.1 088/1361-6455/acb678.
- [24] T. Tyc y B. C. Sanders (2004). Operational formulation of homodyne detection. *J. Phys. A: Math. Gen.* **37**(29):7341-7357. DOI: 10.1088/0305-4470/37/29/010.
- [25] C.-X. Liu, H. Pan, F. Setiawan, M. Wimmer y J. D. Sau (2023). Fusion protocol for Majorana modes in coupled quantum dots. *Phys. Rev. B.* **108**(8):085437. DOI: 10.1103/PhysRevB.108.085437.
- [26] C. Kane (2013). Chapter 1 Topological Band Theory and the Z₂ Invariant. Topological Insulators. Ed. por M. Franz y L. Molenkamp. Vol. 6. Contemporary Concepts of Condensed Matter Science. Elsevier, págs. 3-34. DOI: 10.1016/B978-0-444-633 14-9.00001-9.
- [27] P. Lévay (2006). Geometric Phases. Encyclopedia of Mathematical Physics. Oxford: Academic Press, págs. 528-534. ISBN: 978-0-12-512666-3. DOI: 10.1016/B0-12-512666-2/00321-7.
- [28] Y. B. Band e Y. Avishai (2013). 7 Approximation Methods. Quantum Mechanics with Applications to Nanotechnology and Information Science. Ed. por Y. B. Band e Y. Avishai. Amsterdam: Academic Press, págs. 303-366. ISBN: 978-0-444-53786-7. DOI: 10.1016/B978-0-444-53786-7.00007-1.
- [29] S. Gasparinetti, S. Berger, A. A. Abdumalikov, M. Pechal, S. Filipp y A. J. Wallraff (2016). Measurement of a vacuum-induced geometric phase. *Sci. Adv.* **2**(5):e1501732. DOI: 10.1126/sciadv.1501732.
- [30] D. Craig y T. Thirunamachandran (1998). Molecular Quantum Electrodynamics: An Introduction to Radiation-molecule Interactions. Dover Books on Chemistry Series. Dover Publications. ISBN: 9780486402147. URL.
- [31] S. Chaturvedi, M. Sriram y V. Srinivasan (1987). Berry's phase for coherent states. J. Phys. A: Math. Gen. 20(16):L1071. DOI: 10.1088/0305-4470/20/16/007.
- [32] K. K. Muminov e Y. Yousefi (2011). Berry phase for coherent states in spin systems. URL.
- [33] S. Berger, M. Pechal, S. Pugnetti, A. Abdumalikov Jr, L. Steffen, A. Fedorov, A. Wallraff y S. Filipp (2012). Geometric phases in superconducting qubits beyond the

- two-level approximation. *Phys. Rev. B.* **85**(22):220502. DOI: 10.1103/PhysRevB.8 5.220502.
- [34] D. P. DiVincenzo (2000). The physical implementation of quantum computation. Fortschr. Phys. 48(9-11):771-783. DOI: 10.1002/1521-3978(200009)48:9/11%3C771::AID-PROP771%3E3.0.C0;2-E.
- [35] H.-L. Huang, M. Narożniak, F. Liang, Y. Zhao, J. Clark, M. Gong, Y. Wu, S. Wang, J. Lin, Y. Xu et al. (2021). Emulating Quantum Teleportation of a Majorana Zero Mode Qubit. Phys. Rev. Lett. 126 (9):090502. DOI: 10.1103/PhysRevLett.126.0 90502.
- [36] L.-M. Duan, G. Giedke, J. I. Cirac y P. Zoller (2000). Inseparability Criterion for Continuous Variable Systems. *Phys. Rev. Lett.* **84** (12):2722-2725. DOI: 10.1103/Ph vsRevLett.84.2722.
- [37] R. Simon (2000). Peres-Horodecki Separability Criterion for Continuous Variable Systems. *Phys. Rev. Lett.* **84** (12):2726-2729. DOI: 10.1103/PhysRevLett.84.272
- [38] Q. Liang, L. Yu, G. Chen y S. Jia (2013). Resonant effect of the strongly-driven Rabi model. Eur. Phys. J. D. 67:1-4. DOI: 10.1140/epjd/e2012-30439-y.
- [39] Z.-M. Li y M. Batchelor (2021). Generalized adiabatic approximation to the quantum Rabi model. *Phys. Rev. A.* **104** (3):33712. DOI: 10.1103/PhysRevA.104.033712.
- [40] M. O. Scully y M. S. Zubairy (1997). Quantum Optics. Cambridge University Press. ISBN: 9780511813993. DOI: 10.1017/CB09780511813993.
- [41] M. A. Nielsen e I. L. Chuang (2010). Quantum Computation and Quantum Information. Cambridge University Press. ISBN: 9781107002173. DOI: 10.1017/CB09780511976667.